



เครื่องมือวัดสนามแม่เหล็กไฟฟ้าความไวสูงด้วยหัววัดตัวนำไฟฟ้ายิ่งยวด

อุณหภูมิสูงชนิด $YBa_2Cu_3O_{7-x}$ แบบพกพา

PORTABLE HIGH-SENSITIVITY MAGETIC MEASUREMENT BY
HIGH-TEMPERATURE SUPERCONDUCTOR PROBE,TYPE $YBa_2Cu_3O_{7-x}$



โดย

นายชาคริต อินทรประสงค์

นายชรณินทร์ บุญบำรุง

วัน เดือน ปี.....-1 ค.ศ 2541
เลขทะเบียน.....038402
เลขเรียกหนังสือ.....T34422 51/53ค.

ปริญญานิพนธ์นี้เป็นส่วนหนึ่งของการศึกษาตามหลักสูตรปริญญาวิศวกรรมศาสตรบัณฑิต

สาขาวิชาอิเล็กทรอนิกส์

สถาบันเทคโนโลยีพระจอมเกล้าเจ้าคุณทหารลาดกระบัง

ปีการศึกษา 2539

เอกสารนี้เป็นเอกสารที่สงวนไว้สำหรับการใช้งานเพื่อการศึกษาเท่านั้น ไม่อนุญาตให้นำไปใช้ประโยชน์ด้านการค้า
ไม่ว่ากรณีใดๆ ทั้งสิ้น อีกทั้งห้ามมิให้ตัดแปลงเนื้อหาและต้องอ้างอิงถึงเจ้าของเอกสารทุกครั้งที่มีการนำไปใช้

038402

เครื่องมือวัดสนามแม่เหล็กไฟฟ้าความไวสูงด้วยหัววัดตัวนำไฟฟ้ายิ่งยวด

อุณหภูมิสูงชนิด $YBa_2Cu_3O_{7-x}$ แบบพกพา

PORTABLE HIGH-SENSITIVITY MAGETIC MEASUREMENT

BY HIGH-TEMPERATURE SUPERCONDUCTOR PROBE,TYPE $YBa_2Cu_3O_{7-x}$

โดย

นายชาคริต อินทรประสงค์ เลขประจำตัว 37013241

นายชรณินทร์ บุญบำรุง เลขประจำตัว 37013195

อาจารย์ที่ปรึกษา

ผศ.ดร. วิสุทธิ์ ฐิติรุ่งเรือง

ปริญญาานิพนธ์สำหรับปริญญาวิศวกรรมศาสตรบัณฑิต

สาขาวิชาอิเล็กทรอนิกส์

คณะวิศวกรรมศาสตร์

สถาบันเทคโนโลยีพระจอมเกล้าเจ้าคุณทหารลาดกระบัง

ปีการศึกษา 2539

เอกสารนี้เป็นเอกสารที่สงวนไว้สำหรับการใช้งานเพื่อการศึกษาเท่านั้น ไม่อนุญาตให้นำไปใช้ประโยชน์ด้านการค้า
ไม่ว่ากรณีใดๆ ทั้งสิ้น อีกทั้งห้ามมิให้ดัดแปลงเนื้อหาและต้องอ้างอิงถึงเจ้าของเอกสารทุกครั้งที่มีการนำไปใช้

รายงานโครงการ ปีการศึกษา 2539

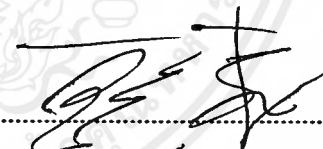
ภาควิชา อิเล็กทรอนิกส์ คณะวิศวกรรมศาสตร์ สถาบันเทคโนโลยีพระจอมเกล้าเจ้าคุณทหารลาด
กระบัง

ชื่อโครงการภาษาไทย: เครื่องมือวัดสนามแม่เหล็กความไวสูงด้วยหัววัดตัวนำไฟฟ้ายิ่งยวดชนิด
 $YBa_2Cu_3O_{7-x}$ แบบพกพา

ชื่อโครงการภาษาอังกฤษ: PORTABLE HIGH SENSITIVITY MAGNETIC MEASUREMENT
BY SUPERCONDUCTOR PROBE, TYPE $YBa_2Cu_3O_{7-x}$

ผู้จัดทำ

- 1.นายชาคริต อินทรประสงค์
- 2.นายธรณินทร์ บุญบำรุง



(ผศ.ดร.วิสุทธิ์ ฐิติรุ่งเรือง)

อาจารย์ที่ปรึกษา

I

เครื่องมือวัดสนามแม่เหล็กความไวสูงด้วยหัววัดตัวนำไฟฟ้ายิ่งยวดอุณหภูมิสูง

ชนิด $\text{YBa}_2\text{Cu}_3\text{O}_{7-x}$ แบบพกพา

ชาคริต อินทรประสงค์

ธรณินทร์ บุญบำรุง

ผศ.ดร. วิสุทธิ์ ชูติรุ่งเรือง อาจารย์ที่ปรึกษา

ปีการศึกษา 2539

บทคัดย่อ

รายงานฉบับนี้เป็นการศึกษาการวัดสนามแม่เหล็กความไวสูงด้วยหัววัดตัวนำไฟฟ้ายิ่งยวดชนิด $\text{YBa}_2\text{Cu}_3\text{O}_{7-x}$ โดยออกแบบให้เป็นเครื่องมือที่มีความคล่องตัวสูงในการใช้งานนอกห้องปฏิบัติการได้ ภาคตรวจจับสนามใช้หัววัดตัวนำไฟฟ้ายิ่งยวดที่โครงสร้างใช้หลักการจุดสัมผัส 4 ขั้ว โดยไบอัสให้เหมาะสมกับคุณสมบัติเฉพาะของสารที่ได้จากการสร้าง สัญญาณที่แปรผันตามสนามจะถูกส่งให้ภาคขยายและภาคแปลงสัญญาณอะนาล็อกเป็นดิจิตอลแล้วแสดงผลออกจอภาพต่อไป

II

PORTABLE HIGH SENSITIVITY MAGNETIC MEASUREMENT
BY HIGH TEMPERATURE SUPERCONDUCTOR PROBE , TYPE $\text{YBa}_2\text{Cu}_3\text{O}_{7-x}$

Chakrit Intaraprasong

Dhoranin Boonbumrung

Asst.Prof.Dr. Wisut Titiroongruang Advisor

1996

ABSTRACT

This report presents the study of the portable high sensitivity magnetic measuring by superconductor probe, type $\text{YBa}_2\text{Cu}_3\text{O}_{7-x}$. This equipment is designed for high performance in practical field. Four Point Probe is designed for detecting magnetic field that has property biasing along the characteristic of superconductor materials. The signal that varies to magnetic field is applied to amplifier, then to A/D Converter. Finally, the signal is monitored on LCD display.

สารบัญ

	หน้า
บทคัดย่อภาษาไทย	I
บทคัดย่อภาษาอังกฤษ	II
คำนำ	III
บทที่ 1 บทนำ	1
1.1 ประวัติการค้นพบสภาพตัวนำไฟฟ้ายิ่งยวด	1
1.1.1 ประวัติทั่วไป	1
1.1.2 การจัดกลุ่มตัวนำไฟฟ้ายิ่งยวด	5
1.2 ตัวนำไฟฟ้ายิ่งยวดแบบเซรามิก	6
1.3 ความสำคัญของตัวนำไฟฟ้ายิ่งยวดอุณหภูมิสูง	9
1.3.1 งานทางด้านอิเล็กทรอนิกส์	9
1.3.2 งานด้านระบบกำลัง	11
1.3.3 งานด้านวิทยาศาสตร์และการแพทย์	12
1.3.4 การคมนาคม	13
1.3.5 การทหาร	14
บทที่ 2 คุณสมบัติทางฟิสิกส์ที่สำคัญของตัวนำไฟฟ้ายิ่งยวด	15
2.1 การเกิดสภาพ DIAMAGNETIC ของตัวนำไฟฟ้ายิ่งยวด	17
2.2 ปรากฏการณ์ไร้ความต้านทานไฟฟ้า	18
2.3 ปรากฏการณ์ MEISSNER EFFECT	18
2.4 ปรากฏการณ์กระแสคงสภาพในวงแหวนตัวนำไฟฟ้ายิ่งยวด	20
2.5 ทฤษฎีจุลภาคของตัวนำไฟฟ้ายิ่งยวด	22
2.5.1 ทฤษฎีของลอนดอน	22
2.5.2 ทฤษฎีของ BCS	24
2.5.3 ทฤษฎีของ CHARLES BEAN	25
2.6 การทำลายสภาพตัวนำไฟฟ้ายิ่งยวดด้วยสนามแม่เหล็ก	32
2.7 ปรากฏการณ์จิลสปี	32

บทที่ 3	กรรมวิธีการสร้างตัวนำไฟฟ้ายิ่งยวด	34
3.1	การเตรียมสารเคมีชนิด $YBa_2Cu_3O_{7-x}$	34
3.2	การคำนวณปริมาณสารสัมพันธ์	34
3.3	แผนผังขบวนการสร้างตัวนำไฟฟ้ายิ่งยวด	37
บทที่ 4	วงจรวัดสนามแม่เหล็กความไวสูงชนิดหัววัดตัวนำไฟฟ้ายิ่งยวด	38
4.1	กล่าวนำ	38
4.2	BLOCK DIAGRAM	38
4.3	วงจรสมบูรณ	38
4.4	อธิบายการทำงาน	39
4.4.1	HTSC SENSOR	39
4.4.2	CONSTANT CURRENT SOURCE(CCS)	40
4.4.3	การทำงานของ AD624	44
4.4.4	การทำงานของ U2	47
4.4.5	การทำงานของ U3	47
4.4.6	การทำงานของ U4	47
4.4.7	การทำงานของ U5	48
4.4.8	การทำงานของ U6	49
4.4.9	การทำงานของ ANALOG TO DIGITAL CONVERTER	49
4.4.10	การทำงานของ LIQUID CRYTAL DISPLAY (LCD)	57
บทที่ 5	ผลการทดลอง	59
บทที่ 6	บทสรุป	64
	ภาคผนวก	
	หนังสืออ้างอิง	
	กิตติกรรมประกาศ	

บทที่ 1

บทนำ

บทนำ

ตัวนำไฟฟ้าทั่ว ๆ ไป จะมีการสูญเสียพลังงานในรูปของความร้อนและแสงสว่าง เมื่อมีกระแสไฟฟ้าไหลผ่าน เนื่องจากผลของความต้านทานไฟฟ้าที่มีอยู่ในตัวนำนั้น ๆ แม้แต่ทองแดงซึ่งถือได้ว่าเป็นตัวนำที่ดีมากก็ตาม ตัวนำไฟฟ้ายิ่งยวด (SUPERCONDUCTOR) คือ ตัวนำไฟฟ้าที่ไม่มี ความต้านทานไฟฟ้าสามารถนำไฟฟ้าปริมาณสูงๆ ได้ โดยที่ไม่เกิดการสูญเสียพลังงานในรูปของความร้อนดังที่เกิดกับตัวนำธรรมดา สภาพการนำไฟฟ้ายิ่งยวดได้ถูกค้นพบครั้งแรกในปี พ.ศ. 2454 (ค.ศ. 1911) แต่ในยุคแรก ๆ นี้เป็นตัวนำไฟฟ้ายิ่งยวดที่อุณหภูมิต่ำ ซึ่งมักจะอยู่ในช่วงที่ไม่เกินจุดเดือดของฮีเลียมเหลว (อุณหภูมิ 4.2K) จนมาถึงช่วงปี พ.ศ. 2530 นักวิจัยสามารถทำสารเซรามิกเป็นตัวนำไฟฟ้ายิ่งยวดได้ที่อุณหภูมิของจุดเดือดของไนโตรเจนเหลว

ปัจจุบันการวิจัย ตัวนำไฟฟ้ายิ่งยวดได้แพร่กระจายไปทั่วโลก โดยเฉพาะอย่างยิ่งในประเทศอุตสาหกรรม สาเหตุสำคัญที่ทำให้มีการทุ่มเทวิจัยตัวนำไฟฟ้ายิ่งยวดกันเป็นอย่างมากเนื่องจากตัวนำไฟฟ้ายิ่งยวดอุณหภูมิสูงนั้น จะก่อให้เกิดการเปลี่ยนแปลงทางด้านเทคโนโลยีอย่างมากและรวดเร็วเกินคาด คล้ายกับที่ทรานซิสเตอร์ได้ถูกพัฒนาขึ้นในปี พ.ศ. 2490 ได้เคยเปลี่ยนแปลงเทคโนโลยีทางอิเล็กทรอนิกส์สมัยใหม่ให้เกิดขึ้นมากมาย

จากการทดลองปรากฏการณ์ต่าง ๆ ที่ศูนย์วิจัยอิเล็กทรอนิกส์ ได้ทำการศึกษาและรายงานไว้พบว่าตัวนำไฟฟ้ายิ่งยวดมีคุณสมบัติที่ไม่ขึ้นอยู่กับทิศทางของสนามแม่เหล็ก ทำให้พบปรากฏการณ์ฟลูเวเฟรคดิไฟร์ ซึ่งอาศัยคุณสมบัติดังกล่าว และจากการศึกษาคุณสมบัติการจำสภาพแม่เหล็กไฟฟ้าของตัวนำไฟฟ้ายิ่งยวดพบว่า ตัวนำไฟฟ้ายิ่งยวดมีปรากฏการณ์ฮิสเทอรีซิส (Hysteresis) ของกระแสวิกฤตซึ่งคล้ายกับคุณสมบัติฮิสเทอรีซิสของสารจำพวกเฟอร์โรแมกเนติกส์

1.1 ประวัติการค้นพบสภาพตัวนำไฟฟ้ายิ่งยวด

1.1.1 ประวัติทั่วไป

ค.ศ. 1911 : HEIKE KEMERLING ONNES ค้นพบสภาพการนำไฟฟ้ายิ่งยวด

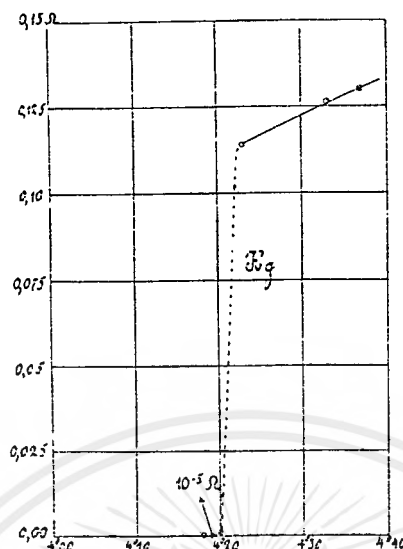
ค.ศ.1935 : WALTER MEISSNER AND R. OCHSENFELD ค้นพบปรากฏการณ์ MEISSNER EFFECT

ค.ศ.1935 : 2 พี่น้อง FRITZ AND HEINZ LONDON. ตั้งสมการเพื่ออธิบาย การเกิดสภาพตัวนำยิ่งยวด เรียกว่า LONDON EQUATION

เอกสารนี้เป็นเอกสารที่สงวนไว้สำหรับการใช้งานเพื่อการศึกษาเท่านั้น ไม่อนุญาตให้นำไปใช้ประโยชน์ด้านการค้าไม่ว่ากรณีใดๆ ทั้งสิ้น อีกทั้งห้ามมิให้คัดแปลงเนื้อหาและต้องอ้างอิงถึงเจ้าของเอกสารทุกครั้งที่มีการนำไปใช้

- ค.ศ. 1950 : GINZBURG AND LEV LANDAU (RUSSIAN SCIENTIST)
อธิบายสภาพตัวนำยิ่งยวด ด้วยสมการ QUANTUM เรียกว่า
GINZBURG-LANDAU THEORY
- ค.ศ. 1957 : BCS THEORY ถูกตั้งขึ้นโดย JOHN BARDEEN, LEON
COOPER, ROBERT SCHRIEFFER ณ ILLINOIS UNIVERSITY,
และทั้ง 3 ได้รับรางวัล NOBEL PRIZE สำหรับทฤษฎีนี้
- ค.ศ. 1957 : ABRIKOSOV (RUSSIAN) ค้นพบ TYPE II SUPERCONDUCTOR
ถือเป็นจุดเปิดเทคโนโลยีนำไปสู่การค้นพบสาร HTSC ซึ่งได้แก่สาร
ตระกูล $Nb_3Sn, NbTi$
- ค.ศ. 1986 : ALEX MULLER AND GEORG BEDNORZ (SCIENTIST AT
IBM ZURICH LAB) ค้นพบ HTSC ที่ $30^{\circ}k$ ($BaLaCuO$) ซึ่งถือว่า
สูงสุดในยุคนั้น จนทั้ง 2 ได้รับรางวัล NOBEL PRIZE IN
PHYSICS
- ค.ศ. 1987 : DR. PAUL E.W. CHU (HOUSTON UNIVERSITY) ค้นพบ HTSC
ที่ $93^{\circ}k$ โดยใช้สาร Y แทน La ($YBaCuO$) ถือเป็นแม่แบบของสาร
HTSC ที่นิยมประดิษฐ์ในปัจจุบัน

สภาพการนำไฟฟ้ายิ่งยวดถูกค้นพบครั้งแรกโดยนักฟิสิกส์ชาวดัตช์ชื่อ HEIKE
KEMERLING ONNES หลังจากที่เขาสามารถเตรียมฮีเลียม ปี พ.ศ. 2451 ด้วยวิธีการลดอุณหภูมิ
และเพิ่มความดันให้กับก๊าซฮีเลียม ปี พ.ศ. 2454 ONNES ได้ทำการวิจัยเกี่ยวกับคุณสมบัติของโลหะที่
อุณหภูมิต่ำ เขาพบว่าค่าความต้านทานไฟฟ้าของปรอทลดลงเป็นศูนย์อย่างทันทีทันใดที่ อุณหภูมิ 4.2
K (K แทน องศาเคลวินเป็นมาตรฐานวัดอุณหภูมิ ซึ่งศูนย์องศาเคลวินเท่ากับ -273 องศาเซลเซียส
หรือ -273 องศาเซลเซียส) หรือเรียกว่า เกิดสภาพการนำไฟฟ้ายิ่งยวดได้นี้ว่า อุณหภูมิวิกฤต
(CRITICAL TEMPERATURE : T_c) กราฟแสดงความสัมพันธ์ระหว่างค่าความต้านทานไฟฟ้า (R)
กับอุณหภูมิวิกฤต (T) ของปรอท จากการทดลองของ HEIKE KAMARLINGH ONNES แสดงใน
รูปที่ 1.1 นอกจากนี้ ONNES ยังพบสภาพการนำไฟฟ้ายิ่งยวดในโลหะอื่น ๆ ทำให้ ONNES ได้รับ
รางวัลโนเบลสาขาฟิสิกส์ใน ปี พ.ศ.2454



รูปที่ 1.1 กราฟแสดงความสัมพันธ์ ระหว่างความต้านทานทางไฟฟ้ากับ อุณหภูมิของปรอท จากการทดลองของ HEIKE KAMERLINGH ONNES (1911)

หลังจากการทดลองของ ONNES ก็มีนักวิทยาศาสตร์จำนวนมากได้หันมาทดลองค้นคว้าเพื่อหาทฤษฎีมาอธิบายการเกิดสภาพการนำไฟฟ้ายิ่งยวด และค้นหาตัวนำไฟฟ้ายิ่งยวดที่มีอุณหภูมิสูงขึ้นกว่าเดิม ปี พ.ศ.2406 ได้นำตัวนำไฟฟ้ายิ่งยวดที่มีอุณหภูมิลดลง 15K จากโลหะผสมของธาตุไนโอเบียม (NIOBIUM) ปี พ.ศ.2512 ก็สามารถเพิ่มอุณหภูมิลดลงเป็น 20K และสามารถใส่ไฮโดรเจนเหลวซึ่งมีจุดเดือดอยู่ที่ 20K นับเป็นครั้งแรกที่ใช้ตัวทำความเย็นตัวอื่นที่ไม่ใช่ฮีเลียมเหลว

เวลาผ่านไปอีกกว่า 30 ปี อุณหภูมิลดลงถูกทำให้เพิ่มขึ้นจากเดิมเพียงเล็กน้อยจากสารประกอบของธาตุไนโอเบียม คือ $Nb_3 Ge$ เป็น 23.2 K ในปี พ.ศ.2516 และในปีนี้เองที่นาย JOHNSTON ได้ค้นพบตัวนำไฟฟ้ายิ่งยวดในกลุ่มของธาตุลิเทียม-ไทเทเนียม-ออกซิเจนคือ $LiTi_2O_4$ ที่อุณหภูมิลดลง 13.7K ในปี พ.ศ.2518 SLINGHT ค้นพบตัวนำไฟฟ้ายิ่งยวดประเภท PEROVSKITE คือ $BaPb_{1-x}Bi_xO_3$ ที่ $T_c = 13K$ ทั้ง 2 ตัวนี้ต่างจากปกติตรงที่ ออกไซด์ของสารประกอบเหล่านั้นมีอุณหภูมิสูงกว่าที่ควรจะเป็น จากการวิจัยพบว่า $BaPb_{1-x}Bi_xO_3$ จะให้อุณหภูมิลดลงสูงสุดที่ค่า X ต่าง ๆ กัน ทำให้เป็นที่คาดหวังว่าออกไซด์ดังกล่าวจะเป็นหนทางนำไปสู่การค้นพบสารตัวนำไฟฟ้ายิ่งยวดอุณหภูมิสูง

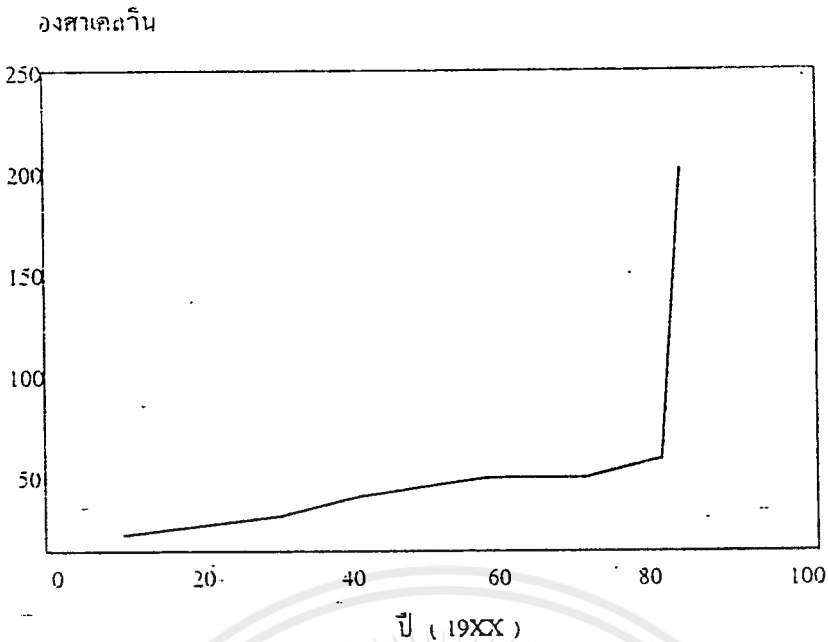
จนกระทั่งในปี พ.ศ.2526 KARAL ALEX MULLER และ JOHANNES GEORGE BEDNORZ นักวิจัยของ IBM RESEARCH LABORATORY ทำการทดลองโดยใช้ส่วนประกอบจาก

เอกสารนี้เป็นเอกสารที่สงวนไว้สำหรับการใช้งานเพื่อการศึกษาเท่านั้น ไม่อนุญาตให้นำไปใช้ประโยชน์ด้านการค้า ไม่ว่าจะกรณีใดๆ ทั้งสิ้น อีกทั้งห้ามมิให้คัดแปลงเนื้อหาและต้องอ้างอิงถึงเจ้าของเอกสารทุกครั้งที่มีการนำไปใช้

อัลลอยด์ของโลหะ มาเป็นโลหะออกไซด์ (METALLIC OXIDE) ซึ่งเป็นสารประกอบของโลหะหลายชนิดกับออกซิเจน หรือคือวัสดุเซรามิก และในเวลา 3 ปี ก็ได้ค้นพบสารประกอบที่สามารถเกิดสภาพการนำไฟฟ้ายิ่งยวดได้จากธาตุแบเรียม-แลนทานัม-ทองแดง-ออกซิเจน คือ $Ba_x La_{5-x} Cu_3 O_{5(3-x)}$ โดยการวัดความต้านทานทางไฟฟ้าเมื่อ $X = 1$ และ $X = 0.75$ ได้อุณหภูมิวิกฤตสูงถึง 35K

ในปี พ.ศ.2530 (1987) Pual C.W. Chu และทีมนักวิจัยของมหาวิทยาลัย Houston ประเทศสหรัฐอเมริกา ได้ทดลองเปลี่ยนธาตุแบเรียมเป็นสตรอนเชียม ที่มีขนาดของอะตอมที่เล็กกว่าแบเรียม ปรากฏว่าทำให้อุณหภูมิวิกฤตเพิ่มขึ้นเป็น 54K จากนั้น กลุ่มวิจัยของ C.W. Chu ก็ได้ทดลองเปลี่ยนธาตุแลนทานัมเป็นธาตุอิตเทรียม สามารถวัดอุณหภูมิวิกฤตได้สูงขึ้นเป็น 95K สร้างความตื่นตัวให้กับวงการฟิสิกส์ทั่วโลก เพราะว่าสามารถที่จะใช้ในโทรเจนเหลวซึ่งมีจุดเดือดอยู่ที่ 77K ซึ่งต่ำกว่าอุณหภูมิวิกฤตของตัวนำไฟฟ้ายิ่งยวดของ Chu ในโทรเจนเหลวนับว่ามีราคาถูกลงมากและเตรียมง่ายกว่าตัวทำความเย็นอื่นที่เคยใช้มา

ตัวนำไฟฟ้ายิ่งยวดที่ค้นพบใหม่นี้เป็นสารประกอบของธาตุในกลุ่มของแบเรียม-อิตเทรียม-ทองแดง-ออกซิเจน ที่สูตรโครงสร้างทางเคมีเป็น $Y_1 Ba_2 Cu_3 O_{7-x}$ ซึ่งโครงสร้างแบบนี้คล้ายคลึงกับโครงสร้างทางเซรามิกประเภท $K_2 NiF_4$ ที่เรียกว่า Perovskites แต่เซรามิกแบบนี้เป็นชนิดที่จำนวนออกซิเจนมีไม่ครบหรือเรียกว่า Oxygen Defect Perovskites อุณหภูมิวิกฤตของธาตุในกลุ่มนี้นับว่าสูงมากเมื่อเทียบกับที่เคยสร้างมา จะเห็นว่าตัวนำไฟฟ้ายิ่งยวดอุณหภูมิสูงที่พบนี้ นั้น เป็นการทดลองที่อาศัยข้อมูลที่มีอยู่แล้วมิใช่การพบโดยบังเอิญ ช่องทางที่จะเพิ่มอุณหภูมิที่พบนี้ นั้น เป็นการทดลองที่อาศัยข้อมูลที่มีอยู่แล้วมิใช่การพบโดยบังเอิญ ช่องทางที่จะเพิ่มอุณหภูมิวิกฤตจึงยังมีทางเป็นไปได้ นักวิทยาศาสตร์ยังคงตั้งเป้าหมายที่ตัวนำไฟฟ้าที่อุณหภูมิห้องหรือประมาณ 300K ปัญหาอีกจำนวนมากยังคงต้องถูกแก้ไขใหม่ เช่น สนามแม่เหล็กที่เกิดจากการไหลของกระแสจำนวนมากความยากลำบากในการทำให้เป็นเส้น วง และรูปร่างอื่น ๆ แต่นักวิจัยส่วนใหญ่เชื่อว่าปัญหานี้จะผ่านพ้นไปได้ ความก้าวหน้าของการพัฒนาตัวนำไฟฟ้ายิ่งยวดสรุปได้ดังรูปที่ 1.2

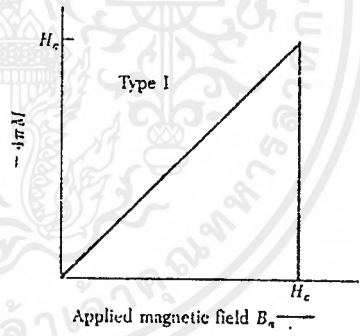


รูปที่ 1.2 แผนผังแสดงความก้าวหน้าของการค้นพบตัวนำไฟฟ้ายิ่งยวด

1.1.2 การจัดกลุ่ม SUPERCONDUCTORS

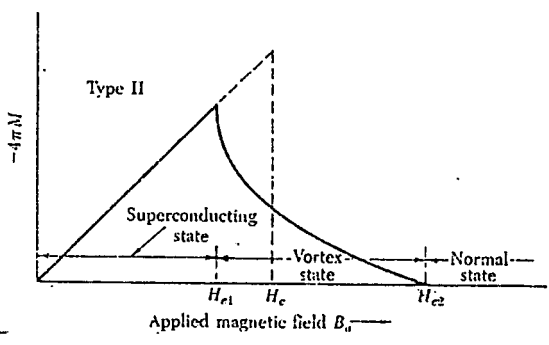
SUPERCONDUCTOR แบ่งเป็น 2 Type คือ

1. Type I : ได้แก่ ธาตุบริสุทธิ์ พวก In, Sn, Tl ให้สนามวิกฤตต่ำ มีช่วงความยาวพร้อมเพริยยาวกว่าความลึกซึมซาบ($\xi > \lambda$) ซึ่งไม่เหมาะนำมาประยุกต์ใช้งาน



รูปที่1.2.1 S.C. TYPE I

2. Type II : ได้แก่ โลหะพวก Alloys, Ceramics ที่ได้จากการผสมสารต่าง ๆ เข้าด้วยกัน (ธาตุผสม) มีช่วงความยาวพร้อมเพริยสั้นกว่าความลึกซึมซาบ($\xi < \lambda$) จะให้สนามวิกฤตจาก Hc1 ถึง Hc2 ที่กว้างกว่าสามารถนำไปประยุกต์ใช้งานได้



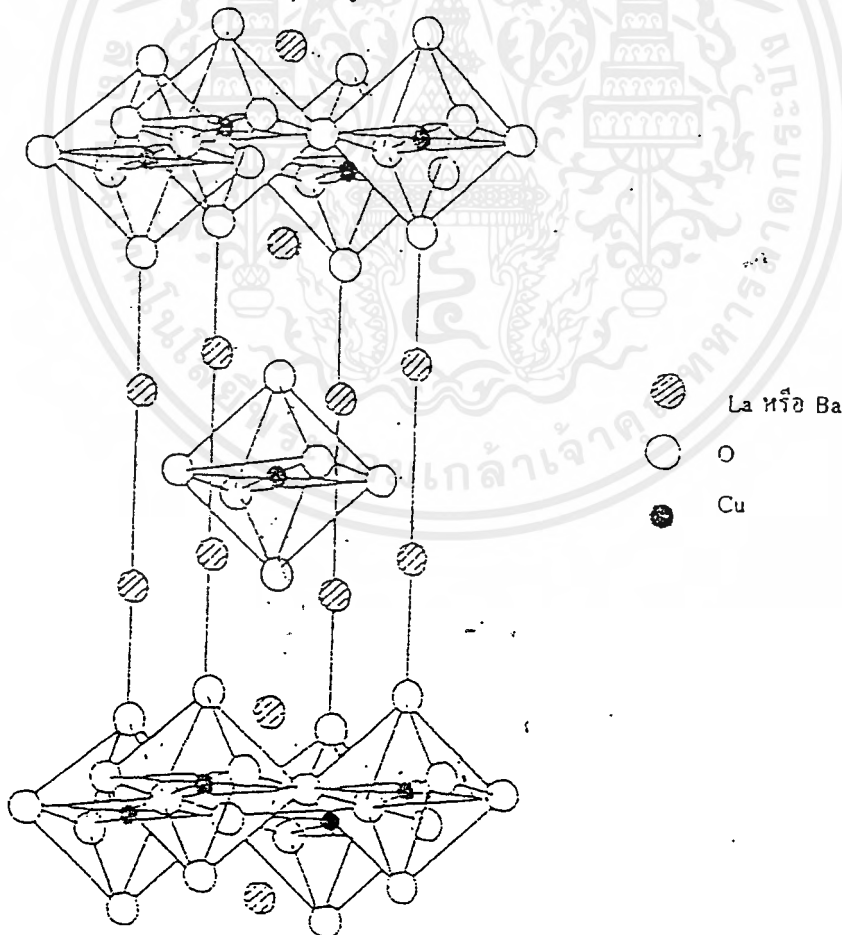
รูปที่1.2.2 S.C. TYPE II

จากการศึกษาวิจัยพบว่า สารกลุ่ม CERAMIC (ซึ่งมีคุณสมบัติการนำไฟฟ้าในอุณหภูมิห้องได้แล้ว) สามารถนำมาสร้างเป็น SUPERCONDUCTOR ได้ดีกว่าสารพวกโลหะ (ที่มีคุณสมบัติการนำไฟฟ้าในอุณหภูมิห้องได้ดี)

1.2 ตัวนำไฟฟ้ายิ่งยวดแบบเซรามิก

จากการที่ทีมนักวิจัยของบริษัท IBM ได้ค้นพบสูตรสารประกอบของเซรามิก ทำให้เกิดการเปลี่ยนแปลงมากความสนใจและการเพิ่มอุณหภูมิวิกฤตของตัวนำไฟฟ้ายิ่งยวดเพิ่มขึ้นอย่างมาก นักวิทยาศาสตร์ต่างนำสูตรของบริษัท IBM ซึ่งประกอบด้วยธาตุแบเรียม ธาตุแลนทานัม ธาตุทองแดง และธาตุออกซิเจน ไปทดลองคัดแปลงเพิ่มขึ้น ต่อมาก็มียุคคิดค้นใช้ธาตุอิตเทรียมแทนแลนทานัม

สารเซรามิกที่ได้รับรายงานว่าเป็นตัวนำไฟฟ้ายิ่งยวดที่อุณหภูมิสูง ที่น่าสนใจคือ La-oxide และ Y-oxide โดย La-oxide จะมีสถานะนำไฟฟ้ายิ่งยวดที่อุณหภูมิประมาณ 40K และ Y-oxide จะมีสถานะนำไฟฟ้ายิ่งยวดที่อุณหภูมิประมาณ 95 K

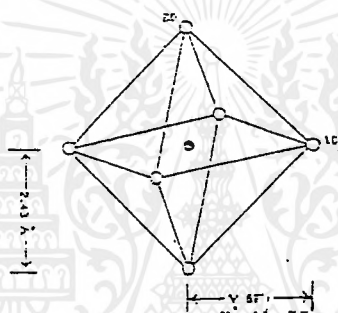


รูปที่ 1.3 โครงสร้างผลึกของ $(La, Ba)_2CuO_4$

เอกสารนี้เป็นเอกสารที่สงวนไว้สำหรับการใช้งานเพื่อการศึกษาเท่านั้น ไม่อนุญาตให้นำไปใช้ประโยชน์ด้านการค้า ไม่ว่าจะกรณีใดๆ ทั้งสิ้น อีกทั้งห้ามมิให้ตัดแปลงเนื้อหาและต้องอ้างอิงถึงเจ้าของเอกสารทุกครั้งที่มีการนำไปใช้

La-oxide

La_2CuO_4 เป็นสารประกอบที่มีสภาพเป็นฉนวน มีโครงสร้างทางเคมีเป็น ออโธโรมบิก (orthorhombic) เมื่อผสมแบเรียม (Ba) เข้าไปแทนส่วนของแลนทานัม (La) ในเปอร์เซ็นต์ที่สูง สารประกอบนั้นจะกลายเป็นตัวนำไฟฟ้ายิ่งยวด โดยมีโครงสร้างทางเคมีเป็นแบบเตตราโกนอล (Tratragonal) รูปที่ 1.3 แสดงถึงรูปโครงสร้างผลึกของ $(\text{La, Ba})_2\text{CuO}_4$ ซึ่งเป็นโครงสร้างแบบ Perovskite Structure จะเห็นว่าอะตอมของทองแดง (Cu) เป็นแกนผลึกรูปตาข่ายลักษณะแบบเตตราโกนอล แต่ละอะตอมของทองแดงจะล้อมรอบด้วยอะตอมของออกซิเจน (O) 6 อะตอม ในรูปลักษณะรูปเหลี่ยมแปดด้าน (Octahedron) อะตอมของทองแดงจะเรียงกันเป็นชั้นในระหว่างอะตอมของทองแดง จะมีอะตอมของแลนทานัม (La) แทรกอยู่



รูปที่ 1.4 โครงสร้าง Octahedron Structure ของออกซิเจน จุดดำกึ่งกลางคือทองแดง



รูปที่ 1.5 Wave function ของทองแดงและออกซิเจนบนแนวระนาบ

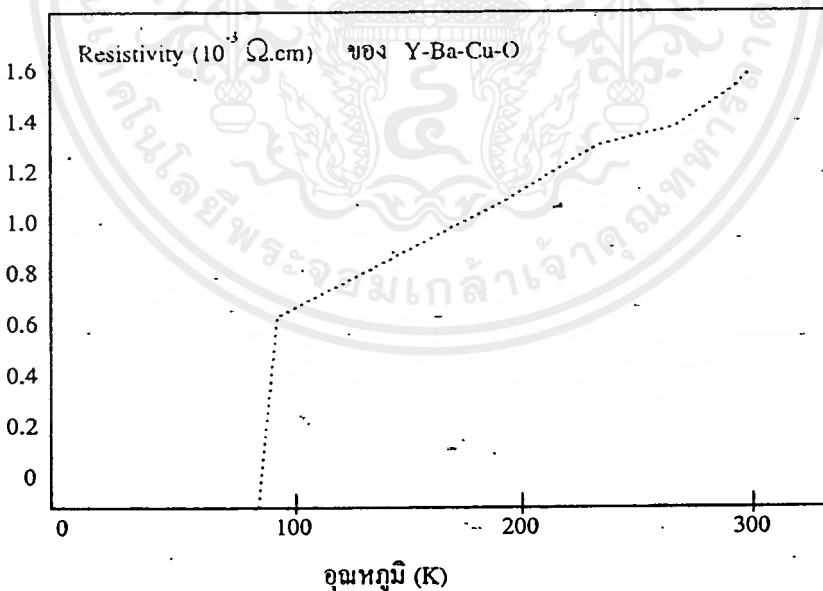
อย่างไรก็ตาม อะตอม 6 ตัว ของออกซิเจนที่อยู่รอบอะตอมของทองแดง ก็ไม่ได้วางตัวเป็นรูปแปดด้านที่เท่ากันหมดทุกด้าน ระยะระหว่างอะตอมของออกซิเจนในแนวระนาบค่อนข้างจะอยู่ใกล้ชิดกันมาก (ประมาณ 1.89°A) เมื่อเปรียบเทียบกับอะตอมของออกซิเจนในแนวตั้ง (ประมาณ 2.43°A) ดังรูปที่ 1.4 อาจจะได้ด้วยเหตุที่ว่า เมื่ออะตอมของทองแดงและอะตอมของออกซิเจนเคลื่อนตัวมาซ้อนทับกันในแนวระนาบของออกซิเจนเคลื่อนตัวมาซ้อนทับกันในแนวระนาบ ทำให้เกิดสถานะการนำไฟฟ้ายิ่งยวดขึ้นในแนวระนาบนั้น ดังรูปที่ 1.5

เอกสารนี้เป็นเอกสารที่สงวนไว้สำหรับการใช้งานเพื่อการศึกษาเท่านั้น ไม่อนุญาตให้นำไปใช้ประโยชน์ด้านการค้าไม่ว่ากรณีใดๆ ทั้งสิ้น อีกทั้งห้ามมิให้คัดแปลงเนื้อหาและต้องอ้างอิงถึงเจ้าของเอกสารทุกครั้งที่มีการนำไปใช้

ต่อมาได้มีผู้ศึกษาธาตุแบเรียม (Ba) , สตรอนเชียม (Sr) และแคลเซียม (Ca) ซึ่งมีโครงสร้างทางเคมีเหมือนกันแต่ต่างกัน โครงสร้างของอะตอม มาใช้ในสารเซรามิกในรูปของ (Ba , Sr, Ca)₂ LaCuO₄ จากการศึกษาอย่างละเอียดได้ผลว่า ค่าอุณหภูมิวิกฤตของสตรอนเชียม (Sr) จะมีค่าสูงที่สุดและรองลงมาคือ แบเรียม (Ba) และแคลเซียม (Ca)

Y-OXIDE

หนังสือพิมพ์ญี่ปุ่น ฉบับวันที่ 17 กุมภาพันธ์ 1987 ได้รายงาน ว่า กลุ่มวิจัยนำโดย ค็อกเตอร์ พอล ซี. ดับบลิว.จู (Paul C.W. Chu) แห่งมหาวิทยาลัยฮุสตัน สหรัฐอเมริกา ได้ค้นพบสารออกไซด์ซึ่งเป็นสารตัวนำไฟฟ้ายิ่งยวดได้ที่อุณหภูมิ 95K แต่ก็ไม่ได้แจ้งว่าเป็นสารชนิดใดจากนั้น 1 อาทิตย์ ศาสตราจารย์ ฮิกามิ (Proferssor Higami) แห่งมหาวิทยาลัยโตเกียว ได้ประกาศว่า กลุ่มวิจัยของเขาได้ค้นพบสารออกไซด์ที่สามารถนำไฟฟ้ายิ่งยวดได้ที่อุณหภูมิสูงกว่าอุณหภูมิของไนโตรเจนเหลว และต่อมาก็เป็นที่ทราบว่าเป็นสารออกไซด์นั้น คือ Y-Ba-Cu-Oxides ซึ่งก็คือ La-oxide นั้นเอง แต่เปลี่ยนธาตุอิตเทรียม (Yttrium, Y) เข้าไปแทนธาตุแลนทานัม โดยรูปที่ 1.6 แสดงให้เห็นถึงคุณสมบัตินำไฟฟ้ายิ่งยวดของ Y-oxide



รูปที่ 1.6 กราฟความสัมพันธ์ระหว่างความต้านทานกับอุณหภูมิของตัวนำไฟฟ้ายิ่งยวด Y-Ba-Cu-O

การวิจัยต้องประสบกับปัญหาที่ยากในการกำหนดโครงสร้างผลึกของ Y-oxide ซึ่งค่อนข้างจะซับซ้อนกว่าที่กำหนดให้กับ La-oxide ในตอนแรกเป็นที่เข้าใจว่ามันน่าจะมีสถานะนำไฟฟ้ายิ่งยวดเมื่อมันมีโครงสร้างแบบ Brown millerite ($\text{Ca}_2 \text{AlFeO}_5$) Structure ต่อมาก็คิดกันว่ามันน่าจะมีเอกสารนี้เป็นเอกสารที่สงวนไว้สำหรับการใช้งานเพื่อการศึกษาเท่านั้น ไม่นอนุญาตให้นำไปใช้ประโยชน์ด้านการค้าไม่ว่ากรณีใดๆ ทั้งสิ้น อีกทั้งห้ามมิให้คัดแปลงเนื้อหาและต้องอ้างอิงถึงเจ้าของเอกสารทุกครั้งที่มีการนำไปใช้

เป็น double-layered perovskite Structure แต่จากการทดลองหลายครั้งก็เป็นที่แน่ใจว่าโครงสร้างของมันคือ $YBa_2Cu_3O_{7-x}$ (มีรายงานว่าค่า $X = 0.3$) และอัตราส่วนของ Y และ Ba เท่ากับ 1 : 2 จะให้ค่าอุณหภูมิวิกฤตที่สูงที่สุด ปัจจุบันค่าอุณหภูมิสูงสุดที่ทดลองได้สำหรับ Y-oxide ที่มีสถานะนำไฟฟ้ายิ่งยวดได้ คือ ประมาณ 100K ซึ่งคาดว่าจะสูงกว่านี้ในไม่ช้า

1.3 ความสำคัญของตัวนำไฟฟ้ายิ่งยวดอุณหภูมิสูง

ตัวนำไฟฟ้ายิ่งยวดนั้นมีความสามารถเหนือกว่าตัวนำธรรมดา 3 ข้อได้แก่

1. ตัวนำไฟฟ้ายิ่งยวดไม่มีความต้านทานไฟฟ้าหรือความต้านทานเป็นศูนย์
2. ไม่มีผลของความร้อนเนื่องจากพลังงานที่สูญเสีย
3. ไม่ยอมให้สนามแม่เหล็กผ่านทะลุ โดยจะประพุดิตัวเหมือนกับไดอะแมกเนต (diamagnet)

ข้อได้เปรียบเหล่านี้ทำให้ตัวนำไฟฟ้ายิ่งยวดอุณหภูมิสูงได้รับความสนใจอย่างมาก ในการที่จะประยุกต์ตัวนำไฟฟ้ายิ่งยวดอุณหภูมิสูงมาใช้งานด้านไฟฟ้า อิเล็กทรอนิกส์และด้านอื่นๆที่เกี่ยวข้องซึ่งจะนำไปสู่การเปลี่ยนแปลงทางความก้าวหน้าของอุตสาหกรรม เนื่องจากอุปกรณ์และเครื่องมือต่าง ๆ จะมีประสิทธิภาพมากขึ้น ตัวอย่างที่พอจะเห็นได้ในตอนนี้ ได้แก่

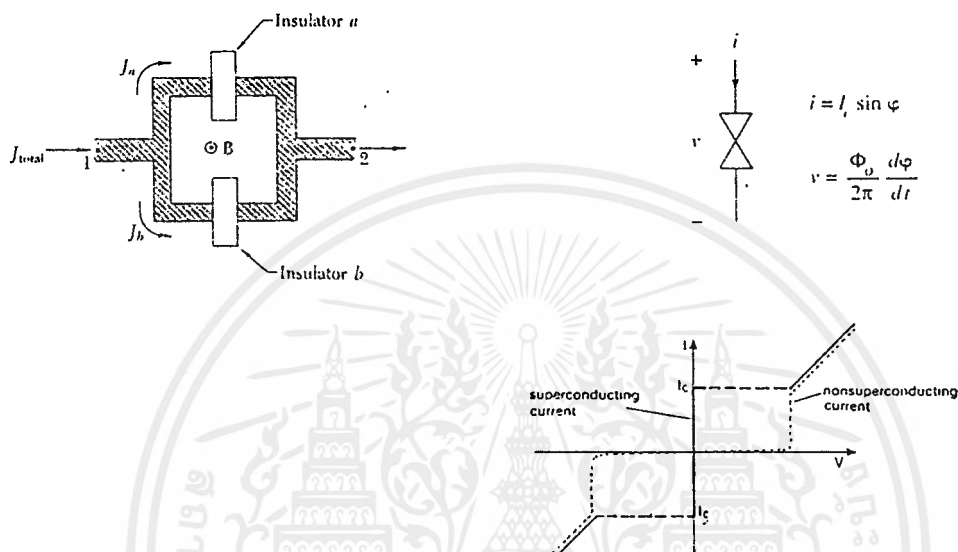
1.3.1 งานทางด้านอิเล็กทรอนิกส์

ในส่วนของงานทางด้านอิเล็กทรอนิกส์ น่าจะมีส่วนเกี่ยวข้องกับตัวนำไฟฟ้ายิ่งยวดมาก เพราะอุปกรณ์อิเล็กทรอนิกส์นั้นมีขนาดเล็ก โดยเฉพาะพวกวงจรรวม ซึ่งมักจะเป็นวงจรสำเร็จในตัวเดียว ซึ่งได้เปรียบในการใช้งานเมื่อเทียบกับอุปกรณ์ใหญ่ ๆ ในกระบวนการสร้างวงจรรวมนั้น ขั้นตอนทั้งเรื่องลวดลายและการโคชิฟที่ทำการบรรจุลงตัวถัง การต่อขาโดยใช้ลวดโลหะเชื่อมต่อ จากวงจรออกมายังภายนอก ความร้อนนับเป็นสิ่งสำคัญต่อวงจรรวมโดยเฉพาะอย่างยิ่งวงจรรวมที่มีรายละเอียดมาก ๆ ความร้อนนั้นจะเกิดขึ้นจากกระแสไฟฟ้าที่ไหลอยู่ในวงจรรวมขณะทำงาน ดังนั้น ในการออกแบบผู้ออกแบบวงจรรวมจึงต้องมีการเว้นระยะห่างของตัวอุปกรณ์เพื่อให้มีที่พอที่จะกระจายความร้อน ทำให้ต้องสูญเสียพื้นที่ในส่วนนี้ไป แต่ในกรณีที่น่าตัวนำไฟฟ้ายิ่งยวดมาใช้ในวงจรรวม จะไม่เกิดปัญหาของความร้อนตัวอุปกรณ์ในวงจรรวมจึงสามารถออกแบบให้อยู่ใกล้กันได้มาก ซึ่งในกรณีนี้ยังช่วยลดเวลาของการส่งผ่านสัญญาณอีกด้วยและชิพจะมีขนาดเล็กลงอีกด้วย

การใช้งานอีกแบบหนึ่งของนำไฟฟ้ายิ่งยวดในงานอิเล็กทรอนิกส์ คือ รอยต่อโจเซฟสันซึ่งจะถูกนำมาใช้ในลักษณะของอุปกรณ์สวิตซ์ซึ่ง ที่สามารถทำงานเร็วกว่าทรานซิสเตอร์ได้ เป็นร้อยเท่า ถ้านำมาใช้ในระบบคอมพิวเตอร์ก็จะทำให้ความสามารถของคอมพิวเตอร์สูงขึ้นมากขณะเอกสารนี้เป็นเอกสารที่สงวนไว้สำหรับการใช้งานเพื่อการศึกษาเท่านั้น ไม่อนุญาตให้นำไปใช้ประโยชน์ด้านการค้าไม่ว่ากรณีใดๆ ทั้งสิ้น อีกทั้งห้ามมิให้คัดแปลงเนื้อหาและต้องอ้างอิงถึงเจ้าของเอกสารทุกครั้งที่มีการนำไปใช้

ที่ขนาดเล็กลงอีก รอยต่อโจเซฟสันนี้ถูกพัฒนาขึ้นในปี พ.ศ. 2505 โดย Brian Josephson รอยต่อโจเซฟสันประกอบด้วยตัวนำไฟฟ้ายิ่งยวด 2 ส่วนที่ถูกแยกด้วยชั้นกั้นฉนวนบาง ๆ เราใช้การเปลี่ยนแปลงระดับของกระแสในกรณีที่ใช้รอยต่อโจเซฟสันเป็นอิเล็กทรอนิกส์สวิตช์

Josephson Junction



รูปที่ 1.3.1 I-V Characteristic ของ Josephson Junction

คุณสมบัติที่สำคัญ

1. ความเร็วในการสวิตช์จาก Zero Resistance ไปเป็น Positive Resistance ประมาณ $1/10^{12}$ ของวินาที
2. สามารถควบคุมด้วยอุปกรณ์กำลังต่ำๆ ได้ เพราะเป็นการควบคุมด้วยสนามแม่เหล็ก และตัวรอยต่อเองมีการสูญเสียกำลังต่ำมาก ๆ (Low Power Dissipation)
3. สามารถนำไปเป็นหน่วยความจำของระบบการประมวลผลต่าง ๆ ได้ เพราะคุณสมบัติที่
 - ไม่มี Voltage ตกคร่อม Function เมื่อเป็นสภาพตัวนำยิ่งยวด
 - และมี Voltage คร่อม Function เมื่อเสียดสภาพตัวนำยิ่งยวด

ปัจจุบันได้มีการนำไปทดลองใช้เป็นวงจร OR, AND gate โดยสร้างเป็น ARRAY of Josephson Cells ที่ DATA ควบคุมด้วยสนามแม่เหล็ก

และนำไปสร้าง Oscilloscopes ทำให้มี Bandwidth สูง เช่น เครื่อง PSP-750 Oscilloscope ที่มี Bandwidth 70GHz ,50 μ V Sensitivity ของบริษัท Hypres Inc, NEW YORK,1987 เพื่อใช้งานด้านความถี่ Microwave

1.3.2 งานด้านระบบกำลัง

ระบบกำลังไฟซึ่งเริ่มจาก เครื่องกำเนิดแรงดัน (Generator) ที่ภาคจ่ายกำลัง ผ่านเครือข่ายไปสู่ผู้บริโภคนั้น สามารถจะลดค่าใช้จ่ายและพลังงานได้มากเมื่อใช้สภาพการนำไฟฟ้าที่ยืดหยุ่นระบบทั่ว ๆ ไปที่ใช้กันอยู่

เครื่องกำเนิดแรงดัน (Generator) ที่พันด้วยตัวนำไฟฟ้าที่ยืดหยุ่นที่ให้กระแสเท่ากับที่ให้ตัวนำธรรมดา จะทำให้ตัวอุปกรณ์มีขนาดเล็กกว่าและทำงานน้อยกว่ากระแสที่ผลิตได้จะถูกจ่ายออกไปตามโครงข่ายที่ใช้ตัวนำไฟฟ้าที่ยืดหยุ่นเป็นหลัก ทำให้ความสิ้นเปลืองลดลงจากระบบทำงานปกติ ซึ่งจะต้องสูญเสียไปประมาณ 20% ของไฟฟ้าที่ใส่เข้าไปอันเนื่องมาจากความต้านทานที่เกิดขึ้น

เมื่อพลังงานไฟฟ้าถูกผลิตขึ้นมาครั้งหนึ่ง ๆ จะถูกส่งไปยังผู้บริโภคเท่าที่มันผลิตได้ เป็นส่วนมาก เนื่องจากปัจจุบันไม่มีวิธีการที่มีประสิทธิภาพในการเก็บพลังงานจำนวนมากจึงจำเป็นต้องมีการประมาณว่าผู้บริโภคจะใช้กระแสไฟฟ้าปริมาณเท่าใด และปรับการผลิตให้เหมาะสมกับความต้องการตามการคาดการณ์ล่วงหน้า กรณีที่ผู้บริโภคต้องการกำลังไฟฟ้าน้อยกว่าปกติจะมีพลังงานบางส่วนเหลือการใช้ ตัวนำไฟฟ้าที่ยืดหยุ่นจะสามารถแก้ปัญหาในส่วนนี้เพื่อลดการสูญเสียได้ ระบบ SMES หรือ Superconductor Magnatic Energy Storage ซึ่งเหมือนกับการทดลองของ Onnes ที่ได้เห็นขบวนการกระแสไฟฟ้าให้ไหลในวงแหวนตัวนำไฟฟ้าที่ยืดหยุ่นได้ โดยที่กระแสไฟฟ้าไม่ลดลงเลยเมื่อเวลาผ่านไป เราจึงสามารถเก็บพลังงานไฟฟ้าไว้ได้ยาวนาน ระบบ SMES จะถูกต่ออยู่กับโครงข่ายกำลัง ในช่วงเวลาที่ความต้องการพลังงานไฟฟ้ามีจำนวนน้อย พลังงานส่วนใหญ่จะถูกนำเข้าสู่อุปกรณ์ SMES และในระหว่างที่ปริมาณไฟฟ้ามีความต้องการอย่างมากกระแสไฟฟ้าที่อยู่ในระบบ SMES ก็จะกลับเข้าสู่ระบบโครงข่ายกำลัง

ประโยชน์ของสภาพการนำไฟฟ้าที่ยืดหยุ่น ไม่เพียงแต่ใช้ในการผลิตกระแสไฟฟ้า การเก็บและการกระจายพลังงานเท่านั้น สภาพตัวนำไฟฟ้าที่ยืดหยุ่น ยังมีประโยชน์ในการพัฒนาระบบและอุปกรณ์ไฟฟ้าด้วย ตัวอย่างเช่น เครื่องซักผ้า เครื่องล้างจาน และเครื่องเป่าผม ในวันหนึ่งข้างหน้า อาจจะสร้างด้วยมอเตอร์ไฟฟ้าแบบตัวนำไฟฟ้าที่ยืดหยุ่น ซึ่งใช้พลังงานน้อยลง และมีขนาดเล็กลงมาก

1.3.3 ด้านวิทยาศาสตร์และการแพทย์

สาขาวิทยาศาสตร์และการแพทย์ จะได้รับผลดีอย่างมากจากสภาพการนำไฟฟ้ายิ่งยวด โดยเฉพาะในส่วนของที่เกี่ยวข้องกับการกำเนิดสนามแม่เหล็กกำลังแรง และการตรวจจับสนามแม่เหล็กอ่อน ๆ

นักฟิสิกส์นั้นได้ใช้ประโยชน์ของแม่เหล็กไฟฟ้าตัวนำไฟฟ้ายิ่งยวดมานานแล้ว สำหรับใช้กำเนิดสนามแม่เหล็กกำลังแรงเพื่อศึกษาการชนของอะตอม ในห้องปฏิบัติการทางฟิสิกส์ นักฟิสิกส์ได้พยายามสร้าง magnetic bottle เพื่อเก็บปฏิกิริยาฟิวชั่น โดยใช้แม่เหล็กตัวนำไฟฟ้ายิ่งยวด โดยหวังว่าในอนาคตอันใกล้นี้จะสามารถสร้างสนามแม่เหล็กที่สามารถเก็บปฏิกิริยาฟิวชั่นได้

สกวิคส์ (SQUIDS) เป็นชื่อย่อของ Superconduction Quantum Interference Device สควิคส์ ประกอบด้วยรอยต่อโจเซฟสันเป็นชั้นแบบแซนวิชของฉนวนชั้นบาง ๆ ได้ตามขบวนการที่เรียกว่า tunneling ถ้าสกวิคส์นี้ถูกวางไว้ในสนามแม่เหล็ก แรงดันของกระแสที่มีการไหลผ่านตัวมันจะเปลี่ยนแปลงซึ่งขึ้นอยู่กับความเข้มสนามแม่เหล็ก สควิคส์เป็นอุปกรณ์ที่มีความไวสูงสำหรับการวัดค่าสนามแม่เหล็ก สควิคส์จึงมักถูกอ้างถึงบ่อย ๆ เช่น ในแมกนีโตมิเตอร์ (magnetometer)

เมื่อเร็ว ๆ นี้ บริษัท IBM ได้ทดลองสร้างโดยใช้วัสดุการนำไฟฟ้ายิ่งยวดที่อุณหภูมิสูง ประกอบด้วยรอยต่อ thin-film โจเซฟสัน 2 ชั้น มีสภาพการนำไฟฟ้ายิ่งยวดที่ 68K โดยใช้ไนโตรเจนเหลวที่ลดความดันลงแล้วเป็นตัวหล่อเย็น

เครื่องมือสร้างภาพอวัยวะภายในร่างกาย

ในทางการแพทย์สภาพการนำไฟฟ้ายิ่งยวดถูกนำมาใช้ในเครื่องมือสร้างภาพได้แก่ เครื่อง NMR (Nuclear Magnetic Resonance) หรือ MRI (Magnetic Resonance Imaging) ซึ่งสามารถสร้างภาพรายละเอียดของอวัยวะภายในภาพของ MRI คล้ายกับ CAT (Computerized Axial Tomography scanning) เป็นระบบที่ใช้ข้อมูลจากรังสีเอ็กซ์ในหลาย ๆ มุม แต่ CAT ไม่มีความไวต่อเนื้อเยื่ออ่อน และต้องใช้ในการแผ่รังสีซึ่งมีอันตรายต่อร่างกาย ส่วน MRI นั้นมีความไวสูงมากกับเนื้อเยื่ออ่อน และไม่ต้องการการแผ่รังสี เพราะใช้สนามแม่เหล็กแรง ๆ ที่สร้างขึ้นโดยขดลวดสนามแม่เหล็กไฟฟ้าการนำไฟฟ้ายิ่งยวด

หลักการMRI

เมื่อร่างกายของคนถูกฉายด้วยสนามแม่เหล็กนั้น โปรตรอนในน้ำและอนุภาคอื่น ๆ จะเรียงตัวให้มีความสัมพันธ์กับสนามแม่เหล็ก จากนั้นจะป้อนพลังงานความถี่วิทยุที่ความถี่ที่ตรงกันที่เหมาะสมเพื่อทำให้โปรตรอนถูกกระตุ้น เมื่อลดการป้อนพลังงานลง โปรตรอนจะกลับมายังสถานะเดิมและคายพลังงานออกมา พลังงานนี้จะถูกตรวจจับและประมวลผลด้วยคอมพิวเตอร์แล้วนำมาสร้างภาพ อุปกรณ์ MRI ปัจจุบันใช้กันอย่างแพร่หลายทั่วโลก นอกจากนี้ MRI ยังสามารถใช้เป็นเครื่องมือการไหลของเลือดในบริเวณศีรษะและคอ โดยไม่มีผลกระทบต่อคนไข้ ทำให้สะดวกในการวินิจฉัยโรคที่เกี่ยวกับเส้นโลหิตในสมองและระบบประสาท การใช้ MRI ร่วมกับการวิเคราะห์ทางเคมีเพื่อตรวจเนื้อเยื่อหัวใจ เพื่อรักษาผู้ป่วยโรคหัวใจ



รูปที่ 1.8 แสดงรูปการสแกนให้เห็นภายในศีรษะ และกระดูกสันหลังโดยเครื่อง MRI

1.3.4 การคมนาคม

สภาพการนำไฟฟ้ายิ่งยวดสามารถนำมาใช้กับการคมนาคมได้หลายทาง แม่เหล็กตัวนำไฟฟ้ายิ่งยวดสามารถใช้กับรถไฟพิเศษที่วิ่งเหนือราง สามารถเคลื่อนที่ไปได้เร็วมาก มอเตอร์ตัวนำไฟฟ้าก็จะถูกนำไปใช้ในเรือและเรือดำน้ำ

รถไฟแมกเลฟ (Maglev Trains) เป็นคำย่อของ Magneticallu Levitated เป็นรถไฟที่มีความเร็วสูงมาก มันจะลอยอยู่เหนือรางประมาณ 4 นิ้ว บนเบาะรองแม่เหล็ก ซึ่งทำให้ไม่มีความเสียดทานที่ล้อมาจำกัดความเร็ว รถไฟแมกเลฟใช้กฎแม่เหล็กธรรมดา คือ ขั้วของแม่เหล็กเหมือนกัน ผลักกันระบบของแม่เหล็กไฟฟ้าที่เปลี่ยนแปลงซึ่งขึ้นกับการออกแบบแม่เหล็กส่วนหนึ่ง ถูกนำไปใช้เพื่อยกตัวรถไฟ และอีกส่วนถูกใช้เพื่อการขับเคลื่อนทางทิศทางการที่ต้องการในรถไฟแมกเลฟของญี่ปุ่นนั้นได้ใช้ตัวนำไฟฟ้ายิ่งยวดอุณหภูมิต่ำ ซึ่งต้องมีอุปกรณ์ทำความเย็นขนาดใหญ่ และมีค่าใช้จ่ายสูง เมื่อมีตัวนำไฟฟ้ายิ่งยวดอุณหภูมิสูง ก็จะสามารถลดอุปกรณ์ทำความเย็นที่หนักมากนี้ได้ ตัวนำไฟฟ้ายิ่ง

ขาดคุณสมบัติสูงระยะหลังนี้ใช้ระบบทำความเย็นจากไนโตรเจนเหลวก็พอเพียง แต่มันก็ยังมีปัญหาด้านคุณสมบัติบางอย่างที่ยังจำกัด

1.3.5 การทหาร

การใช้ประโยชน์ในด้านการทหารก็เกี่ยวข้องกับหลักการต่าง ๆ ที่กล่าวมาแล้วงานวิจัยในด้านการทหาร ยกตัวอย่างเช่น มอเตอร์ไฟฟ้าที่ใช้ตัวนำไฟฟ้ายิ่งยวด สามารถนำไปใช้ไ้บนเรือรบทหาร และเรือดำน้ำ เรือขนาดเล็กที่ใช้เครื่องยนต์ซึ่งมีส่วนประกอบตัวนำไฟฟ้ายิ่งยวด อุณหภูมิต่ำได้เคยถูกสร้างขึ้นทดสอบ เพื่อเป็นพื้นฐานสำหรับใช้ตัวนำไฟฟ้ายิ่งยวดอุณหภูมิสูง

Rial guns หรือตัวขับมวล ใช้เพื่อเร่งลูกกระสุนปืนใหญ่เพื่อให้ความเร็วสูงมาก หลักการง่าย ๆ คือ กระสุนจะถูกเร่งอย่างทันทีตามทางที่ใช้วงแหวนสนามแม่เหล็กไฟฟ้าตัวนำไฟฟ้ายิ่งยวด Rial guns นี้อาจจะถูกนำไปติดตั้งบนรถถัง หรือเรือ นอกจากนี้ก็ยังมี Lasers และอุปกรณ์พวกตัวตรวจจับสนามแม่เหล็ก เป็นต้น

จากที่กล่าวมาแสดงให้เห็นว่าตัวนำไฟฟ้ายิ่งยวดมีความสำคัญมาก สามารถถูกนำไปใช้งานได้กว้างขวางและนับว่าเป็นเทคโนโลยีสมัยใหม่ที่กำลังจะเข้ามาแทนที่เทคโนโลยีปัจจุบันสภาพการนำไฟฟ้ายิ่งยวดมีการค้นคว้าและค้นพบขยายวงกว้างออกไปทั่วโลกขณะที่นักวิทยาศาสตร์เร่งศึกษาการเปลี่ยนแปลงที่ค้นพบได้ใหม่ ๆ ในแต่ละวัน วิศวกรก็กำลังพยายามเปิดช่องทางเข้าสู่เทคโนโลยีตัวนำไฟฟ้ายิ่งยวดเพื่อการใช้งาน บริษัทเอกชนต่าง ๆ กำลังมองหาโอกาสและช่องทางการค้าที่เกี่ยวข้อง ดังนั้นการแข่งขันระหว่างห้องปฏิบัติการ บริษัทและนักวิจัยจึงเพิ่มมากขึ้น

การพัฒนาตัวนำไฟฟ้ายิ่งยวดเพื่อให้ใช้ได้ที่อุณหภูมิห้องจะเป็นสิ่งที่เป็ประโยชน์กับอุตสาหกรรมเทคโนโลยีการนำไฟฟ้ายิ่งยวดเป็นอย่างมาก ซึ่งห้องปฏิบัติการหลายแห่งกำลังศึกษาและรายงานอุณหภูมิที่สูงขึ้นเรื่อย ๆ เพื่อพยายามสร้างตัวนำไฟฟ้ายิ่งยวดที่อุณหภูมิห้องจริง ๆ นอกจากนี้ความพยายามส่วนมากยังมุ่งตรงไปที่การพัฒนาประยุกต์ใช้งานสภาพการนำไฟฟ้ายิ่งยวดอุณหภูมิสูง

บทที่ 2

คุณสมบัติทางฟิสิกส์ที่สำคัญของ SUPERCONDUCTOR

2.0 สภาพการนำไฟฟ้ายิ่งยวด (Superconductivity)

การที่ตัวนำยิ่งยวด จะคงสภาพการเป็นตัวนำไฟฟ้ายิ่งยวดได้นั้น ต้องอยู่ภายใต้คุณสมบัติ 3 ประการ ดังต่อไปนี้

1. กระแสที่ป้อนให้เพื่อการ Bias ให้ทำงานต้องน้อยกว่าหรือเท่ากับ กระแสวิกฤต (Critical Current)

$$I_a \leq I_c$$

เมื่อ I_c คือค่ากระแส Bias สูงสุดที่เริ่มทำลายสภาพความเป็นตัวนำยิ่งยวด ให้กลายเป็นตัวนำธรรมดา

2. สนามแม่เหล็กที่ป้อนให้แก่ S.C. ต้องน้อยกว่าหรือเท่ากับสนามแม่เหล็กวิกฤต (Critical Magnetic field)

$$H_a \leq H_c$$

เมื่อ H_c คือค่าสนามแม่เหล็กสูงสุดที่เริ่มจะทำลายสภาพความเป็นตัวนำยิ่งยวด

3. อุณหภูมิที่ใช้ต้องน้อยกว่าหรือเท่ากับอุณหภูมิวิกฤต (Critical Temperature)

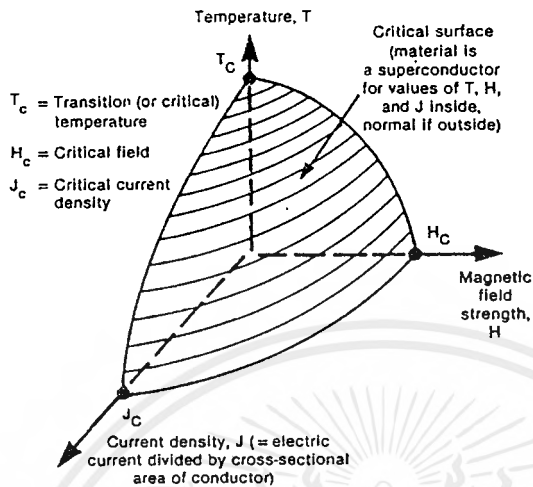
เมื่อ T_c คือค่าอุณหภูมิสูงสุดที่เริ่มจะทำลายสภาพความเป็นตัวนำยิ่งยวด

การทำลายสภาพความเป็นตัวนำไฟฟ้ายิ่งยวด สามารถทำได้โดยให้

$$I_a > I_c$$

$$H_a > H_c$$

$$T_a > T_c$$



รูปที่ 2 T_c - H_c - J_c Characteristic ของ S.C.

สภาพการนำไฟฟ้ายิ่งยวด (Superconductivity) เป็นปรากฏการณ์ที่เกิดขึ้นในโลหะ สารกึ่งตัวนำและสารประกอบต่าง ๆ ที่อุณหภูมิต่ำ ๆ ทำให้สภาพความต้านทานทางไฟฟ้าเป็นศูนย์ทันที อุณหภูมิที่ทำให้ความต้านทานไฟฟ้าเป็นศูนย์ หรือเกิดการเปลี่ยนสถานะ เรียกว่า อุณหภูมิวิกฤต (critical temperature) และสารที่มีการเปลี่ยนสถานะ เรียกว่า ตัวนำไฟฟ้ายิ่งยวด (Superconductor)

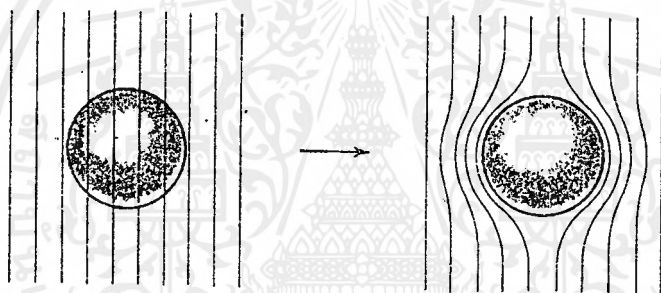
มีการศึกษาสมบัติทางไฟฟ้าในสภาพนำไฟฟ้ายิ่งยวดพบว่า ความต้านทานทางไฟฟ้ามีค่าเป็นศูนย์ หรือเกือบจะเป็นศูนย์ และได้สังเกตกระแสไฟฟ้าที่ไหลในวงแหวนตัวนำไฟฟ้ายิ่งยวดตลอดระยะเวลา มากกว่าหนึ่งปี ปรากฏว่ามันยังคงไหลอยู่เช่นเดิม เรียกกระแสไฟฟ้าที่ไหลในวงแหวนเป็นกระแสไฟฟ้าคงสภาพ (persistent current) FILE และ MILLS ได้ทำการทดลองและวัดเวลาสลายตัว (decay time) ของกระแสไฟฟ้าโดยใช้วิธีอินทิเกรตด้วยแม่เหล็กนิวเคลียร์ (nuclear magnetic resonance) วัดสนามแม่เหล็กสัมพันธ์กับกระแสยิ่งยวด (supercurrent) เขาทั้งสองสรุปว่า เวลาสลายตัวของกระแสยิ่งยวดนี้มีไม่น้อยกว่าหนึ่งแสนปี

การศึกษาสมบัติทางสนามแม่เหล็กในตัวนำไฟฟ้ายิ่งยวด มีผลมากเหมือนกับสมบัติทางไฟฟ้า กล่าวคือ ตัวนำไฟฟ้ายิ่งยวดเมื่ออยู่ในสนามแม่เหล็กอ่อน ๆ มันจะประพฤติตัวเหมือนกับสารแม่เหล็กไดอา (diamagnetic) อย่างสมบูรณ์ทำให้สนามแม่เหล็กภายในเป็นศูนย์ โดยผลึกความเข้ม

ของเส้นแรงแม่เหล็กออกจากตัวมันทันทีเมื่อเราลดอุณหภูมิลงผ่านอุณหภูมิวิกฤต ปรากฏการณ์นี้เรียกว่า ปรากฏการณ์ไมส์เนอร์ (Meissner effect) ดังแสดงในรูปที่ 2.3

2.1 การเกิดสภาพ DIAMAGNETIC ของตัวนำไฟฟ้ายิ่งยวด

สถานะการนำไฟฟ้ายิ่งยวด เป็นสถานะที่อิเล็กตรอนการนำของโลหะมีระเบียบความเป็นระเบียบนี้อยู่ในลักษณะของอิเล็กตรอนเป็นคู่ ๆ อิเล็กตรอนจะเป็นระเบียบเมื่ออุณหภูมิต่ำกว่าอุณหภูมิวิกฤต และมันจะไม่เป็นระเบียบเมื่ออยู่เหนืออุณหภูมิวิกฤต นอกจากนี้สภาพการนำไฟฟ้ายิ่งยวด สามารถเกิดขึ้นในธาตุบริสุทธิ์ที่เป็นโลหะสารประกอบระหว่างโลหะกับสารกึ่งตัวนำนอกจากนี้ยังเกิดในสารประกอบพวกเซรามิก (ceramics)



รูปที่ 2.1 แสดงปรากฏการณ์ DIAMAGNETIC ของตัวนำไฟฟ้ายิ่งยวดทรงกลมที่วางอยู่ใน

สนามแม่เหล็กขณะที่อุณหภูมิต่ำกว่าอุณหภูมิวิกฤต จะเห็นว่าเส้นแรงแม่เหล็ก (B) ถูกผลักออกจากตัวนำไฟฟ้ายิ่งยวดทรงกลมทันที

ช่วงอุณหภูมิวิกฤตที่ทำให้เกิดสภาพการนำไฟฟ้ายิ่งยวด ซึ่งปัจจุบันทำได้สูงถึง $T_c = 155K$ สำหรับสารประกอบ Y-Ba-Cu-O-F ซึ่งเป็นพวกเซรามิก ต่อมาสร้างเป็นฟิล์มบางซึ่งเป็นผลึกเดี่ยวของ $SrTiO_3$ นอกจากนี้ยังมีพวกสารประกอบ อิทเทรียมแบเรียมคิวเปรต ($Y_1 Ba_2 Cu_3 O_{9-x}$) มีอุณหภูมิวิกฤตที่ 91K สำหรับสารกึ่งตัวนำจะมีอุณหภูมิต่ำ บางตัวต่ำถึง 0.01K โลหะบางตัวไม่สามารถเกิดสภาพการนำไฟฟ้ายิ่งยวดได้ ถึงแม้ที่อุณหภูมิต่ำกว่า 1K เช่น Li, Na, K ได้เคยมีการทดลองโดยการลดอุณหภูมิต่ำกว่า 0.08K, 0.09K และ 0.08K ตามลำดับ โลหะทั้งสามก็ยังคงเป็นสารตัวนำธรรมดา ทำนองเดียวกัน Cu, Ag และ Au ได้ถูกทำการทดลองจนอุณหภูมิต่ำกว่า 0.05K, 0.35K และ 0.05K ธาตุทั้งสามยังคงเป็นสารตัวนำธรรมดา จากการคำนวณทางทฤษฎีทำนายไว้ว่า ธาตุโซเดียมและโปตัสเซียมจะกลายเป็นสารตัวนำไฟฟ้ายิ่งยวดตลอดทั้งก้อน จะต้องมีอุณหภูมิต่ำกว่า $10^{-5} K$ แต่ซีเซียม (Cesium) เป็นสารตัวนำไฟฟ้ายิ่งยวดที่ $T_c = 1.5K$ ความดัน 110 กิโลบาร์ จากการสังเกตพบว่าธาตุที่มีโมเมนต์แม่เหล็กของ

เอกสารนี้เป็นเอกสารที่สงวนไว้สำหรับการใช้งานเพื่อการศึกษาเท่านั้น ไม่อนุญาตให้นำไปใช้ประโยชน์ด้านการค้าไม่ว่ากรณีใดๆ ทั้งสิ้น อีกทั้งห้ามมิให้คัดแปลงเนื้อหาและต้องอ้างอิงถึงเจ้าของเอกสารทุกครั้งที่มีการนำไปใช้

อะตอม (atomic magnetic moment) ซึ่งเป็นพวกที่มีอิเล็กตรอนสปินไม่จับคู่ ไม่เป็นสารตัวนำไฟฟ้ายิ่งยวด ส่วนพวกที่เป็นตัวนำที่ดึ้นนั้นทำเป็นตัวนำไฟฟ้ายิ่งยวดได้ไม่ดี และมีอุณหภูมิวิกฤตต่ำมาก สำหรับสารประกอบของโลหะ จะทำให้เป็นสารตัวนำไฟฟ้ายิ่งยวดได้ง่ายกว่าพวกธาตุบริสุทธิ์

2.2 ปฏิกิริยาการไร้ความต้านทานไฟฟ้า (ZERO RESISTANCE EFFECT)

เมื่อวัสดุสารเกิดสภาพการนำไฟฟ้ายิ่งยวดขึ้น ขณะที่อุณหภูมิของวัสดุนั้นต่ำกว่า อุณหภูมิวิกฤตซึ่งเป็นอุณหภูมิที่ทำให้เกิดสภาพการนำไฟฟ้ายิ่งยวดของวัสดุนั้น ๆ ทำการทดลอง วัดค่าความต้านทาน จะได้ค่าที่เป็นศูนย์หรือประมาณศูนย์ความต้านทานไฟฟ้าในสารตัวนำจะเป็นไปตามสมการที่ 2.1

$$\rho = m / ne^2 \tau(t) \quad (2.1)$$

โดยที่ ρ = ความต้านทานทางไฟฟ้า
 n = ความหนาแน่นของจำนวนอนุภาคไฟฟ้าต่อหน่วยปริมาตร
 m = มวลของอิเล็กตรอน
 e = ประจุไฟฟ้าของอนุภาค
 $\tau(t)$ = ช่วงเวลาปลอดการชนของอิเล็กตรอน

จากสมการ ค่าความต้านทานจะลดลงเมื่ออุณหภูมิลดลง เพราะเมื่ออุณหภูมิลดลง การสั่นของโครงผลึก ซึ่งขึ้นกับอุณหภูมิจะน้อยลง การกระเจิงของอิเล็กตรอนก็จะลดลงด้วย จำนวนอิเล็กตรอนชนกันน้อยลงช่วงการชนก็จะยาวนาน ค่าความต้านทานจึงน้อยลง อุณหภูมิยิ่งต่ำมากช่วงปลอดการชนก็จะยาวนานจนแทบไม่ชนกันเลย ความต้านทานทางไฟฟ้าจึงมีค่าน้อยมากจนไม่สามารถวัดได้สำหรับตัวนำไฟฟ้ายิ่งยวดนั้นค่าความต้านทานจะหายไปอย่างรวดเร็วเมื่ออุณหภูมิต่ำกว่าอุณหภูมิวิกฤต

2.3 ปฏิกิริยาไมสเนอร์ (MEISSNER EFFECT)

ในปี พ.ศ. 2476(1933) ไมสเนอร์ (W. Meissner) และ โอเซนเฟลด์ (R. Ochsenfeld) ได้ทดลองเกี่ยวกับสภาพการนำไฟฟ้ายิ่งยวดในสนามแม่เหล็กพบตัวนำในสภาพปกติจะยอมให้สนามแม่เหล็กผ่านเข้าไปได้ แต่ถ้าอยู่ในสภาพการนำไฟฟ้ายิ่งยวดแล้วจะผลักสนามแม่เหล็กออกไปจึงเรียกปรากฏการณ์นี้ว่าปรากฏการณ์ (Meissner effect) แสดงดังรูปที่ 2.3

เอกสารนี้เป็นเอกสารที่สงวนไว้สำหรับการใช้งานเพื่อการศึกษาเท่านั้น ไม่อนุญาตให้นำไปใช้ประโยชน์ด้านการค้า ไม่ว่ากรณีใดๆ ทั้งสิ้น อีกทั้งห้ามมิให้คัดแปลงเนื้อหาและต้องอ้างอิงถึงเจ้าของเอกสารทุกครั้งที่มีการนำไปใช้



จากการทดลองของไมส์เนอร์แสดงว่าภายในตัวนำไฟฟ้ายิ่งยวดจะมีสนามแม่เหล็กเป็นศูนย์ ซึ่งเป็นคุณสมบัติของสารแม่เหล็กไดอา (diamagnetic) จากคุณสมบัติทางแม่เหล็กซึ่งมีสมการเป็น

$$B = \mu_0(H + M) \quad (2.2)$$

$$M = H\chi \quad (2.3)$$

$$\mu_r = 1 + \chi \quad (2.4)$$

B = แทนความหนาแน่นฟลักซ์แม่เหล็ก

H = แทนความเข้มสนามแม่เหล็ก

M = แทนสภาพแม่เหล็ก (magnetization)

χ = แทนค่าความอ่อนไหว (susceptibility) ของแม่เหล็ก

μ_0 และ μ_r แทนค่าความซาบซึมได้ (permeability) ของสุญญากาศและค่าความซาบซึมได้

สัมพัทธ์

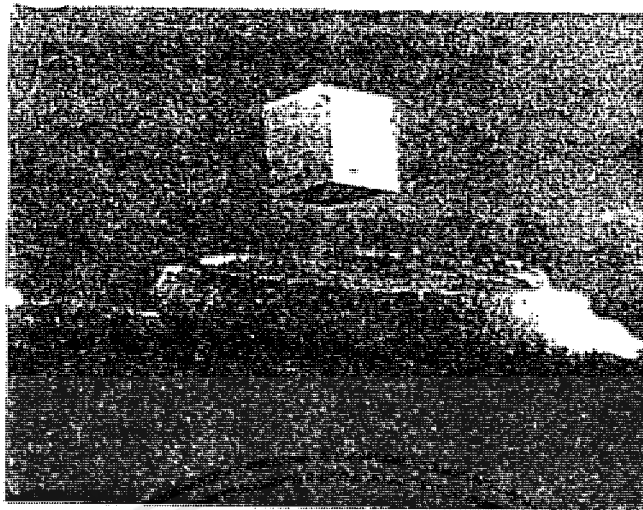
สำหรับในกรณีตัวนำไฟฟ้ายิ่งยวด สมการ (2.2), (2.3) และ 2.4 จะเขียนได้เป็น

$$M = -H \quad (2.5)$$

$$\chi = -1 \quad (2.6)$$

$$\mu_r = 0 \quad (2.7)$$

จากการที่ตัวนำไฟฟ้ายิ่งยวด แสดงอำนาจแม่เหล็กไดอาตัวเอง จึงทำให้ตัวนำไฟฟ้ายิ่งยวดมีคุณสมบัติทางไฟฟ้าแม่เหล็ก แตกต่างไปจากตัวนำธรรมดา คือ พิจารณาวงแหวนตัวนำธรรมดา และวงแหวนตัวนำไฟฟ้ายิ่งยวดขนาดเท่ากันวางในสนามแม่เหล็กภายใต้เงื่อนไขเดียวกันพบว่าเมื่อหยุดผ่านสนามแม่เหล็กเข้าไปวงแหวนตัวนำไฟฟ้ายิ่งยวดจะสร้างสนามแม่เหล็กขึ้นมาเองซึ่งเกิดจากกระแสไฟฟ้าเหนี่ยวนำที่ไหลวนในวงแหวนสำหรับวงแหวนตัวนำธรรมดา จะไม่ปรากฏสนามแม่เหล็กเลย



รูปที่ 2.3 แสดงการเกิดปรากฏการณ์ MEISSNER EFFECT

2.4 ปรากฏการณ์กระแสคงสภาพในวงแหวนตัวนำไฟฟ้ายิ่งยวด (PERSISTENT CURRENT EFFECT)

พิจารณาจากโลหะรูปวงแหวนถูกวางอยู่ในสนามแม่เหล็กที่มีค่าความหนาแน่นฟลักซ์ (B) ซึ่งเปลี่ยนแปลงตามเวลา อันเป็นผลทำให้เกิดกระแสไฟฟ้า I ไหลวนในวงแหวนนั้น

โดยจะเป็นไปตามกฎของเลนซ์ (Len's law) ที่เขียนเป็นสมการได้ว่า

$$-A(dB/dt) = RI + L(dI/dt) \quad (2.8)$$

โดยแทนที่

R แทนค่าความต้านทานของวงแหวน

L แทนค่าความเหนี่ยวนำ (inductance) ของวงแหวน A แทนพื้นที่หน้าตัดภายในวงแหวน

สมการ (2.8) ยังคงเป็นจริงในกรณีที่ไม่มีสนามแม่เหล็กภายนอก ซึ่งเขียนสมการได้เป็น

$$0 = RI + L(dI/dt) \quad (2.9)$$

ถ้าให้ I_0 แทนค่ากระแสไฟฟ้าเริ่มต้น คำตอบของสมการ (2.9) จะเป็น

$$I = I_0 \exp(-Rt/L) \quad (2.10)$$

จากสมการ (2.10) จะเห็นว่ากระแสไฟฟ้าที่ไหลวนในวงแหวนจะลดลงแบบเอกซ์โปเนนเชียล แต่ถ้าวงแหวนเกิดสภาพการนำไฟฟ้ายิ่งยวด ที่มีค่าความต้านทานไฟฟ้าเป็นศูนย์ สมการ (2.10) ก็จะเขียนได้เป็น

$$I = I_0 \quad (2.11)$$

จากสมการ (2.11) จะเห็นว่ากระแสไฟฟ้าที่ไหลวนในวงแหวนจะคงที่ตลอดเวลา เรียกกระแสไฟฟ้าคงสภาพ (persistent current) เนื่องจากกระแสไฟฟ้าที่ไหลวนจะก่อให้เกิดสนามแม่เหล็กขึ้น ซึ่งฟลักซ์แม่เหล็กที่เกิดขึ้นจะมีค่าเท่ากับ LI ในกรณีที่ไม่มีสนามแม่เหล็กภายนอกด้วย ฟลักซ์แม่เหล็กทั้งหมดที่ผ่านภายในวงแหวนจะเป็น

$$\phi = AB + LI \quad (2.12)$$

ดิฟเฟอเรนเชียลสมการ (2.12) เทียบกับเวลาจะได้

$$(d\phi/dt) = -A(dB/dt) + L(dI/dt) \quad (2.13)$$

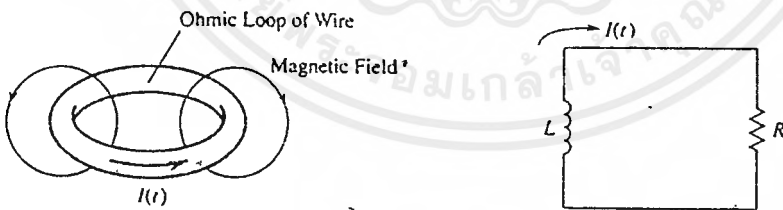
จากสมการ (2.8) และสมการ (2.13) จะได้

$$(d\phi/dt) = -RI \quad (2.14)$$

เมื่อวงแหวนอยู่ในสภาพการนำไฟฟ้ายิ่งยวด สมการ (2.14) จะเขียนได้เป็น

$$(d\phi/dt) = 0$$

แสดงว่า $\phi = \text{ค่าคงที่}$



รูปที่ 2.4 CURRENT LOOP

2.5 ทฤษฎีจุดภาคของการนำไฟฟ้ายิ่งยวด

เนื่องจากสภาพการนำไฟฟ้า เป็นพฤติกรรมของความคล่องตัวในการเคลื่อนที่ของอิเล็กตรอนในเนื้อสาร สำหรับสภาพการนำไฟฟ้ายิ่งยวดก็เช่นเดียวกัน คือ จะเป็นพฤติกรรมของอิเล็กตรอนที่พิเศษไปกว่าอิเล็กตรอนธรรมดา ซึ่งสามารถเคลื่อนที่ผ่านโลหะไปโดยปราศจากการกีด

ขวางทุกชนิด ในการอธิบายพฤติกรรมของอิเล็กตรอนพิเศษ ในระดับจุลภาคนี้อาศัยกฎทางไฟฟ้าแม่เหล็ก (electromagnetism) และกฎทางอุณหพลศาสตร์เป็นพื้นฐาน

2.5.1 ทฤษฎีของลอนดอน (London Theory)

ในปี พ.ศ. 2477 สองพี่น้องตระกูลลอนดอน (F. London and H. London) ได้ตั้งทฤษฎีสำหรับอธิบายสภาพการนำไฟฟ้ายิ่งยวดขึ้น โดยพิจารณาการเคลื่อนที่ของอิเล็กตรอนในตัวนำไฟฟ้ายิ่งยวดเมื่ออยู่ในสนามไฟฟ้า E ซึ่งจะมีสมการของการเคลื่อนที่ที่เป็น

$$m (dv/dt) = eE \quad (2.15)$$

เมื่อ m แทนมวลของอิเล็กตรอน

e แทนประจุไฟฟ้าของอิเล็กตรอน

v แทนความเร็วของอิเล็กตรอน

t แทนเวลา

ความหนาแน่นกระแสไฟฟ้า (current density) ที่เกิดจากการเคลื่อนที่ของอิเล็กตรอน จะเป็น

$$J = nev \quad (2.16)$$

เมื่อ J แทนความหนาแน่นกระแสไฟฟ้า

n แทนความหนาแน่นของอิเล็กตรอน

ดิฟเฟอเรนเชียล สมการ (2.16) เทียบกับเวลา t แล้วแทนค่า v ในสมการ (2.15) จะได้

$$dJ/dt = (ne^2/m)E \quad (2.17)$$

ความเข้มสนามแม่เหล็ก ที่เกิดจากการเคลื่อนที่ของอิเล็กตรอนในสนามไฟฟ้าจะสามารถหาได้จากสมการของแมกซ์เวลล์ (Maxwell ' equation) คือ

$$\mu_0 (dH/dt) = -\nabla \times E \quad (2.18)$$

$$\text{และ } \nabla \times H = J + (dD/dt) \quad (2.19)$$

$$\text{และ } \nabla \times H = 0 \quad (2.20)$$

(dD/dt) แทนกระแสการขจัด (displacement current)

สำหรับในตัวนำไฟฟ้ายิ่งยวด ค่ากระแสการขจัดมีค่าน้อยกว่าค่าความหนาแน่นกระแสไฟฟ้าอยู่มาก ๆ ดังนั้น สมการ (2.19) จึงเขียนได้เป็น

$$\nabla \times H = J \quad (2.21)$$

เอกสารนี้เป็นเอกสารที่สงวนไว้สำหรับการใช้งานเพื่อการศึกษาเท่านั้น ไม่อนุญาตให้นำไปใช้ประโยชน์ด้านการค้าไม่ว่ากรณีใดๆ ทั้งสิ้น อีกทั้งห้ามมิให้คัดแปลงเนื้อหาและต้องอ้างอิงถึงเจ้าของเอกสารทุกครั้งที่มีการนำไปใช้

แทนค่า E จากสมการ (2.17) ในสมการ (2.18)

$$(dH/dt) = - \{ (m/\mu_0 n e^2) \} \cdot \nabla_x (dJ/dt) \quad (2.22)$$

แทนค่า J จากสมการ (2.21) ในสมการ (2.22)

$$(dH/dt) = - m/\mu_0 n e^2 \cdot \nabla_x \nabla_x dH/dt \quad (2.23)$$

อินทิเกรตสมการ (2.23) จะได้

$$H = - m/\mu_0 n e^2 \cdot \nabla_x \nabla_x H \quad (2.24)$$

จากกฎทางเวกเตอร์วิเคราะห์ (vector analysis) ที่ว่า

$$\nabla_x \nabla_x H = \nabla (\nabla \bullet H) - \nabla^2 H \quad (2.25)$$

จากสมการ (2.20) , (2.24) และ (2.25) จะได้

$$H = (m/\mu_0 n e^2) \cdot \nabla^2 H \quad (2.26)$$

ในกรณีของ 1 มิติ (2.26) จะเขียนได้เป็น

$$H = (m/\mu_0 n e^2) \cdot d^2 H/dx^2$$

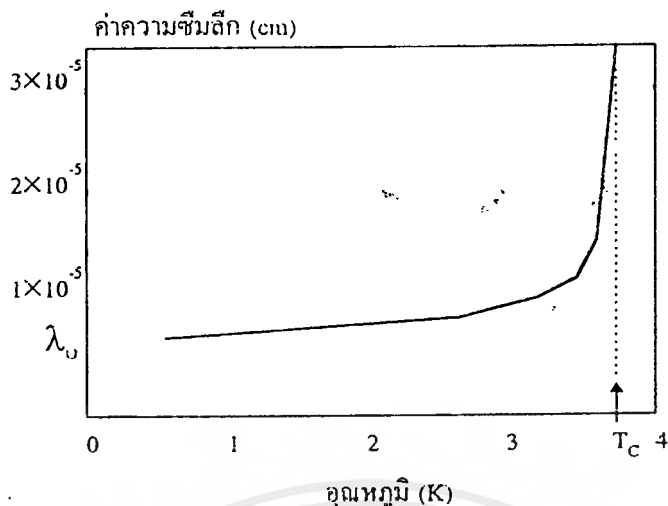
$$\text{หรือ } d^2 H/dx^2 = H/\lambda^2 \quad (2.27)$$

$$\text{โดย } \lambda = [(m/\mu_0 n e^2)]^{1/2} \quad (2.28)$$

คำตอบที่สอดคล้องกับสมการ (2.27) จะเขียนได้เป็น

$$H = H_0 \exp (-x/\lambda) \quad (2.29)$$

สมการ (2.29) เรียกว่า สมการลอนดอน (London equation) ซึ่งจะเป็นว่าค่าความเข้มของสนามแม่เหล็กที่ซึมเข้าไปในตัวนำไฟฟ้ายิ่งยวดจะลดลงแบบเอกโปเนนเชียล ตามความลึกจากผิวเข้าไป



รูปที่ 2.2 การผันแปรของค่าความซึมลึกตามอุณหภูมิ

ค่า λ จากสมการ (2.28) เรียกว่า ค่าความซึมลึกของลอนดอน (London penetration depth) ซึ่งเป็นระยะทางเฉลี่ยที่สนามแม่เหล็กสามารถซึมเข้าไปในตัวนำไฟฟ้ายิ่งยวดได้ สำหรับตัวนำไฟฟ้ายิ่งยวดที่มีค่าน้อยกว่าค่าความหนาของตัวนำไฟฟ้ายิ่งยวด ความเข้มสนามแม่เหล็กภายในตัวนำไฟฟ้ายิ่งยวดนั้นก็จะเป็นศูนย์ซึ่งจะทำให้เกิดปรากฏการณ์ไมสเนอร์ สำหรับตัวนำไฟฟ้ายิ่งยวดที่มีค่า มากกว่าค่าความหนาแน่นของตัวนำไฟฟ้ายิ่งยวด ความเข้มสนามแม่เหล็กภายในตัวนำไฟฟ้ายิ่งยวดจะไม่เป็นศูนย์ ซึ่งจะทำให้เกิดสภาพแม่เหล็ก แต่ไม่เกิดปรากฏการณ์ไมสเนอร์ค่าความซึมลึกของตัวนำไฟฟ้ายิ่งยวดแต่ละชนิดมีค่าไม่คงที่ โดยจะแปรเปลี่ยนไปตามอุณหภูมิ

จากรูปที่ 2.2 จะเห็นว่าที่อุณหภูมิต่ำ ๆ ค่าความซึมลึกมีค่า λ_0 โดยจะเป็นค่าเฉพาะของตัวนำไฟฟ้ายิ่งยวดแต่ละชนิด และที่อุณหภูมิประมาณ 0.8 เท่า ของอุณหภูมิกวิกฤต ค่าความซึมลึกจะเพิ่มขึ้นอย่างรวดเร็ว โดยจะมีค่าเป็นอนันต์ที่อุณหภูมิกวิกฤต สมการที่สอดคล้องกับการผันแปรค่าความซึมลึกตามอุณหภูมิจะเขียนได้เป็น

$$\lambda = \lambda_0 [1 - (T/T_c)^4]^{-1/2} \quad (2.30)$$

T แทนอุณหภูมิของตัวนำไฟฟ้ายิ่งยวด

T_c แทนอุณหภูมิกวิกฤตของตัวนำไฟฟ้ายิ่งยวด

2.5.2 ทฤษฎีของ BCS (1950)

สรุปได้ดังนี้

1. อิเล็กตรอนเหนี่ยวนำใน S.C. จะมีอันตรกิริยากันเป็นคู่เรียกว่า Cooper pair อันตรกิริยานี้เรียกว่า Electron-Lattice-Electron ถ้าอิเล็กตรอนในคู่ที่มีเลขจำนวนควอนตัมต่างกัน และมี $K \uparrow \approx K \downarrow$

พลังงานของอิเล็กตรอนเหล่านี้ที่อยู่บริเวณ Fermi จะมีอันตรกิริยามากที่สุด อิเล็กตรอนที่อยู่บริเวณ Fermi มีพลังงานลดลงทำให้สถานะ Ground state และ Excite state ห่างกันมากขึ้น ซึ่งมีผลต่อสนามวิกฤต, สมบัติทางความร้อน, สมบัติทาง Magnetics

2. อันตรกิริยาของ Electron-Lattice-Electron เกิดเมื่อมีอิเล็กตรอนตัวหนึ่งทำอันตรกิริยากับ lattice และเปลี่ยนแปลงไป อิเล็กตรอนตัวที่สองเมื่อมองเห็น lattice เปลี่ยนแปลงไปมันจึงพยายามปรับตัวให้มีพลังงานต่ำลง เพื่อทำอันตรกิริยากับสนาม lattice ที่เปลี่ยนไปหรือสนาม phonon ดังนั้นอิเล็กตรอนตัวที่สองจึงมีอันตรกิริยากับอิเล็กตรอนตัวแรก โดยมีอันตรกิริยาผ่าน lattice ที่เปลี่ยนแปลงไป เนื่องจากอันตรกิริยาเป็นพลศาสตร์ ดังนั้นมวลอะตอมจึงทำให้เกิดปรากฏการณ์ Isotope

3. ความลึกการซึมซาบกับช่วงพร้อมเพียงมีความสำคัญ จากสมการ London พบว่าสนามแม่เหล็กเปลี่ยนแปลงลดลงแบบ Exponential ในปริภูมิ ดังนั้น ณ จุดศูนย์กลางของ S.C. จึงมีพฤติกรรมเป็นปรากฏการณ์ Meissner

4. อุณหภูมิวิกฤตมีความหนาแน่นอิเล็กตรอนของวงโคจรที่ระดับ Fermi เป็น $D(E_F)$ และมีพลังงานอันตรกิริยาระหว่างอิเล็กตรอนกับ lattice เป็น U ซึ่งหาได้จากความต้านทานไฟฟ้า สำหรับ $UD(E_F) \ll 1$ ทำให้ทำนายได้ว่า

$$T_c = 1.4\theta \exp[-1/UD(E_F)] \quad (2.30.1)$$

เมื่อ θ คือ Debye temperature

U คือพลังงานอันตรกิริยาเสมอ

5. Magnetic field ที่ผ่านไปในวงแหวน S.C. มีลักษณะเป็นควอนตัมและหนึ่งหน่วยยังผล (effective unit) ของประจุมีค่าเป็น $2e$ มากกว่าจะเป็น e สถานะ Ground state จะปรากฏเป็นคู่ของอิเล็กตรอน ดังนั้นใน flux quantization ในพจน์ของประจุ $2e$ จึงมีความสำคัญต่อทฤษฎี BCS

2.5.3 ทฤษฎีของ CHARLES BEAN (1963)

Bean ได้กำหนดรูปแบบเพื่อป้องกันการเลื่อนตำแหน่งของ Vortices ภายใน Superconductor ซึ่งเรียกว่า Pinning

สมการของ BEAN คือ

$$|\nabla \times \mathbf{B}| = \mu_0 \bar{J}_c \quad (2.31)$$

อธิบาย

กรณี SUPERCONDUCTOR แบบ type two กระแสที่ไหลที่ผิวเป็นแบบคงรูปสม่ำเสมอ แม้ว่าจะช่วยเพิ่มค่า J_c ให้มากขึ้น แต่ขณะเดียวกันมันจะส่งผลให้ vortices เกิดการเลื่อนตำแหน่งไปทำให้เกิดค่าความต้านทานขึ้นภายในตัว SUPERCONDUCTOR (S.C.) เพราะฉะนั้นค่าต่าง ๆ ที่เป็นแบบที่ใช้กันในตัวของสารแม่เหล็กสำหรับ S.C. type two ต้องถูกสร้างให้เหมาะสมเพื่อป้องกันการเลื่อนตำแหน่งของ vortices วิธีป้องกันการเลื่อนตำแหน่งของ vortices นี้เรียกว่า PINNING (การตรึง) เพื่อจะตรึง vortices ไว้ต้องเพิ่มแรงกระทำต่อ vortex ซึ่งจะมีผลให้อยู่ในตำแหน่งที่คงที่แน่นอน ช่วงรอยต่อระหว่างสภาพที่ไม่เป็น S.C. กับสภาพที่เป็น S.C. จะดึงดูด vortex ไปด้วยผลการดึงดูดทางสนามไฟฟ้าแม่เหล็กของ vortex ต่อ image ของมัน ในทางกลับกัน สนามแม่เหล็กที่ถูกป้อนให้จะส่งผลให้เกิด pressure ที่จะผลักให้ vortex เข้าไปในส่วน S.C. กรณีที่สนามที่ป้อนให้มีความมากกว่าสนามกั้นที่ผิว (H_s) ทำให้ pressure ของแม่เหล็กมีค่าสูงกว่าแรงดึงดูด เนื่องจาก boundary ทั้งนี้สนามส่วนมากที่ใช้กันจะหันมาสนใจผลของสนามที่มีค่ามากกว่าค่า H_s ซึ่งการดึงดูด ณ boundary ของสนามแม่เหล็ก จะส่งผลให้ได้ไม่นานนัก Boundary ระหว่างโลหะธรรมดาและ S.C. สามารถส่งแรงผลักต่อ vortex ถ้าย่าน normal หนาเป็น 10 เท่าของค่าความยาว coherence Free energy จะเพิ่มขึ้นในตัว S.C. ได้โดยการควมแน่นของพลังงานในส่วนปริมาตรของแกนกลาง (core)

$$\Delta G (\text{core}) = H^2 c L z \pi \mu_0 \xi^2 / 2 \quad (2.32)$$

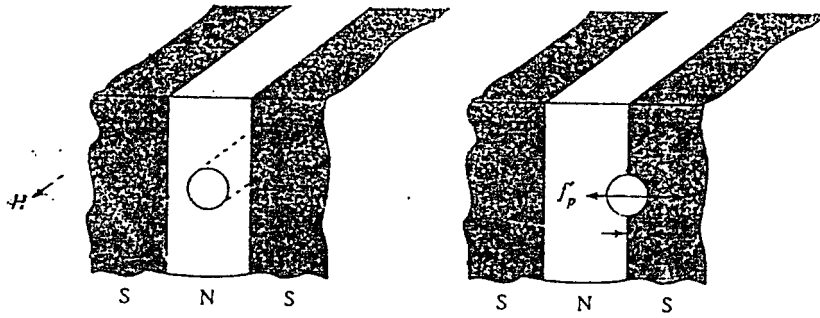
เมื่อ $\Delta G (\text{core}) =$ free energy เนื่องจากผลของ core,

$Lz =$ ความยาวของ core

$\mu_0 =$ permeability ของอากาศ มีค่าเท่ากับ $4\pi \times 10^{-7}$ H/m

$\xi =$ coherence length

ระบบสามารถลดระดับ free energy ของตัวมันให้ต่ำลงโดยให้ vertex อยู่ในย่าน normal มากกว่าให้อยู่ในย่าน S.C. ทั้งนี้เพราะ core คือสถานะ normal ซึ่งจะเก็บพลังงานถ้ามันอยู่ในย่าน normal มากกว่าที่จะต้องสร้าง normal core นอกตัว S.C. เพื่อประเมินค่าแรงเนื่องจากย่าน normal ของตำแหน่งที่มีการ pinning ค่า normal slab ของความหนาของ ในย่าน S.C. แสดงดังรูปที่ 2.5.3



รูปที่ 2.5.3 (a) ตำแหน่ง vortex อยู่ในย่าน normal

(b) ตำแหน่ง vortex อยู่ในย่าน S.C.

ผลต่างของ free energy เมื่อ vortex อยู่ระหว่าง normal (Gb) กับย่าน S.C. (Ga) แสดงด้วยสมการ

$$G_b - G_a = \frac{H^2 c L z \zeta \pi \mu_0 l}{4} \quad (2.33)$$

$$l = \text{รัศมีของ core}$$

แรงบน core เนื่องจากผล normal boundary หาจากสมการ

$$f_p = -\frac{\partial(G_b - G_a)}{\partial l} \quad (2.34)$$

$$f_p = -\frac{H^2 c L z \zeta \pi \mu_0}{4} \quad (2.35)$$

ค่า f_p นี้จะคิดลบเพื่อแสดงว่าเป็นการดึง vortex เข้าไปอยู่ในย่าน normal กรณีที่มี boundary มาก จะคิดในรูปแรง pinning ต่อหน่วยความยาวของ vortex (f'_p)

$$|f_p| = \frac{\phi_0^2}{32\pi\mu\lambda^2\xi} \quad (2.36)$$

$$\lambda = \text{London penetration depth}$$

เมื่อความหนาแน่นกระแสจากภายนอก (J_{ext}) ถูกป้อนผ่านเข้าไปยัง vortex lattice ทำให้ J_c สร้างแรงเสมือนแรงลอเรนซ์ (Lorentz force) ต่อหน่วยความยาวบน vortex (f'_L)

$$f'_L = J_{ext} \times iZ \phi_0 \quad (2.37)$$

ค่า f'_L จะเป็นแรงที่มีทิศทางตรงข้ามกับ f'_p

ถ้า $f'_p > f'_L$ จะทำให้ vortex ถูกดึงให้อยู่นิ่ง สถานะนี้จะไม่มีกำลังสูญเสียในตัว S.C.

ถ้า $f'_p < f'_L$ ณ จุด J_c บางค่าส่งผลให้ vortex เริ่มเคลื่อนตำแหน่ง และเป็นสาเหตุให้เกิดกำลังสูญเสีย

ค่า J_c ถือว่าเป็นค่าบ่งบอกถึงแนวต่อระหว่างสถานะที่ไม่มีการสูญเสียใด ๆ กับสถานะที่มีการสูญเสียในตัว S.C. type two เพราะเหตุที่ vortices เป็นตัวจัดรูปแบบ lattice ในสนามแม่เหล็ก

ซึ่ง lattice เหล่านี้ จะจับตัวเหนียวแน่นมาก ดังนั้น ถ้า vortex ถูกตรึงจะส่งผลให้ vortex อื่น ๆ ถูกตรึงไว้ด้วยในทำนองเดียวกัน ถ้า vortex ถูกทำให้เคลื่อนที่ก็จะทำให้ vortex ตัวอื่นที่อยู่ใกล้เคียงเคลื่อนตำแหน่งไปด้วย ที่ต้องการอย่างแน่นอน คือ การรวมอย่างไรที่ pinning ของแต่ละ vortex ทั่วทั้ง lattice จะให้แรง pinning เฉลี่ยรวมทั้งหมดขึ้นอยู่กับขนาดและการกระจายของตำแหน่ง pinning ได้ดีเท่า ๆ กับความเหนียวแน่นของ lattice การรวมกันของแรงแต่ละแรง pinning จะทำให้ได้ค่าประมาณของขนาดสูงสุดของ J_c มากกว่าที่จะใช้วิธีพิจารณาแรง f_p ถ้าทุก ๆ vortex ถูกตรึงโดยค่า f_p ดังนั้น ผลของ J_c ควรจะอยู่ที่ค่า $J_c(\max)$ หรือ ณ จุด $J_c(\max)$ ค่า $f'_p = f'_L$

$$J_c(\max) = \phi_0 / 32\pi\mu_0\lambda^2\xi \quad (2.38)$$

$J_c(\max)$ สามารถอยู่ใน S.C. โดยมันจะให้พลังงานที่เพิ่มขึ้นแก่ cooper pairs มากกว่าพลังยึดเหนี่ยวของ pairs ค่าความหนาแน่นกระแสที่เรียกว่า J_{pair} ซึ่งค่านี้เท่ากับความหนาแน่นกระแส ณ core ของ vortex (J_v) และเป็นเหตุผลว่าทำไม core จึงเป็นสภาพ normal

$$J_{pair} = \phi_0 / 3\sqrt{3}\mu_0\pi\lambda^2\xi \quad (2.39)$$

จะเห็นว่า $J_c(\max)$ น้อยกว่า J_{pair} ประมาณ 10 เท่า เพื่อที่จะทำให้เกิดการ pinning ขึ้นได้ในทางทฤษฎียอมให้ค่าความหนาแน่นกระแสสูงสุดใน S.C. มีค่าได้ $(10)A/m^2$ เท่านั้น เพื่อประมาณค่า $J_c(\max)$ จึงใช้ตัวเลขที่นิยมใช้สำหรับ Nb_3Sn คือค่า

$$\lambda = 0.2 \text{ um}$$

$$\xi = 2 \text{ um}$$

$$\text{เพราะฉะนั้น } J_c(\max) = 3 \cdot 10^{11} \text{ A/m}^2$$

$$\text{หรือ } = 3 \cdot 10^7 \text{ A/cm}^2$$

ซึ่งค่านี้เป็น 10^4 เท่าของกระแสที่สามารถส่งผ่านในโลหะตัวนำชั้นดี เช่น Cu โดยพิจารณา ณ อุณหภูมิ (T_p) เดียวกัน และปราศจากการสูญเสียกำลังงานใน Cu หรือปราศจากการหลอมละลายของขดลวด เนื่องจากผลของความร้อน ค่าประมาณของ $J_c(\max)$ ถูกทำ ณ อุณหภูมิต่ำ ๆ ($T \ll T_c$) ณ T_p ใกล้เคียง T_c ค่า λ และ ξ จะมีค่าสูงมากทำให้ $J_c(\max)$ ไม่เกิดขึ้นในขณะที่ใกล้ T_c

ในสภาพที่ถูกป้อนด้วยสนามแม่เหล็กเข้าใกล้ค่า H_{c2} phase boundary ค่าความหนาแน่นของ vortices เริ่มจะ overlap เพื่อที่ว่าวัสดุทั้งหมดมีสถานะ normal ณ ความหนาแน่นนี้มีค่าพลังงานที่เป็นไปได้ยากที่จะเกิดประโยชน์สำหรับแกน vortex ที่จะอยู่ในตำแหน่ง pinning ได้ ทำให้แรงที่ทำให้เกิด pinning มีค่าเป็นศูนย์ และค่า J_c ก็มีลักษณะเดียวกันนี้ด้วย ในทางปฏิบัติ J_c ขึ้นอยู่กับผลธรรมชาติของตัวมันและการกระจายของตำแหน่ง pinning

ในตัววัสดุนั้น เช่น ตำแหน่ง pinning ที่อยู่ในโลหะที่เชื่อมสภาพถูกผสมเข้าไปเป็นองค์ประกอบของ S.C

ดังนั้น ค่าธรรมชาติของ J_c จึงขึ้นอยู่กับค่าพื้นฐานของขบวนการนำวัสดุมายใช้ทำ S.C. สำหรับค่า H_{c2} และ T_c ขึ้นกับวัสดุ แต่ไม่ขึ้นกับขบวนการสร้าง เมื่อป้อนความหนาแน่นกระแสมากกว่า J_c ทำให้ vortices เริ่มเคลื่อนตำแหน่ง (ไม่ถูก-ตรึงอีกต่อไป) เป็นสาเหตุให้เกิดการสูญเสียพลังงานในการเคลื่อนตัวของ vortex นอกจากขึ้นกับ $f'p$ และ $f'L$ แล้วยังขึ้นอยู่กับค่า viscous drag force ($f'd$)

แรงทั้งหมดของ vortex ($f'(total)$)

$$f'(total) = f'd + f'l + f'p \quad (2.40)$$

กรณีสนามถูกป้อนแนวแกน Z, ความหนาแน่นกระแสถูกป้อนแกน Y, แรงและความเร็วถูกป้อนแกน X จะได้ $f'(total) = J\Phi - f'p - \eta u_x$ (2.41)

η = drag coefficient

ในสภาวะอยู่ตัว (steady state) ค่าแรงทั้งหมดบน vortex จะมีค่าเป็นศูนย์ ความเร็วของสภาวะอยู่ตัวเมื่อ $J > J_c$ คือ

$$u(x) = (J\Phi_0 - f'p) \frac{1}{\eta} \quad (2.42)$$

ถ้า $J = J_c$ ทำให้ $u(x) = 0$, ($f'p = f'L$)

ผลการเคลื่อนตำแหน่งของ vortex ยังก่อให้เกิด voltage คือ

$$v = \frac{d\Phi}{dt} = \Phi_0 n_v h u(x) \quad (2.43)$$

n_v = vortices Density

$$v = (i-ic) R_{ff} \quad (2.44)$$

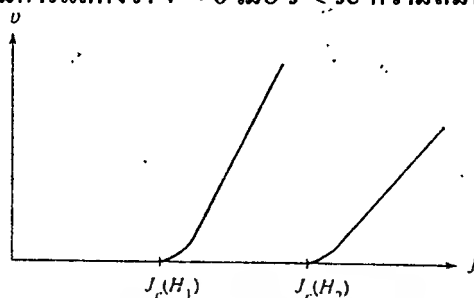
เมื่อ R_{ff} = flux flow resistance, $\rho_{ff} = 1/R_{ff}$

ค่าของ R_{ff} เกิดเมื่อไม่มีสภาวะ pinning ซึ่งสามารถเขียนสมการ voltage ใหม่ดังนี้

$$v = (J-J_c) \rho_{ff} h \quad (2.45)$$

เอกสารนี้เป็นเอกสารที่สงวนไว้สำหรับการใช้งานเพื่อการศึกษาเท่านั้น ไม่อนุญาตให้นำไปใช้ประโยชน์ด้านการค้า ไม่ว่ากรณีใดๆ ทั้งสิ้น อีกทั้งห้ามมิให้คัดแปลงเนื้อหาและต้องอ้างอิงถึงเจ้าของเอกสารทุกครั้งที่มีการนำไปใช้

เมื่อ $h =$ ความยาวของ sample ในแนวทิศทางกระแสไหล
 จากสมการแสดงว่า $v = 0$ เมื่อ $J < J_c$ ความสัมพันธ์ v - J ดังรูปที่ 2.5.3.2



รูปที่ 2.5.3.2 V-J Characteristic ของ S.C.

จากรูปจะให้กราฟ ณ voltage ต่ำ ๆ ไม่เป็น linear เพราะว่าใกล้ J_c ทำให้ $f' > f_p$

การที่กราฟไม่ linear มีผลลำบากต่อการออกแบบการทดลองเมื่อพิจารณา voltage เปลี่ยนแปลงจาก 0 ไปใน S.C. ยุกเก่า (Nb3Sn, Nb Ti) อธิบายคำว่า J_c คือ ค่าความหนาแน่นกระแสผ่าน sample ยาว 1 cm แล้วทำให้เกิด voltage drop $1 \mu v$

จากผลของความร้อนทำให้ S.C. เข้าสู่สภาวะ normal ได้ เรียกขบวนการนี้ quenching ค่า Rff ถูกกำหนดด้วยค่าความร้อนที่ให้แบบทันทีทันใด ลวด S.C. โดยปกติจะหุ้มด้วย Cu เพื่อเป็นการขนานกระแส ทั้งนี้เพราะว่า S.C. ในสภาวะ normal จะมีค่าความต้านทานมากกว่า Cu นอกจากนี้ Cu ยังนำความร้อนได้ดี

pinning ของ vortex จะมีศักยภาพใน S.C. type two แต่ยังมีปัญหา คือ การกระจายของ vortices ใน S.C. มีลักษณะอย่างไรเมื่อเกิด pinning นี้ เท่าที่รู้คือการกระจายจะไม่สม่ำเสมอทั้งภายในและภายนอก S.C.

พิจารณา slab ในสนามภายนอกด้วยสนามที่ถูกป้อนขนานกับผิวของ S.C. เมื่อสนามมากกว่า H_{c1} vortices จะเกิดภาวะทาง thermodynamic ซึ่งมีผลดีต่อการเกิดสภาพ S.C. ทำให้ vortices เข้าไปในผิวและถูกตรึงไว้ใกล้ผิว ความหนาแน่นของ vortices อธิบายด้วยความหนาแน่นเฉลี่ยของเส้นแรงแม่เหล็กบนตัว vortices ให้ชื่อว่า $\tilde{B}r$ จากกฎ Ampere $\nabla \times \tilde{B} = \mu_0 \tilde{J}$ แสดงว่า การเบี่ยงเบนของความหนาแน่นเส้นแรงแม่เหล็กจากค่าคงที่ที่สม่ำเสมอของมันจะให้กำเนิดความหนาแน่นกระแสเฉลี่ย (\tilde{J}) อย่างไม่ก็ตาม ถ้า $J < J_c$ การ pinning จะไม่แข็งแรงเท่าที่ควร CHARLES BEAN (1963) ได้กำหนดรูปแบบเพื่อให้ S.C. มีการ pinning ที่แข็งแรงมากยิ่งขึ้น ดังนี้

$$\left| \nabla \times \tilde{B} r \right| = \mu_0 \tilde{J} C \quad (2.46)$$

เพื่อให้ความหนาแน่น flux ผลิตค่า J_c อย่างสม่ำเสมอ model นี้เรียกว่า critical state models ซึ่งค่า J_c เป็นปริมาณ scalar ที่อิสระจาก J ค่า B สามารถมีค่าเพิ่มหรือลดเพื่อให้ได้ขนาดเอกสารนี้เป็นเอกสารที่สงวนไว้สำหรับการใช้งานเพื่อการศึกษาเท่านั้น ไม่อนุญาตให้นำไปใช้ประโยชน์ด้านการค้าไม่ว่ากรณีใดๆ ทั้งสิ้น อีกทั้งห้ามมิให้คัดแปลงเนื้อหาและต้องอ้างอิงถึงเจ้าของเอกสารทุกครั้งที่มีการนำไปใช้

กระแสที่เท่ากัน ดังนั้น ขนาด absolute หมายถึง B จะผลิต J_c โดยไม่ขึ้นกับทิศทางของ J และค่า B เหลือจะลดลงจากขอบผิว

$$\text{ตามสมการ} \quad \left| \frac{d\tilde{B}}{dx} z(x) \right| = u_0 \tilde{J}_0 \quad (2.47)$$

ค่า flux penetrate แสดงด้วยสมการ

$$X_0 = a - (H_0 / J_c) \quad (2.48)$$

เมื่อ X_0 แปรผกผันกับ H_0

a = ความหนาของ S.C.

H_0 = applied field

สรุป

1. แรงที่ผลต่อการเลื่อนตำแหน่งของ vortices ได้แก่
 - แรงจาก vortices ข้างเคียง
 - applied field จากภายนอก
 - แรงจาก boundary
 - Jext
 - The viscous drag force ($f'd$)
2. vortex จะเคลื่อนตัวเข้าสู่ย่าน S.C. ต้องให้ $H_{app} > H_s$ ซึ่งหมายถึง $H_{c1} > H_s$

$$\text{โดยที่ } H_s = \Phi / 4u_0 \pi \xi \lambda = H_c / \sqrt{2} \quad (2.49)$$

3. S.C. ที่มีผิวขรุขระจะทำให้ vortex เคลื่อนเข้าสู่ผิวได้ง่าย

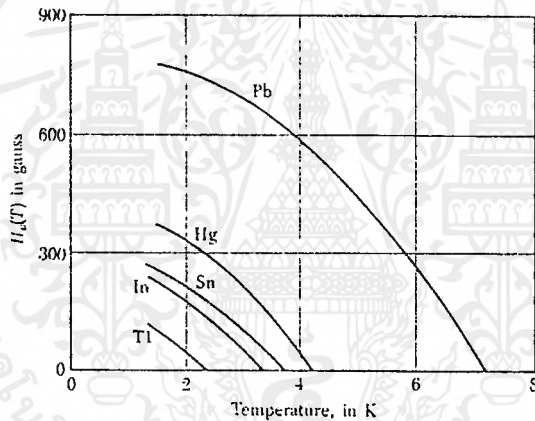
4. แรงที่ทำให้ vortex สมดุล เนื่องจากแรง vortex ข้างเคียงกับแรงจาก H_{app} ทำให้ vortices จัดเรียงตัวเป็นรูป triangular lattice ซึ่งส่งผลดีต่อความสัมพันธ์ระหว่าง \tilde{B} และ \tilde{M}

ถ้า $H_{app} > H_{c1}$ ทำให้ $B = uH$ ทำให้ B เหลือเกิดสภาพ uniform ทำให้ J_{app} ไหลผ่าน S.C. แบบ uniform ด้วยและยังทำให้ J_c ใน type one สูงขึ้นด้วย

5. Unpinning เกิดจากการกระจายตัวของ vortices ขณะเกิด pinning มีลักษณะไม่สม่ำเสมอและเกิดอยู่ไม่นาน แก้ไขโดยใช้ critical state model ของ Bean (โดยให้ B กับทุก vortex มีค่าเฉลี่ยเท่ากัน)

2.6 การทำลายสภาพการนำไฟฟ้ายิ่งยวดด้วยสนามแม่เหล็ก

การทำลายสภาพการนำไฟฟ้ายิ่งยวดวิธีหนึ่งคือ เพิ่มอุณหภูมิให้สูงกว่า T_c และอีกวิธีหนึ่ง ก็คือ เพิ่มสนามแม่เหล็กเข้าไปมาก ๆ จนกระทั่งมากกว่าสนามวิกฤต $H_c(T)$ ซึ่งมีค่าแปรตามอุณหภูมิ จะสามารถทำลายสภาพการนำไฟฟ้ายิ่งยวดได้ที่อุณหภูมิวิกฤต (T_c) ค่าของสนามวิกฤตเป็นศูนย์ คือ $H_c(T_c) = 0$ ความสัมพันธ์ของสนามวิกฤต และอุณหภูมิของธาตุต่าง ๆ ที่แสดงในรูป 2.3 มีความสัมพันธ์กันดังนี้



รูปที่ 2.6 กราฟความสัมพันธ์ระหว่างสนามแม่เหล็กวิกฤต และอุณหภูมิของธาตุต่าง ๆ

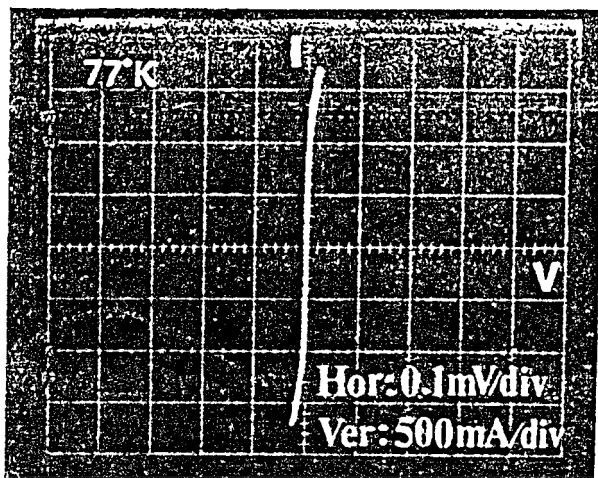
เมื่อ $T < T_c$ สนามภายนอก $H_a = 0$ เป็นสภาวะการนำไฟฟ้ายิ่งยวด

$T < T_c$ สนามภายนอก $H_c > H_a > 0$ เป็นสภาวะการนำไฟฟ้ายิ่งยวด

$T < T_c$ สนามภายนอก $H_a > H_c$ เป็นสภาวะปกติคือทำลายสภาพนำไฟฟ้ายิ่งยวด

2.7 ปรากฏการณ์ซิลบี (silbsbee effect)

คือ ปรากฏการณ์ทำลายสภาพการเป็นตัวนำไฟฟ้ายิ่งยวดด้วยกระแสที่ผ่านเข้าไปในตัวนำไฟฟ้ายิ่งยวด มีค่ามากกว่ากระแสวิกฤต ทำให้ตัวนำไฟฟ้ายิ่งยวดกลายเป็นตัวนำธรรมดา



รูปที่ 2.7 V-I ขณะเกิดปรากฏการณ์ silsbee effect

อธิบาย

เส้นกราฟในจอของออสซิลโลสโคป อยู่ในแกน Y จากนั้นค่อยเพิ่มกระแสให้ตัวนำไฟฟ้ายิ่งยวดอีก สังเกตเส้นกราฟจะค่อย ๆ เบนออกจากแกน Y แสดงว่าเกิดความต่างศักย์ขึ้นในเนื้อสารตัวนำไฟฟ้ายิ่งยวด นั่นคือ สภาพการนำไฟฟ้ายิ่งยวดเริ่มถูกทำลายแล้วดังรูป ค่ากระแสสูงสุดที่ทำให้เกิดสภาพการนำไฟฟ้ายิ่งยวดเรียกว่า กระแสวิกฤต (I_c)

ปรากฏการณ์ไอโซโทป (ISOTOPE EFFECT)

นอกจากนี้ยังมีการค้นพบปรากฏการณ์ไอโซโทป (Isotope effect) กล่าวคือ อุณหภูมิวิกฤตของสารตัวนำยิ่งยวดยิ่งแปรตามมวลไอโซโทป ในปรอท Tc เปลี่ยนแปลงจาก 4.185 K ไปเป็น 4.146 K ขณะที่มวลของอะตอมเฉลี่ย M เปลี่ยนแปลงจาก 199.5 ไปเป็น 203.4 หน่วยมวลอะตอม (atomic mass unit) อุณหภูมิของกาเรเปลี่ยนแปลงจะเปลี่ยนไปอย่างต่อเนื่องช้า ๆ เมื่อเราผสมไอโซโทปที่ต่างกันของธาตุชนิดเดียวกันเข้าด้วยกัน ผลลัพธ์จากการทดลองภายในแต่ละอนุกรมของไอโซโทปได้ความสัมพันธ์เป็นแบบของ M คือมวลของไอโซโทป

$$MaTc = \text{ค่าคงที่} ; (M\alpha = M^\alpha)$$

แต่สำหรับธาตุชนิดเดียวกัน $a_1 = a_2 = a_3 = \dots$ ค่าของ a ในธาตุต่าง ๆ ได้กำหนดในตาราง จากที่มวลของไอโซโทปขึ้นกับ Tc ทำให้เราทราบว่า การสั่นของแลตทิซและอันตรกิริยาระหว่างอิเล็กตรอนและแลตทิซต่างรวมอยู่ในสภาพนำยิ่งยวด ทฤษฎีบีซีเอสเริ่มแรกให้ผลลัพธ์ของ

$Tc \propto \theta_{Debye} \propto M^{-1/2}$ ดังนั้น $a = 1/2$ ในสมการข้างต้น แต่การมีกิริยาครอบมบระหว่างอิเล็กตรอนรวมอยู่ด้วยทำให้ความสัมพันธ์เปลี่ยนไป ไม่มีธาตุใดที่ทำให้ค่า $a = 1/2$ จริง ๆ แต่มีค่าประมาณใกล้เคียง

บทที่ 3

(SUPERCONDUCTOR FABRICATION)

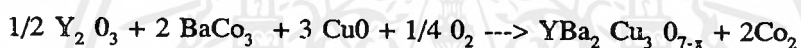
3.1 การเตรียมสารเคมีชนิด $YBa_2 Cu_3 O_{7-x}$

ณ ห้องปฏิบัติการตัวนำไฟฟ้ายิ่งยวด ศูนย์วิจัยอิเล็กทรอนิกส์ (ERC) KMITL
สารประกอบที่ใช้ในการเตรียม

1. อิทเทรียมออกไซด์ ($Y_2 O_3$) ความบริสุทธิ์ 99.99%
2. แบเรียมคาร์บอเนต ($BaCO_3$) ความบริสุทธิ์ 99.90%
3. คอปเปอร์ออกไซด์ (CuO) ความบริสุทธิ์ 99.90%...

3.2 การคำนวณปริมาณสารสัมพันธ์

จากปฏิกิริยาทางเคมีของสารประกอบทั้ง 3 เขียนสมการ ได้ดังนี้



พบว่าอัตราส่วนโดยมวลของสารประกอบจากสมการ จะได้ Y:Ba:Cu เป็น 1:2:3

มวลของอะตอมของธาตุ

จากตารางธาตุ จะได้มวลอะตอมของธาตุ คือ

$$Y = 88.905 \text{ g.}$$

$$O = 15.9994 \text{ g.}$$

$$Ba = 137.34 \text{ g.}$$

$$C = 12.01115 \text{ g.}$$

$$Cu = 63.546 \text{ g.}$$

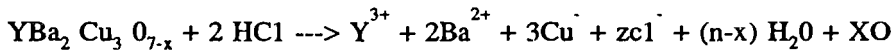
มวลของสารประกอบตั้งต้น คือ

$$Y_2 O_3 = (2 \times 88.9) + (3 \times 16) = 225.8 \text{ g/mol}$$

$$BaCO_3 = (137.34) + 12 + (3 \times 16) = 197.34 \text{ g/mol}$$

$$CuO = 63.546 + 16 = 79.5 \text{ g/mol}$$

สำหรับวิธีการหาปริมาณ oxygen ในสาร S.C. เราใช้วิธี IODOMETRIC TRITRATION ซึ่งเป็นขบวนการทางเคมีเพื่อใช้หาปริมาณ IODINE ในสารละลาย โดยใช้สารละลาย $\text{Na}_2 \text{S}_2 \text{O}_3$ ในการ TRITRAE ในการทดลอง IODINE จะเกิดจาก oxygen ที่แยกตัวออกจาก S.C. ที่ถูกละลายด้วย HCl แล้วทำปฏิกิริยากับสารละลาย KI ปริมาณของ IODINE ที่เกิดขึ้นจะมีค่าเท่ากับปริมาณ oxygen ที่ถูกใช้ไปในปฏิกิริยา ดังปฏิกิริยา



การหาน้ำหนักสารตั้งต้นเพื่อใช้ในการเตรียม

จากปฏิกิริยาเคมี มวลโมเลกุลสารตั้งต้นทั้งหมด 746.239 g.

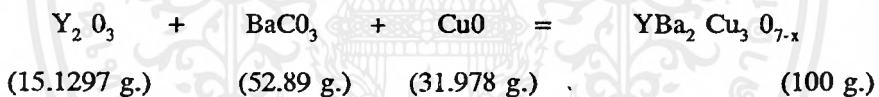
$$\text{ต้องใช้ } \text{Y}_2 \text{O}_3 = 112.904 \text{ g.}$$

ถ้าต้องใช้ $\text{YBa}_2 \text{Cu}_3 \text{O}_{7-x}$ 100 g. ต้องใช้ $\text{Y}_2 \text{O}_3 = 112.904 \times 100/746.239 \text{ g.}$

$$\therefore \text{Y}_2 \text{O}_3 = 15.1297 \text{ g.}$$

$$\therefore \text{ต้องใช้ } \text{BaCO}_3 = 314.69 \times 100/746.239 \text{ g.}$$

$$\therefore \text{ต้องใช้ } \text{CuO} = 238.63 \times 100/746.239 \text{ g.}$$



ลำดับกระบวนการสร้าง S.C. แสดงด้วยแผนผัง ดังรูปที่ 3.3

อธิบายการสร้าง

1. ชั่งสารประกอบ $\text{Y}_2 \text{O}_3$ น้หนัก 15.129 g.
 BaCO_3 น้หนัก 52.89 g.
 CuO น้หนัก 31.978 g.
2. บดผสมให้เข้ากัน โดยใช้เวลาประมาณ 1 ชั่วโมง
3. ตักสารผสมใส่กระเบื้อง ขนาด 2" x 2" แล้วนำไปเผาที่อุณหภูมิ 900°C เป็นเวลา 20 ชั่วโมง

4. นำสารที่ได้จากการเผาอบอีกครั้งและคัดเอาเหล็กสีน้ำเงินทิ้ง แล้วนำไปอัดเป็นเม็ดทรงกลมแบน ใช้แรงอัดประมาณ 4 Ton (~ 4 Ton) มีเส้นผ่าศูนย์กลาง

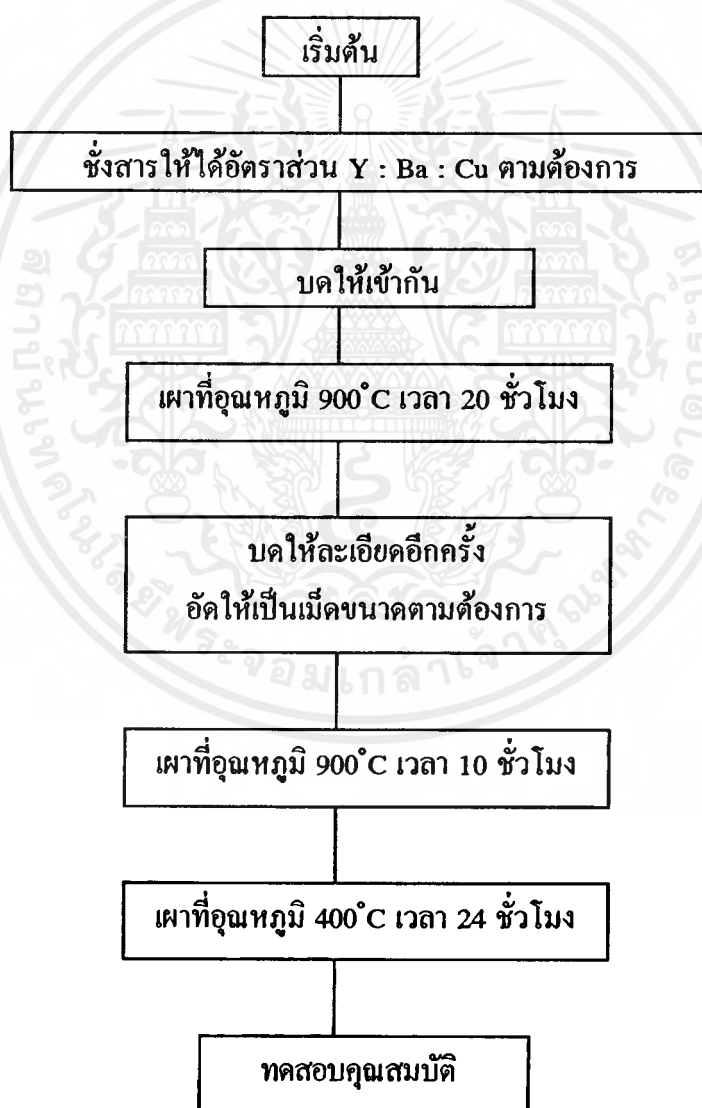
กลาง 1 cm., 3 cm., หนาประมาณ 2-3 mm.

5. นำเม็ดข้าวสารเข้าเตาเผาอีกที่ 900°C เวลา 10 ชั่วโมง
6. อบที่ 400°C เวลา 24 ชั่วโมง
7. สำเร็จขบวนการสร้าง แล้วนำไป TEST

หมายเหตุ

การอบที่อุณหภูมิ 400°C เวลา 24 ชั่วโมง นี้เป็นขั้นตอนที่จะลดความเครียดให้กับ CERAMIC เพื่อป้องกันการบิดงอ

3.8 แผนผังกระบวนการสร้าง S.C.



รูปที่ 3.8 แผนผังการสร้าง S.C.

เอกสารนี้เป็นเอกสารที่สงวนไว้สำหรับการใช้งานเพื่อการศึกษาเท่านั้น ไม่อนุญาตให้นำไปใช้ประโยชน์ด้านการค้า ไม่ว่าจะกรณีใดๆ ทั้งสิ้น อีกทั้งห้ามมิให้ตัดแปลงเนื้อหาและต้องอ้างอิงถึงเจ้าของเอกสารทุกครั้งที่มีการนำไปใช้

บทที่ 4

วงจรวัดสนามแม่เหล็กความไวสูงชนิดหัววัดตัวนำไฟฟ้ายิ่งยวด

4.1 กล่าวนำ

จากคุณสมบัติ 1-V characteristics ของ Superconductor รูปที่ 4.1 พบว่าสามารถควบคุมปริมาณแรงดัน output ของ S.C. ได้ด้วยปริมาณความหนาแน่นสนามแม่เหล็ก (B) โดยอาศัยปรากฏการณ์ Sillbee effect ที่เกิดขึ้นภายในตัวนำไฟฟ้ายิ่งยวด

เมื่อให้ Bias กระแสคงที่แก่ S.C. พบว่า V_{sc} จะแปรผันตามปริมาณ Flux Density (B) ที่ป้อนให้จากภายนอก ซึ่งถือเป็นหลักการพื้นฐานในการนำไปประยุกต์สร้างวงจรวัดสนามแม่เหล็กความไวสูงนี้ขึ้น

การพิจารณาความไว (Sensitivity) ในการวัดสนามแม่เหล็กจะสูงหรือต่ำ พิจารณาจากอัตราส่วน V_{sc}/B เมื่อ I-bias คงที่

- ถ้า V_{sc} มีค่ามากในขณะที่ให้สนามแม่เหล็กจากภายนอกปริมาณน้อย ๆ แสดงว่าอุปกรณ์หัววัดชนิดนี้มีความไวสูง
- ถ้า V_{sc} มีค่าน้อยโดยที่ป้อนสนามแม่เหล็กปริมาณมาก ๆ แสดงว่าอุปกรณ์หัววัดชนิดนี้มีความไวต่ำ

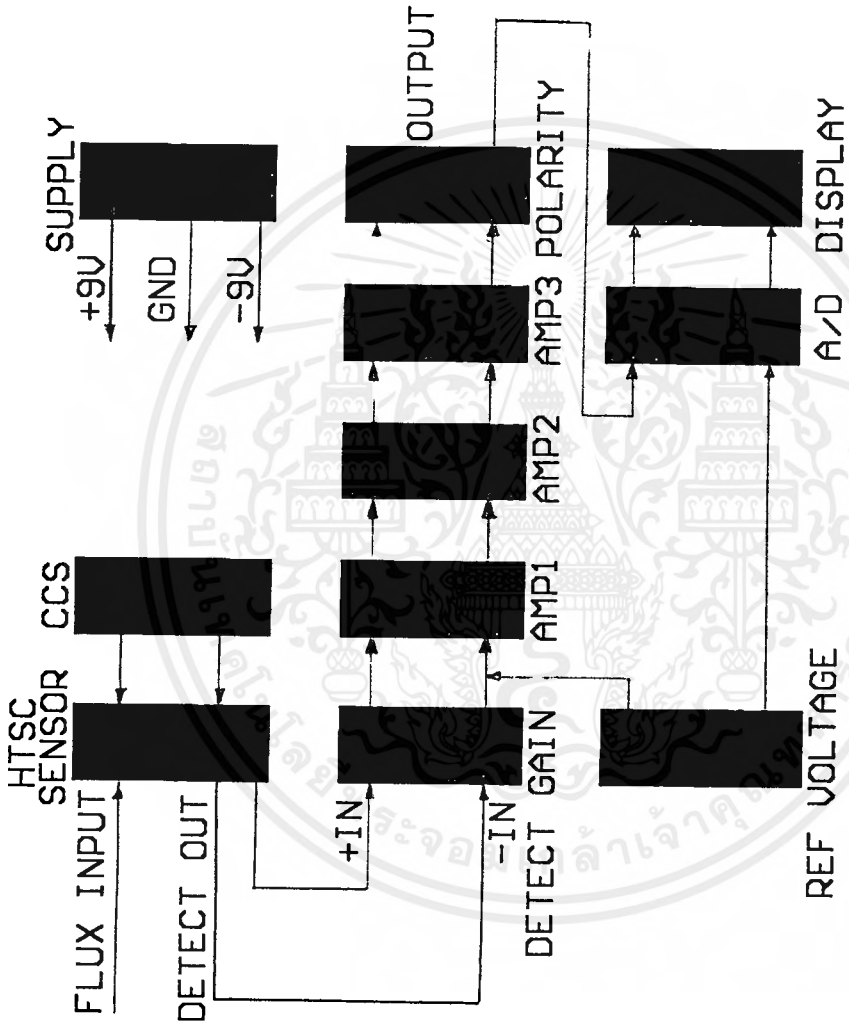
จากการศึกษาวิจัยคุณสมบัติของ Superconductor ชนิด $Yb_a_2 Cu_3 O_{7-x}$ ของศูนย์วิจัยอิเล็กทรอนิกส์ KMITL พบว่าตัวนำไฟฟ้ายิ่งยวดที่สร้างขึ้นมาได้นี้ให้ปริมาณ V_{sc} output สูงมากในขณะที่ป้อนสนามแม่เหล็กจากภายนอกในปริมาณต่ำ ๆ ซึ่งจากการทดลอง จะได้ V_{sc} ประมาณ 1 - 5 mV ต่อกระแส Bias ค่าต่ำ ๆ ประมาณ 200 mA ซึ่งค่าแรงดันขนาดนี้ถือว่ามีความสูงมากในการนำไปประยุกต์ใช้งานสำหรับโครงการนี้เราจะนำเอา V_{sc} ที่ได้มาแสดงออก Display เพื่อแสดงให้เห็นถึงปริมาณ V_{sc} ที่แปรเปลี่ยนไปตามปริมาณสนามแม่เหล็กจากภายนอกอย่างไร ดังรูปที่ 4.1.1 ซึ่งแสดง Block diagram การทำงานของวงจรวัดสนามแม่เหล็กความไวสูงชนิดหัววัดตัวนำไฟฟ้ายิ่งยวด

4.2- Block Diagram

แสดงดังรูปที่ 4.1.1

4.3 วงจรสมบูรณ์

แสดงดังรูปที่ Fig 4.3



รูปที่ 4.1.1 BLOCK DIAGRAM: MAG. SENSOR

4.4 อธิบายการทำงาน

4.4.1 HTSC SENSOR : เป็นหัววัดตัวนำไฟฟ้ายิ่งยวด ที่ได้จากขบวนการสร้าง (อธิบายในบทที่ 3) แล้วนำมาตัดเป็นรูปต่าง ๆ เพื่อให้เหมาะกับตัวแปรต่าง ๆ ที่เราจะนำไปใช้งาน และต้องมีการให้ I-Bias โดยเป็นไปตามหลักการ Four Point Probe ดังรูป

จากการวิจัยของรุ่นที่ปริญญาโทของศูนย์วิจัยอิเล็กทรอนิกส์ KMITL พบว่า รูปร่างของตัวนำไฟฟ้ายิ่งยวดมีผลต่อ I - V characteristics อย่างมาก ซึ่งพอสรุปรูปแบบของวงจรที่นิยมใช้ดังนี้

- ตัวนำไฟฟ้ายิ่งยวดรูปสี่เหลี่ยมแบบ(ก)และ(ข) ดังรูปที่4.2 จะต้องใช้ปริมาณ I - Bias และปริมาณสนามแม่เหล็กค่ามาก ๆ จึงจะทำให้เกิดปรากฏการณ์ Silsbee effect ขึ้นได้ ซึ่งถือว่าเป็นข้อเสียว่าเราจะนำหัววัดแบบสี่เหลี่ยมมาใช้งานแบบ Portable เพราะต้องออกแบบวงจรให้มีภาค Supply ที่สามารถช่วยกระแส Bias ซึ่งถือว่าเป็นการสิ้นเปลือง และผลความไวที่ได้พบว่ามีความไวต่ำ

- ตัวนำไฟฟ้ายิ่งยวด รูปสี่เหลี่ยมแบบ (ค)และ(ง) แสดงดังรูปที่ 4.2

พบว่าต้องใช้ปริมาณ I-bias และปริมาณสนามแม่เหล็กค่าน้อย ๆ ก็ทำให้เกิดปรากฏการณ์ Silsbee effect ขึ้นได้ (พบว่า HTSC มีรูปสี่เหลี่ยมที่เล็กมากเท่าไร ปริมาณ I - Bias ยิ่งน้อยลง) ซึ่งถือว่าเป็นข้อดีของการนำไปใช้งาน แบบ portable ทำให้การพาไปใช้งานได้คล่องตัวมากขึ้น เพราะการออกแบบวงจรภาค Supply ไม่จำเป็นต้องจ่ายกระแส Bias สูงแต่จ่ายกระแส Bias เพียงเล็กน้อยก็สามารถให้ผล output ได้ ทำให้ความไวของหัววัดแบบนี้มีความไวสูง และเป็นแบบที่นิยมใช้ในห้องปฏิบัติการ ERC, KMITL

ข้อพึงระวังในการ BIAS หัววัด S.C.

1. ปริมาณ I - Bias ที่ป้อนให้แก่ S.C. ตัว $\leq I_c$ ของ S.C. ที่สร้างซึ่ง IC ที่ได้แปรเปลี่ยนไปตามสารที่ใช้สร้าง,เทคนิคการสร้าง,การเผา,แรงดันที่ใช้ในการอัดสารก่อนเผา

เพราะฉะนั้น ก่อนจะนำ S.C. ไปใช้งานต้องทำการวัดคุณสมบัติของมันเสียก่อนเพื่อหา I_c, H_c, T_c ว่ามีค่าเท่าไร ซึ่งแต่ละสารจะมีค่าไม่เท่ากัน (แม้จะสร้างจากขบวนการเดียวกัน)

เมื่อนำไปใช้งาน ต้องควบคุมให้อยู่ในคุณสมบัติทั้งสามจึงจะแสดงสภาพการเป็นตัวนำยิ่งยวดได้

ถ้า Bias ด้วยกระแสสูงกว่า I_c มากเกินไปอาจทำให้ S.C. เสียหายและเสียสภาพการเป็นตัวนำไฟฟ้ายิ่งยวดได้

2. การบัดกรีขั้วต่อ S.C. ต้องเป็นไปตามหลักการของ Four Point Probe และโลหะที่ใช้บัดกรีต้องมีสภาพการนำไฟฟ้าที่ดี เพื่อใช้รอยต่อเป็นรอยต่อแบบ ohmic Contact ที่สมบูรณ์ไม่มี Voltage ตกคร่อม ซึ่งถ้าไม่เป็น ohmic Contact จะส่งผลให้ output ต่ำและทำให้ Sensitivity ต่ำด้วย
3. กระแส Bias จาก Constant Current Source (CCS) ต้องปรับให้คงที่ ไม่ควรให้มีการเปลี่ยนแปลงของกระแส Bias ตามตัวแปรข้างเคียง
4. ภายหลังการใช้งานจากการจุ่มใน Nitrogen เหลวต้องเป่าหัววัดด้วย Dryer เพื่อป้องกันหัววัดจากความชื้น ซึ่งจะช่วยให้อายุการใช้งานของหัววัด มีอายุการใช้งานยาวนานขึ้น
5. ไม่จำเป็นต้องให้หัววัดตั้งฉากกับสนามแม่เหล็กที่ต้องการวัดเพราะ หัววัดแบบ S.C. เป็นหัววัดแบบไม่ขึ้นกับทิศทาง ทำให้มีความสะดวกในการวัดสนามแม่เหล็ก

4.4.2 Constant Current Source (CCS) เป็นภาคแหล่งจ่ายกระแสคงที่ สำหรับวงจรนี้ได้ออกแบบให้สามารถปรับกระแสได้ตั้งแต่ 0-1 A ($V_{cc}=9V$) เพื่อ Bias ให้กับหัววัดตัวนำไฟฟ้ายิ่งยวด (HTSC SENSOR)

วงจร CCS แสดงได้ดังรูปที่ Fig 4.5

อธิบายการทำงาน

- U_1 (OP-AMP เบอร์ ua741) ต่อเป็นลักษณะวงจร Voltage follower โดย output ขา 6 ต่อ feedback กลับมายังขา 2 ซึ่งเป็นขา Inverting Amp ทำให้ Gain ของ OP-AMP มีค่าเท่ากับ 1 ซึ่งหมายถึง แรงดัน output จะเท่ากับแรงดันด้าน input
- สำหรับ input ใช้ Zener เบอร์ LM336 เป็น Reference Voltage ที่สามารถปรับระดับ Voltage ด้าน input อยู่ระหว่าง 2-3 Volts โดยปรับที่ VR_{12} (10K) ซึ่งทำหน้าที่เป็น Voltage Adjust, R_{22} และ VR_{12} ต่อลักษณะ Voltage Divider เพื่อแบ่งแรงดันจ่ายให้ LM336 ค่ากระแสถูกจำกัดด้วย R_{22}
- C_{18}, C_{19}, C_{20} ทำหน้าที่เป็น Filter เพื่อรักษาระดับ Reference Voltage ให้ราบเรียบสม่ำเสมอ
- R_{23}, R_{24} ทำหน้าที่จำกัดกระแส Bias ให้ input OP-AMP ซึ่งต้องการกระแส Bias เพียงเล็กน้อยเท่านั้น
- Q1, Q2 ทำหน้าที่เป็น Driver กระแส โดยแรงดัน output จาก ขา 6 ของ OP-AMP ปกติจะให้กระแส output น้อย ไม่สามารถจ่ายกระแสให้ Load ได้มาก ต้องทำการยกระดับปริมาณกระแสก่อน

- R_{28} ทำหน้าที่ป้องกัน output ของ op-AMP กรณีที่ Q1 เกิดลัดวงจร และป้องกันไฟจาก Q1 ย้อนกลับไปทำความเสียหายแก่ op-AMP ได้

- Q_3 ทำหน้าที่เป็นตัวจ่ายกระแสไฟฟ้าแก่ Load (ในที่นี้คือ HTSC SENSOR) ปริมาณกระแสสูงสุดที่ Q_3 จ่ายได้ คำนวณจาก

$$I_{C_3 \text{ (max)}} = \frac{V_{cc} - \text{Re fVoltage}}{R_{29}}$$

ซึ่งค่า I_{C_3} ที่ได้จะเป็นกระแสสูงสุด ประมาณ 1 A แต่สามารถปรับปริมาณกระแสได้ด้วย VR_{13} ซึ่งทำหน้าที่ปรับปริมาณกระแสจาก Driver ไปเป็นกระแส base (I_{B_3}) ควบคุมปริมาณ I_{C_3} ของ Q_3

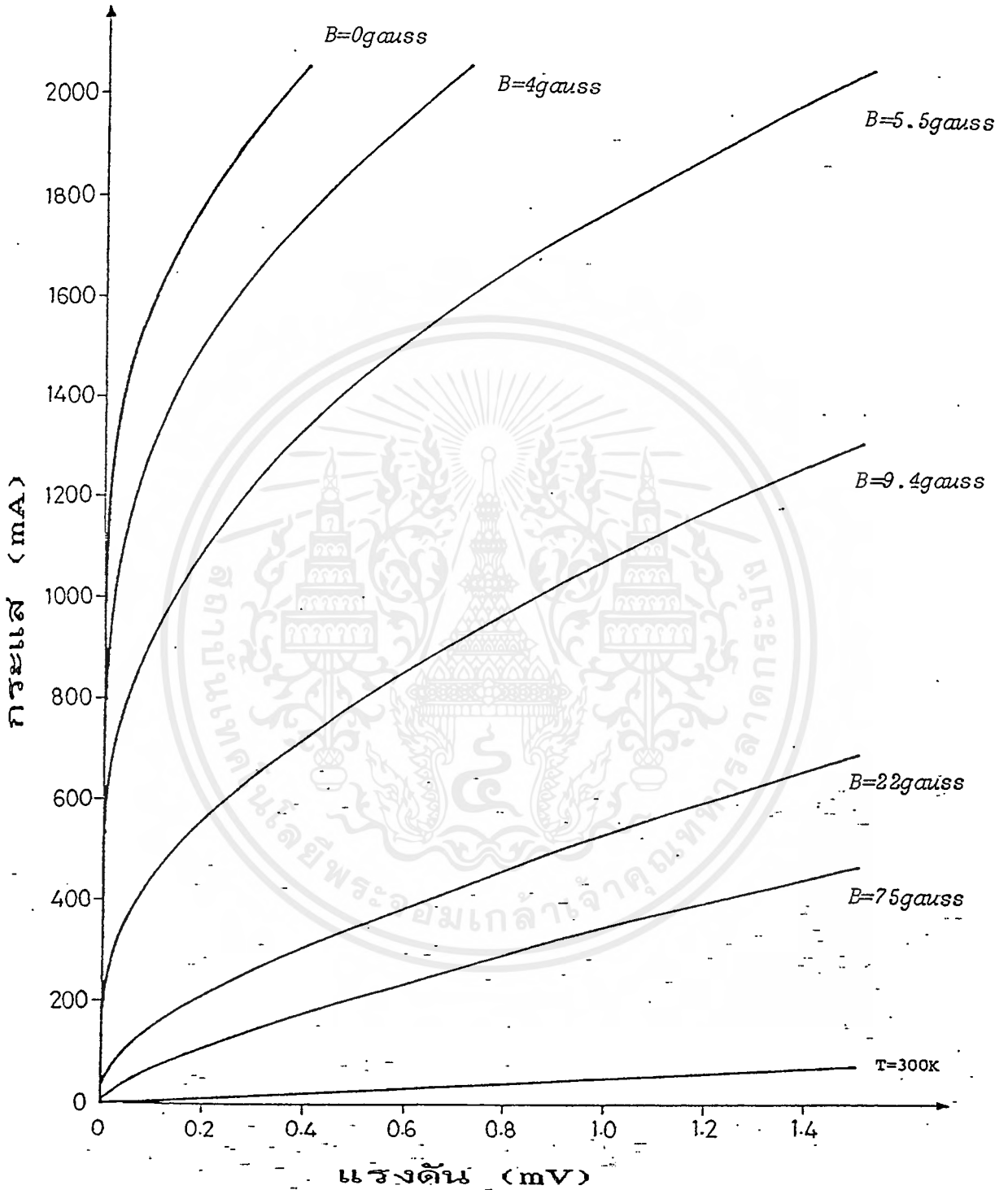
$$\text{จาก } \beta_3 = \frac{I_{C_3}}{I_{B_3}}$$

$$\therefore I_{C_3} = \beta_3 I_{B_3}$$

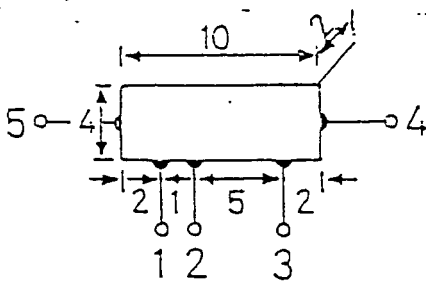
ทำให้สามารถควบคุมปริมาณ I_1 ที่จ่ายให้แก่ HTSC SENSOR ได้ด้วยปริมาณ I_{B_3} โดยปรับที่ VR_{13}

$$\therefore I_1 = I_{B_3} + I_{C_3} = I_{B_3} + \frac{V_{cc} - \text{Re fVoltage}}{R_{29}}$$

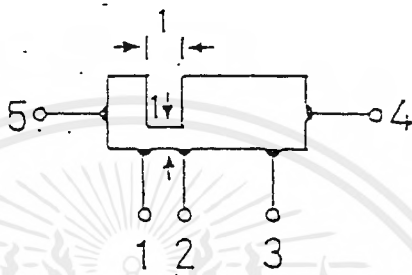
เมื่อ I_{B_3} และ I_{C_3} คงที่ ส่งผลให้ I_1 คงที่ด้วย

$T=77K$


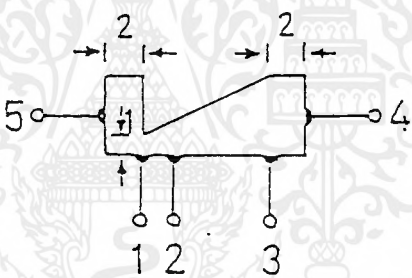
รูปที่ 4.1 ความสัมพันธ์ระหว่างกระแสกับแรงดันของSUPERCONDUCTOR
เมื่อได้รับสนามแม่เหล็กค่าต่างๆ



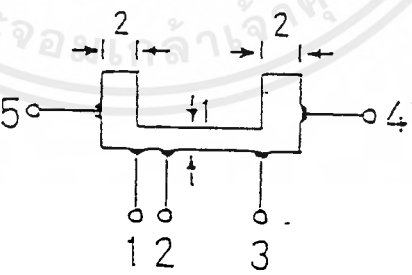
(ก)



(ข)



(ค)



(ง)

รูปที่ 4.2 รูปร่างทางเรขาคณิตต่างๆของชิ้นสารSUPERCONDUCTOR

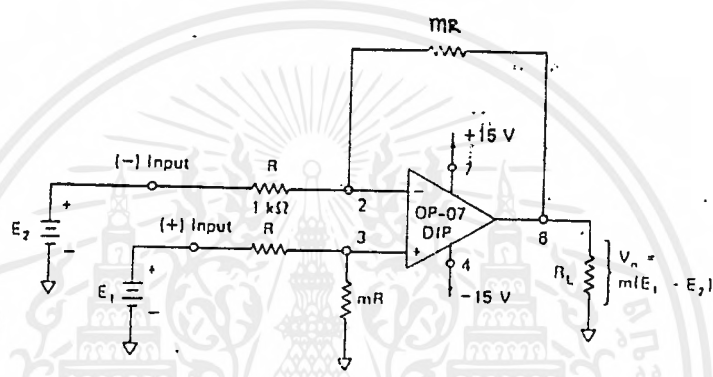
เอกสารนี้เป็นเอกสารที่สงวนไว้สำหรับการใช้งานเพื่อการศึกษาเท่านั้น ไม่อนุญาตให้นำไปใช้ประโยชน์ด้านการค้า ไม่ว่าจะกรณีใดๆ ทั้งสิ้น อีกทั้งห้ามมิให้ตัดแปลงเนื้อหาและต้องอ้างอิงถึงเจ้าของเอกสารทุกครั้งที่มีการนำไปใช้

4.4.3 หลักการทำงานของ AD 624

หลักการทำงานของ AD 624 ทำงานในลักษณะ Instrument Amp ที่มีหลักการพื้นฐาน ดังนี้

4.4.3.1 Basic Differential Amplifier

วงจรพื้นฐานแสดงดังรูปที่ 4.3



รูปที่ 4.3 BASIC DIFFERENTIAL AMPLIFIER

โดยให้ $R_1 = R$, $R_F = mR$ จะได้แรงดันเอาต์พุต (V_o)

$$V_o = A_d (V_1 - V_2)$$

$$\begin{aligned} \text{เมื่อ } A_d &= \text{Differential mode gain} \\ &= R_F/R \end{aligned}$$

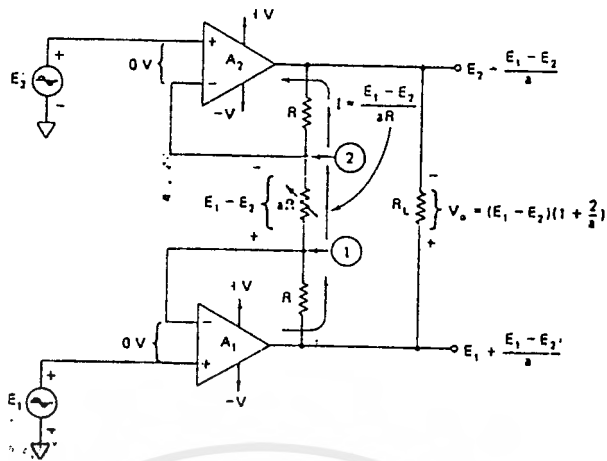
ข้อเสีย

- Z_{in} ต่ำ ; โดยที่ Z_{in} เมื่อมองที่ $V_1 = R$
ถ้ามองที่ V_2 , $Z_{in} = R+mR$

ซึ่งจะเห็นว่า Z_{in} มีค่าต่ำมาก ไม่เหมาะที่จะนำไปตรวจจับสัญญาณที่มีขนาดต่ำๆได้

4.4.3.2 Floating Load Differential Amplifier

เป็นวงจรที่ถูกปรับปรุงมาจาก Basic Differential Amp. เพื่อให้ได้ Z_{in} สูงขึ้น , และปรับเกณฑ์ได้ง่ายดังรูปที่ 4.4



รูปที่ 4.4 FLOATING LOAD DIFFERENTIAL

หลักการ โดยต่อ Buffer ให้กับ V_1 และ V_2 คุณสมบัติ Buffer คือ ให้ Z_{in} สูงมาก ทำให้ตอบสนองต่อสัญญาณที่ขนาดต่ำ ๆ ได้

ข้อดี

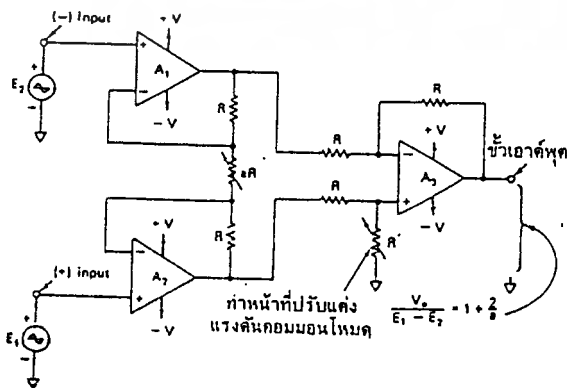
- ให้ Z_{in} สูง
- สามารถปรับ Gain ได้ง่าย
- Low-noise

ข้อเสีย

- โหลด ภาคเอาต์พุตจะเป็นโหลดลอย (Floating Load)

4.4.3.3 Instrument Amplifier

เป็นวงจรที่ปรับปรุงจากวงจร Floating Differential Amp เพื่อให้ต่อกับโหลดที่ต่อกับ Ground ได้ (Grounded Load) แสดงดังรูปที่ 4.5



รูปที่ 4.5 วงจร Instrument Amplifier

ข้อดี

- ให้ Zin สูง
- ปรับเกณฑ์ได้ง่าย
- เหมาะใช้กับงานที่โหลด R_2 ต่ำลงกราวด์
- Low-noise

4.4.3.4 คุณสมบัติของ AD 624

เป็นไอซีที่ถูกออกแบบให้สามารถวัดสัญญาณขนาดต่ำ ๆ ได้ดี และมีความเที่ยงตรงสูง และตอบสนองสัญญาณรบกวนต่ำ (High precision Low noise) มีวงจรชดเชยภายใน (Internal Compensated) ใช้งาน Band Width $\approx 25 \text{ MHz}$ เหมาะกับงาน Low Level Transducers เช่น Strain gauges, Pressure transducer, High resolution Data Acquisition Systems, Biomedical Signal, etc.

จากคุณสมบัติข้างต้นถือว่า มีคุณสมบัติที่จะนำ AD 624 มาใช้งานตรวจจับสัญญาณต่ำ ๆ จาก Superconductor ได้ดี

ลักษณะการทำงาน สามารถปรับ Offset Voltage ได้ด้วย VR_1, VR_2 สัญญาณเอาต์พุต ของ AD 624 (ขา 9) จะถูกเลือกเป็น 2 แบบ คือ ส่งไปขยายแบบ DC-Amp หรือ AC-Amp ก็ได้ โดยเลือกได้จาก

- DC Amp = สัญญาณจะถูกส่งผ่านแบบโดยตรง (Direct Coupling) ทำให้สัญญาณทั้ง AC และ DC สามารถผ่านไปยังภาค Amplifier ได้

- AC Amp = สัญญาณจะถูกส่งผ่านแบบผ่านตัวเก็บประจุ (Capacitor Coupling) ทำให้สัญญาณ DC ถูกกั้นไว้ แต่สัญญาณ AC สามารถผ่านไปได้เพื่อส่งให้ภาค Amplifier ต่อไป

4.4.3.6 การปรับแต่งเกณฑ์

ไอซีเบอร์ AD 624 ได้ถูกออกแบบให้สามารถเลือกเกณฑ์การขยายได้ โดยเลือกจาก Sw_3 (Detect Gain) ซึ่งออกแบบไว้ 3 ค่า คือ เกณฑ์ขนาด 100, 200, 500 เพื่อช่วยยกระดับสัญญาณที่ต่ำมาก ๆ ให้มีขนาดใหญ่อขึ้น AD 624 ได้ออกแบบให้ C_{16}, C_{17} บายพาสสัญญาณรบกวนต่างๆทั้งลงกราวด์และ ภาค เอาต์พุตของ AD 624 ได้ออกแบบให้ C_2 ทำหน้าที่ Bypass สัญญาณรบกวนหรือสัญญาณความถี่สูงลงกราวด์

สัญญาณที่ Detect ได้จาก HTSC จะถูกเดินสายด้วยสาย Shielded เพื่อป้องกันสัญญาณรบกวนต่างๆ จากภายนอก

4.4.4 การทำงานของ U_2

หน้าที่ ขยายสัญญาณที่ถูกส่งมาจากเอาต์พุทของ AD 624 และทำหน้าที่เป็นวงจรกรองความถี่ต่ำผ่าน (Low Pass filter)

ความถี่ต่ำที่สามารถผ่านไปได้ คำนวณได้จาก

$$F_{CL} = 1 / 2\pi R_3 C_3 = B_w$$

ซึ่งในวงจรได้ออกแบบไว้ $F_{CL} = 2 \text{ KHz}$ ณ Voltage gain (A_v) = 2.2 ถ้าสัญญาณความถี่สูงกว่า 2.2 KHz จะถูก short ทำให้ $A_v = 1$ ซึ่งแสดงว่า ณ $f > f_{cl}$ U_2 จะทำหน้าที่เป็น Buffer นั้นเอง

ลักษณะการต่อวงจร U_2 จะต่อแบบ Inverting Amp ที่มีเกณฑ์การขยาย = R_3/R_1
 V_0 = สามารถปรับ offset voltage ได้ด้วย VR_3

4.4.5 การทำงานของ U_3 (# op-07)

ทำหน้าที่ขยายสัญญาณที่รับจาก U_2 (ขา6) ลักษณะขยายเป็นระบบแบบ Non-inverting Amp โดยสัญญาณหา U_2 จะป้อนเข้าขา3 ซึ่งเป็นขา Noninverting ทำให้สัญญาณ เอาต์พุทมีเฟสเดียวกับอินพุท

กรณีที่การขยายของ U_3 คำนวณจาก $A_v = [V_{R9}+R_6]/R_6$

จากวงจรได้ออกแบบให้สามารถควบคุมเกณฑ์ได้ โดยการปรับ V_{R9} เพื่อช่วยป้องกันแรงดันถึงจุดอิ่มตัว (Saturation) และสามารถควบคุมเกณฑ์ได้จากการปรับสวิตช์ Range $S_{2/1}$ ซึ่งจะต่ออยู่กับ ขา Inverting ของ U_3 (ขา 2)

- ถ้า $S_{2/1}$ อยู่ตำแหน่ง 1,2 จะทำให้ U_3 ทำหน้าที่เป็น Noninverting Amp ที่มีเกณฑ์การขยาย $A_{v3} = [V_{R9}+R_6]/R_6$

- ถ้า $S_{2/1}$ อยู่ตำแหน่ง 3 จะทำให้ U_3 ทำหน้าที่เป็น Buffer ที่มีเกณฑ์การขยาย เท่ากับหนึ่ง (Unity Gain)

R_4 ทำหน้าที่จำกัดปริมาณกระแสไบอัสอินพุท , R_{15} ทำหน้าที่เป็นโหลดของ U_3
 V_{R4} ทำหน้าที่ปรับแรงดัน offset ของ U_3

4.4.6 การทำงานของ U_4 (# op07)

ทำหน้าที่ขยายที่เช่นเดียวกับ U_3 โดยรับสัญญาณจาก ขา6 ของ U_3 ลักษณะการขยายเป็นแบบ Noninverting Amp ที่สามารถควบคุมเกณฑ์ เช่นเดียวกับ U_3 โดยการปรับ V_{R10} และปรับสวิตช์ Range $S_{2/2}$

- ถ้า $S_{2/2}$ อยู่ตำแหน่ง 1 จะทำให้ U_4 ทำหน้าที่เป็น Noninverting Amp ที่มีเกณฑ์การขยาย $Av_4 = [V_{R10} + R_9] / R_9$
- ถ้า $S_{2/2}$ อยู่ตำแหน่ง 2,3 จะทำให้ U_3 ทำหน้าที่เป็น buffer ที่มีเกณฑ์การขยายเท่ากับ หนึ่ง (Unity Gain) ทำให้สัญญาณเอาต์พุตมีขนาดเท่ากับอินพุตและเฟสเดียวกับอินพุต

R_{11} ทำหน้าที่เป็น Load ของ U_4

R_8 ทำหน้าที่จำกัดกระแสไบอัสอินพุตของ U_4

V_{R5} ปรับแรงดัน offset ทาง U_4 โดยขณะที่ไม่มีสัญญาณมายังอินพุต (ขา 3 ต่อลง ref.) แรงดันเอาต์พุต (ขา 6) ต้องเป็น 0 Volt ซึ่งสามารถปรับได้ด้วย V_{R5}

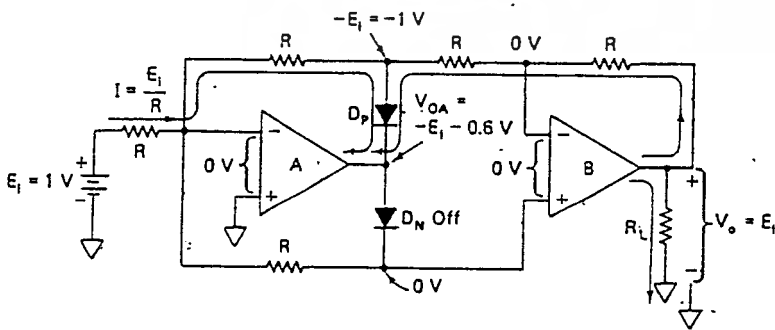
4.4.7 การทำงานของ U_5

ทำหน้าที่เป็นวงจรเลือกขั้วของสัญญาณ เพื่อป้อนให้กับ A/D ลักษณะการต่อวงจรเป็นของ Inverting Amp โดยอินพุตรับจากขา 6 ของ U_4 เกณฑ์การขยายคำนวณจาก $Av_5 = [R_{13} / R_{12}] = 1$

D1, D2 ทำหน้าที่เป็นตัวเรียงกระแสแบบครึ่งคลื่น (Half wave rectifier) โดยวงจร output ออกแบบให้เอาต์พุตมีแรงดันด้านบวกแบบครึ่งคลื่น (ถ้าต้องการเอาต์พุตเป็นซิกลบ โดยการกลับขั้ว D₁, D₂ ให้ตรงข้ามกับที่ต่อในวงจรหรืออาจเพิ่มสวิตช์เลือก POLARITY)

V_{R6} = ทำหน้าที่ปรับแรงดัน offset ของ U_5

สัญญาณเอาต์พุตที่ได้จาก U_5 เป็นแบบครึ่งคลื่น เพื่อส่งต่อไปให้กับภาค FILTER (C_{21}) แล้วส่งให้ A/D ทำหน้าที่เปลี่ยนระดับแรงดันเป็นแบบ Digital
หมายเหตุ U_5 สามารถเป็นวงจรเรียงกระแสแบบเต็มคลื่น (Full Wave Rectifier) ได้ดังรูปที่ 4.6



รูปที่ 4.6 FULL WAVE RECTIFIER

4.4.8 การทำงานของ U_6

ทำหน้าที่เป็นวงจรรักษาแรงดันอ้างอิงคงที่ (Reference Voltage Regulator) หรือแรงดัน AC-GROUND จ่ายระดับแรงดันอ้างอิงแก่ $U_1, U_2, U_3, U_4, U_5, A/D$ ระดับแรงดันอ้างอิงสามารถปรับได้ด้วย V_{R7}, V_{R11} ที่ต่อแบบ Voltage Divider เพื่อสร้างระดับแรงดันอ้างอิงแก่ขา 3 ของ U_6 ซึ่งต่อแบบ Voltage follower (Buffer) ทำให้เอาท์พุทมีระดับเท่ากับแรงดัน อินพุท (ขา 3)

C_{11} = ทำหน้าที่กรองแรงดัน ณ ขา 3 ของ U_6 ให้มีความราบเรียบมากขึ้นซึ่ง..ส่งผลให้ output มีระดับแรงดันที่คงที่ด้วย

C_{12} = ทำหน้าที่กรองแรงดันระหว่าง AC-GND กับ DC-GND

R_{17} = ทำหน้าที่เป็นโหลดของ U_6

หมายเหตุ ระดับแรงดันอ้างอิงคงที่ ถ้าไม่ต้องการปรับเปลี่ยน ให้ใช้ Zener Diode แทน V_{R7} โดยขนาดแรงดันของ Zener Diode ตามที่ต้องการได้

4.4.9 A/D (ICL 7106)

ทำหน้าที่เปลี่ยนแรงดันอนาล็อกเป็นแรงดันดิจิทัลโดยรับสัญญาณที่ถูกแรงกระแสแบบครึ่งคลื่นจาก U_5 ผ่าน R_{31} เพื่อจำกัดปริมาณกระแสให้เหลือน้อย ๆ เพราะ A/D ต้องการ กระแสไปออสซิลูทปริมาณเล็กน้อย จากนั้นส่งให้ขา IN HIGH

สัญญาณครึ่งคลื่นที่แปรเปลี่ยนตามปริมาณสนามแม่เหล็กที่ป้อนให้ตัวนำยิ่งยวด จะถูกเปลี่ยนให้เป็นระดับสัญญาณ digital เพื่อส่งให้กับ Display ที่เป็น LCD แบบ $3 \frac{1}{2}$ หลักจะแสดงเป็นตัวเลข, R_{32}, C_{22} , ทำหน้าที่สร้าง OSC แก่ A/D, V_{14} ทำหน้าที่ปรับ Calibrate ให้แก่ A/D เพื่อให้ค่าตัวเลขที่ LCD มีค่าใกล้เคียงกับความเป็นจริงให้มากที่สุด

คุณลักษณะ ICL7106 (Features)

- Display แสดงเป็น 0 volts เมื่อไม่มีอินพุท ($i/p = 0$ volts)
- การแสดงข้อของสัญญาณได้ถูกต้อง เพราะใน IC มีวงจร Null Detection ที่เที่ยงตรง
- ภาควิ /p กินกระแสน้อยมาก ≈ 10 PA
- สามารถขับภาค Display ได้โดยตรง โดยไม่ต้องต่ออุปกรณ์ภายนอกใด ๆ
- ออกแบบให้ป้องกันจากสัญญาณรบกวน (Low-noise) $< 15 \mu V_{p-p}$
- Chip ได้ออกแบบให้มีความสามารถต่อกับ clock และ Reference ได้ภายใน ทำให้สะดวกในการใช้งาน

- อุปกรณ์ได้ออกแบบให้กินกระแสต่ำ ทำให้สูญเสียพลังงานน้อย <math>< 10 \text{ mW}</math>
- ไม่ต้องการวงจร Active ใด ๆ มาต่อเพิ่มสำหรับไอซีนี้
- สามารถออกแบบเป็นชุด Kit ได้ง่าย เหมาะในการทดลองต่าง ๆ

รายละเอียดทั่วไป

ICL7106, ICL 7107 เป็น A/D Converter 3¹/₂ หลัก ภายในออกแบบเป็น CMOS สำหรับส่วน active device ที่สำคัญ รวมทั้งชุดถอดรหัส 7-segment , ชุด Display, ชุด reference และชุด clock

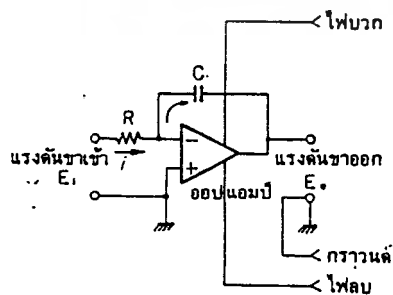
สำหรับ ICL7106 ออกแบบสำหรับติดต่อกับ LCD และส่วนขับ Blackplane (สัญญาณกลับขั้วที่ป้อนให้ LCD เพื่อช่วยให้ LCD มีอายุการใช้งานนานขึ้น), ICL 7107 ได้ออกแบบสำหรับขับ LED (กระแส o/p จะสูงกว่า ICL 7106)

วงจรภายใน chip ได้ออกแบบให้มีความถูกต้องสูง (High Accuracy) โดยที่ Auto-Zero <math>< 10 \mu\text{V}</math> , ความคลาดเคลื่อน <math>< 1 \mu\text{V}/^{\circ}\text{C}</math> , กระแส i/p = 10 PA max , ความผิดพลาดการแสดงผลน้อยกว่า 1 ทศนิยม

ทฤษฎีพื้นฐาน A/D Converter ที่ใช้ใน ICL 7106 , ICL 7107 คือ ใช้หลักการ A/D แบบสโลปคู่ (Dual Slope)

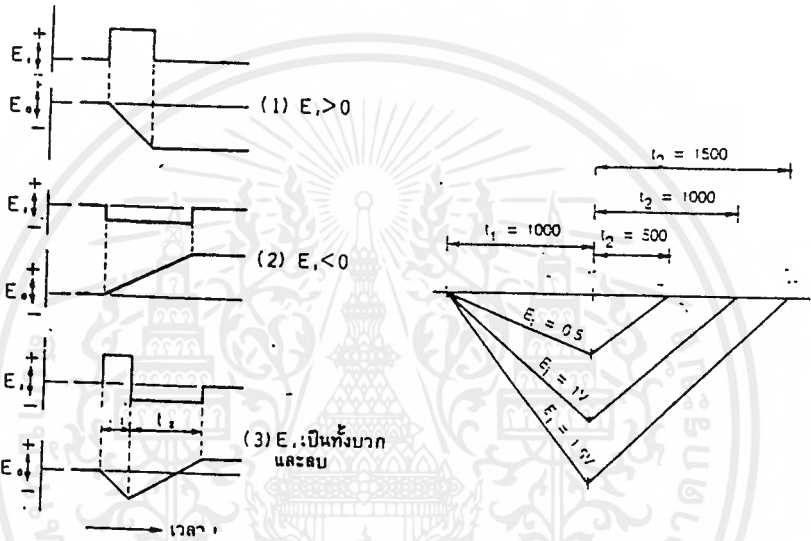
วงจร A/D แบบสโลปคู่

ให้ดูวงจรในรูปที่ 4.7<g> ซึ่งเป็นวงจรอินทิเกรเตอร์ (integrator circuit) แบบพื้นฐาน อุปกรณ์ที่มีสัญลักษณ์เป็นสามเหลี่ยมนั้นเป็นออปแอมป์ที่ทำหน้าที่เป็นวงจรขยายสัญญาณแตกต่าง R และ C ในวงจรเป็นอุปกรณ์สำคัญที่ทำให้เกิดการชาร์จประจุเข้าไปใน C ทำให้ได้รูปคลื่นแรงดันขาออกซึ่งเท่ากับเป็นการอินทิเกรตสัญญาณอินพุต



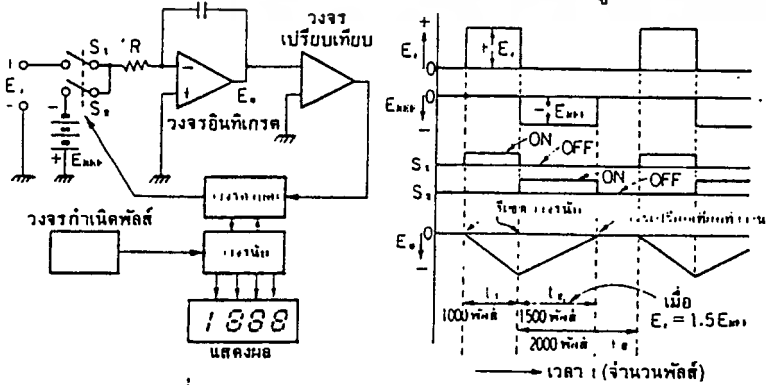
รูปที่ 4.7<g> วงจรอินทิเกรเตอร์

สมมติว่ามีแรงดัน E_i ป้อนเข้าทางอินพุต จะเกิดกระแส i ซึ่งมีค่า E_i/R ไหลผ่าน R เข้าไปในวงจร กระแสนี้จะไม่ไหลเข้าออปแอมป์ เพราะออปแอมป์มีความต้านทานขาเข้าสูง แต่จะไหลผ่านไปชาร์จตัวเก็บประจุ C ทั้งหมด เป็นผลให้แรงดันคร่อม C สูงขึ้นเรื่อย ๆ ขั้วลบของออปแอมป์จะมีศักย์ไฟฟ้า เป็น 0 โวลท์ เท่ากับขั้วบวกซึ่งต่อลงกราวด์ ดังนั้นแรงดันคร่อม C จึงเป็นแรงดันลบเมื่อเทียบกับกราวด์ แรงดันขาออก E_o ซึ่งเท่ากับแรงดันคร่อม C จึงเป็นลบ แรงดันนี้ก็ค่อย ๆ เพิ่มขึ้นเรื่อย ๆ เป็นเส้นตรง แรงดันขาออกของวงจรจึงเหมือนกับเป็นการอินทิเกรตแรงดันขาเข้า เพราะเมื่อเราอินทิเกรตค่าคงที่ จะได้เส้นตรงที่เปลี่ยนแปลงตามเวลา



รูปที่ 4.7 <ข> รูปคลื่นขาออก

รูปที่ 4.7 <ข> แสดงรูปคลื่นขาออกของวงจรอินทิเกรตเมื่อป้อนแรงดันอินพุตค่าต่าง ๆ เช่น กรณีอินพุตเป็นบวก กรณีอินพุตเป็นลบ และกรณีที่อินพุตเป็นทั้งบวกและลบ โดยเป็นบวก นาน t_1 วินาที และเป็นลบนาน t_2 วินาที จะเห็นว่า ถ้าอินพุตเป็นบวกเอาต์พุตจะเป็นเส้นตรงที่มีสโลปเป็นลบ และถ้าอินพุตเป็นลบจะได้สโลปเป็นบวก การให้วงจรอินทิเกรตทำการอินทิเกรตขึ้นและลงแบบนี้จะได้เส้นตรงสโลปคู่



รูปที่ 4.8 A/D DUAL SLOPE

คราวนี้ลองมาดูรูปที่ 4.8 เป็นรูปแสดงหลักการการทำงานของวงจร A/D แบบสโโลปคู่ อินพุตของวงจรอินทิเกรเตอร์เป็นแรงดันไฟที่จะวัด E_i และมีอีกอินพุตหนึ่งเป็นแรงดันไฟมาตรฐาน E_{REF} อินพุตทั้งสองนี้จะมีขั้วสลับกันเสมอและจะผลัดกันต่อเข้ากับวงจรอินทิเกรเตอร์ ทำให้มีการอินทิเกรตขึ้นและลงเป็นจังหวะอยู่ตลอดเวลา เอาต์พุต E_0 ของวงจรอินทิเกรเตอร์จะเข้ากับวงจรเปรียบเทียบ ซึ่งจะทำหน้าที่ตรวจจับว่าแรงดัน E_0 เมื่อใดเป็น 0 โวลต์ วงจรควบคุมในวงจร A/D นี้เป็นวงจรดิจิทัล ทำหน้าที่ควบคุมการทำงานของวงจรทั้งหมดที่สำคัญ จะควบคุมสวิตช์ S_1 และ S_2 เพื่อต่ออินพุตให้กับวงจรอินทิเกรเตอร์

การทำงานของวงจรเริ่มจาก เมื่อแรงดัน $E_0 = 0$ โวลต์ วงจรควบคุมจะปิดสวิตช์เพื่อแรงดันที่จะวัด E_i ต่อเข้ากับวงจรอินทิเกรเตอร์ วงจรควบคุมจะปล่อยให้วงจรอินทิเกรเตอร์ทำการอินทิเกรตสัญญาณ E_i เป็นระยะเวลา t_1 วินาที การจับเวลา t_1 นี้ทำได้ไมยากนัก โดยทั่วไปมักจะใช้วงจรนับ นับพัลส์ที่มีความถี่ที่จนได้ค่าที่กำหนดไว้ เช่น นับพัลส์ความถี่ที่ 10 กิโลเฮิร์ตซ์ให้ได้ 1000 ลูก ก็จะใช้เวลา 0.1 วินาที เป็นต้น

เมื่อครบเวลา t_1 วงจรควบคุมจะเปิดสวิตช์ S_1 ในขณะนั้นแรงดันเอาต์พุตของอินทิเกรเตอร์ E_0 จะมีค่าแปรผันกับแรงดัน E_i เช่น ถ้า $E_0 = 1$ โวลต์ ให้ $E_0 = -1.5$ โวลต์ ถ้า $E_i = 2$ โวลต์ ก็จะได้ $E_0 = -3.0$ โวลต์ เป็นต้น จากนั้นวงจรควบคุมจะปิดสวิตช์ S_2 เพื่อต่อแรงดันไฟฟ้ามาตรฐาน E_{REF} เข้ากับวงจรอินทิเกรเตอร์ และรีเซ็ตวงจรนับ แรงดัน E_{REF} จะมีขั้วตรงข้ามกับ E_i สมมติให้ E_{REF} เป็นแรงดันลบ คราวนี้วงจรอินทิเกรเตอร์จะอินทิเกรตสัญญาณทำให้เกิดเส้นตรงที่มีสโโลปตรงข้าม แรงดัน $E_0 = 0$ โวลต์ ในช่วงเวลานี้สมมติว่าใช้เวลา t_2 ขณะเดียวกันวงจรนับจะนับพัลส์ไปเรื่อย ๆ เมื่อ $E_0 = 0$ โวลต์ วงจรเปรียบเทียบจะตรวจจับเหตุการณ์นี้แล้วส่งสัญญาณไปยังวงจรควบคุม วงจรควบคุมจะเปิดสวิตช์ S_2 และให้วงจรนับหยุดนับพัลส์ ค่าที่นับได้ในวงจรนับขณะนั้นจะเท่ากับค่าแรงดันที่ต้องการวัดพอดี

ที่เป็นเช่นนี้เพราะแรงดัน E_{REF} มีค่าคงที่ ช่วงเวลา t_2 ในการอินทิเกรตสัญญาณจนแรงดันเป็นศูนย์ จะแปรผันกับแรงดันขาเข้า E_i ถ้า E_i มีค่ามาก ค่า E_0 หลังจากการอินทิเกรตครั้งแรกจะมาก จึงใช้เวลา t_2 ในการอินทิเกรตครั้งที่สองมากตามไปด้วย สมมติให้ $E_i = 1$ โวลต์ และ $E_{REF} = -1$ โวลต์ ได้ $t_1 = t_2$ เท่ากับการนับพัลส์ 1000 ลูก ถ้าให้ $E_i = 1.5$ โวลต์ จะได้ $t_2 = 1.5 t_1$ หรือเท่ากับการนับพัลส์ 1500 ลูก จะสังเกตเห็นว่าค่านับพัลส์นี้ตรงกับค่าแรงดัน E_i ซึ่งเป็นแรงดันที่ต้องการวัด เช่น $E_i = 1.000$ โวลต์ ได้ค่านับ 1000 และ $E_i = 1.500$ โวลต์ ได้ค่านับ 1500 เป็นต้น

ค่านับของวงจรมีสามารถส่งออกไปที่แลตซ์และถอดรหัสเพื่อแสดงผลด้วย LED 7 ซิตอีกหนึ่ง ทำให้เราสามารถอ่านค่าแรงดันเป็นตัวเลขได้โดยตรง

ดิจิตอลมัลติมิเตอร์ที่มีขายตามท้องตลาดทั่วไป มักแสดงผลสูงสุดเป็น 1999 แสดงว่า t_2 จะเท่ากับการนับพัลส์ไม่เกิน 2000 ลูก ถ้าในวงจรเราใช้พัลส์ความถี่ 10 กิโลเฮิร์ตซ์ ในการวัดหนึ่งครั้งจะต้องมีการอินทิเกรต 2 ครั้ง กินเวลา $t_1 + t_2$ หรือเท่ากับการนับพัลส์จำนวนสูงสุดไม่เกิน $1000 + 2000$ ลูก ซึ่งจะกินเวลา 0.3 วินาที นับว่าเป็นเวลาที่ยาวนานพอสมควร ในหนึ่งวินาทีจะวัดได้ไม่เกิน 3 ครั้งเท่านั้น ถ้าเป็นดิจิตอลมัลติมิเตอร์ที่แสดงผลสูงสุดเป็น 19999 ก็ยังมีการนับพัลส์เป็นจำนวนมากขึ้นถึง 10 เท่า ถ้าใช้พัลส์ความถี่ 10 กิโลเฮิร์ตซ์เท่าเดิม จะต้องใช้เวลาถึง 3 วินาทีในการวัดหนึ่งครั้งซึ่งยาวนานเกินไป ดังนั้นคงต้องเพิ่มความถี่ของพัลส์ให้สูงขึ้น เช่น เป็น 100 กิโลเฮิร์ตซ์ เป็นต้น

ไอซีที่เป็นวงจร A/D แบบสโลปคู่นี้มีด้วยกันหลายเบอร์ และผลิตกันหลายบริษัท เช่น เบอร์ ICL 7106 ของบริษัทอินเตอร์ซิล (Intersil) เบอร์ MC 14433 ของบริษัทโมโตโลรา เป็นต้น บางเบอร์ก็ใช้ไอซีเพียงตัวเดียว บางเบอร์ก็ต้องใช้ไอซี 2-3 ตัวต่อเป็นชุดปกติมักใช้อุปกรณ์ภายนอก เช่น R C ต่อเพิ่มอีกเพียงเล็กน้อยก็สามารถใช้งานได้ดี

คุณลักษณะสำคัญของ Dual Slope

1. ความแม่นยำของมันไม่ขึ้นกับเสถียรภาพของสัญญาณ clock และตัวเก็บประจุ แต่จะขึ้นกับ ความเที่ยงตรงของแรงดันอ้างอิง และความเป็นเชิงเส้นของ Integrator
2. การกำจัดสัญญาณรบกวนด้วยตัวเองของวงจรสามารถทำได้ ถ้าเซ็ทให้ t_1 มีขนาดเท่ากับเวลาของสัญญาณรบกวน เช่น ในการกำจัดสัญญาณ 50 Hz ต้องให้ t_1 มีค่า = 20 n Sec
3. ออกแบบง่าย วงจรไม่ซับซ้อน ใช้วัดค่า Average ของสัญญาณได้ดี

ข้อเสีย

- ความเร็วในการ Conversion ค่อนข้างต่ำ จึงนิยมใช้กับเครื่องมือที่ไม่ต้องการความเร็ว
- ไม่เหมาะในการวัดสัญญาณรูปคลื่น ณ จุดเวลาใดเวลาหนึ่งเพราะใช้เวลาในการแปลงสัญญาณนาน

วงจรภายใน ICL 7106, 7107 ประกอบด้วย 2 ส่วน คือ Analog และ Digital

1. ส่วน Analog แบ่งเป็น 3 ส่วน คือ

- 1.1 Auto - Zero (A/Z)
- 1.2 Signal integrate (INT)
- 1.3 Deintegrate (DE)

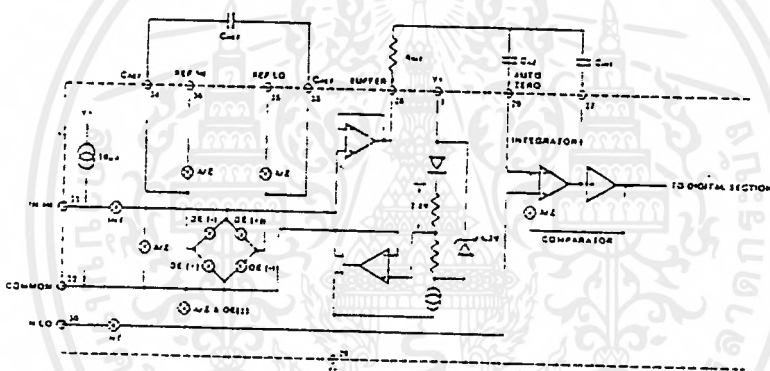
1.1 Auto - Zero (A/Z)

ในขณะที่ไอซี ทำงาน Auto - Zero นี้ทำให้ไอซีมีการทำงาน 3 ขั้นตอน ดังนี้

ขั้นตอนที่ 1 - ในส่วนอินพุท high และ low จะถูกตัดออกจากวงจรและภายในจะถูก shorted เพื่อทำงานใน mode Analog

ขั้นตอนที่ 2 - C_{ref} จะถูกประจุให้มีแรงดันเท่ากับแรงดันอ้างอิงที่ต้องการ

ขั้นตอนที่ 3 - ส่วน feedback loop จะถูกปิด แล้วทำการประจุ Auto - Zero Capacities (C_{AZ}) เพื่อให้เป็นแรงดันชดเชยสำหรับแรงดัน offset voltage ในภาค Buffer Amp, integrator ค่า A - Z Accuracy ถูกจำกัดด้วยปริมาณสัญญาณรบกวน (Noise) ของระบบโดยทั่วไปแรงดันอินพุท offset < 10 μ V



รูปที่ 4.9 ANALOG SECTION

1.2 Signal integrate phase

ขณะทำงาน ในส่วนนี้ ภาค A/Z จะถูกเปิด (ปกติภายในที่ถูก short ก็จะถูกเปิดออก) และหาขา low and high จะถูกต่อรับสัญญาณจากภายนอกเพื่อทำการ Integration แรงดัน Differential ระหว่างขา high and low ซึ่งจะทำงานในช่วงเวลาหนึ่งที่ตั้งไว้เท่านั้น ซึ่งขนาดแรงดัน difference จะมีขนาดอยู่ในย่าน common mode range โดยปกติตั้งไว้ < 1 volt

ค่าสัญญาณอินพุทจะไม่เปลี่ยนกลับ แต่จะคงค่าตามแรงดัน supply ของ converter และค่าอินพุท low จะถูกตรึงค่าไว้ตาม mode Analog common เพื่อที่จะสร้างระดับแรงดัน common mode ที่ถูกต้อง

ช่วงสุดท้ายของเฟสนี้ ขั้วของสัญญาณจะถูกบันทึกไว้

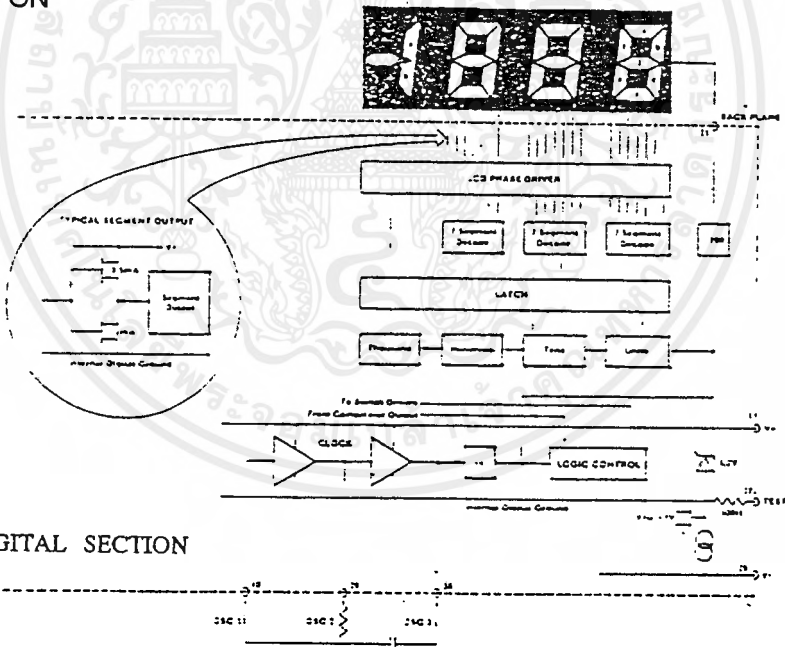
1.3 Deintegrate Phase

เฟสสุดท้ายนี้สัญญาณจะถูก Deintegrate โดยที่อินพุต low ภายในจะถูกต่อเป็นลักษณะ common mode และ เอาท์พุต high จะถูกต่อในลักษณะคร่อม C_{ref} ทำให้วงจรภายในซีพเสมือนถูกต่อด้วย C ที่ถูกขับเป็นสาเหตุให้ภาค Integrator ให้ เอาท์พุต เป็น 0 ซึ่งเวลาที่ใช้ในการเปลี่ยนเป็น 0 นี้จะแปรผันตามสัญญาณอินพุตซึ่งขณะนี้ Display ควรจะมีค่าได้เท่ากับ $1000[V_{IN}/V_{REF}]$

2. ส่วน Digital

ใน ICL 7106 Digital ground ภายในถูกสร้างจาก zener 6V และ p - channel Fet ที่ต่อลักษณะ source follower (common drain) ค่าแรงดัน DC-GND นี้ถูกสร้างเพื่อรองรับกระแสสูงของ capacitor ขณะที่ backplane voltage ถูกสวิตช์

สำหรับความถี่ของ backplan (BP) frequency มีค่าเท่ากับ $F_{clk} / 800$ ซึ่งประมาณ 60 Hz square wave ที่มีขนาด 5 โวลต์ และ segments ก็จะถูกขับด้วยขนาดความถี่, Amplitude in phase ด้วยค่า BP นี้เมื่อสวิตช์ OFF แต่จะมีขนาด out of phase เมื่อสวิตช์ ON



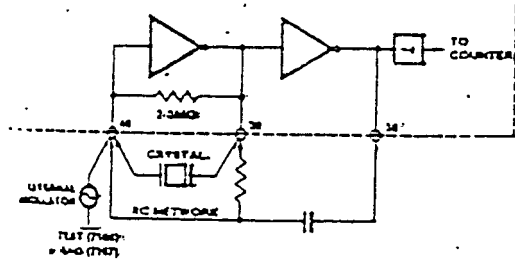
รูปที่ 4.10 DIGITAL SECTION

System timing

ICL7106, ICL7107 สามารถออกแบบวงจร clock พื้นฐานได้ 3 แบบคือ

1. ใช้ oscillator จากภายนอก
2. ใช้ CRYTAL
3. ใช้ R -C oscillator ซึ่งเป็นวิธีที่ถูกใช้ในโครงงานนี้สำหรับวงจรการต่อ

เข้ากับ DC แสดงดังรูปที่ 4.11



รูปที่ 4.11 วงจรกำเนิดสัญญาณนาฬิกา

ค่าความถี่ osc จะถูกหาร 4 ก่อนจะส่งให้ภาค counter และจ่ายให้ภาคการทำงานทั้ง 3 คือ

- ภาค signal integrate ใช้ 1000 count
- ภาค reference de-integrate ใช้ 0 - 2000 count
- ภาค auto - zero ใช้ 1000 - 3000 count

เมื่อเสร็จสิ้นขบวนการอ่านทั้ง 3 ภาคจะใช้ความถี่ osc $\approx 48 \text{ kHz}$

การกำหนดย่านวัตสูงสุด

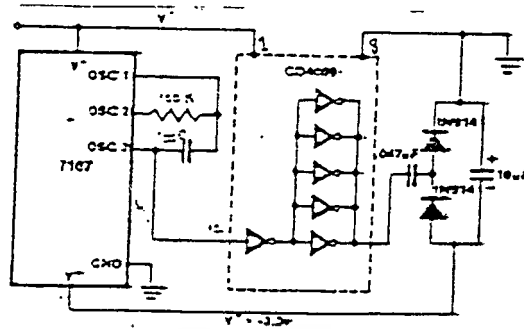
ค่าแรงไฟอินพุทที่จะวัดได้สูงสุดนั้น จะมีค่าเท่ากับ 2 เท่าของแรงไฟ Vref นั่นคือ หากเราต้องการวัดสัญญาณ อินพุทที่มีความแรงเต็มย่านวัด 200 มิลลิโวลท์ แล้วละก็เราจะต้องปรับให้ Vref มีค่าเท่ากับ 100 มิลลิโวลท์ หรือหากต้องการย่านวัดสูงสุด 2 โวลท์ เราจะต้องปรับให้ Vref เท่ากับ 1 โวลท์

วงจรถูกกำเนิดสัญญาณคลออด

หัวใจในการทำงานของวงจรถูกกำเนิดสัญญาณคลออด สำหรับวงจรถูกกำเนิดความถี่ที่เหมาะสม สำหรับการใช้งานคือ 48 KHz

ซึ่งวงจรถูกกำเนิดสัญญาณคลออดอาจทำได้หลายรูปแบบ เช่น นำสัญญาณจากวงจรถูกกำเนิด ความถี่จากภายนอกมาต่อเข้ากับขา 40 โดยตรง หรืออาจใช้คริสทาล์ ค่าความถี่ที่ต้องการต่อคร่อมระหว่าง ขา 39 - 40 ก็ได้ ส่วนวิธีที่ง่ายที่สุดคือ ต่อเป็นวงจรถูก R-C ออสซิลเลเตอร์ ดังรูปที่ 4.11 และสามารถคำนวณค่า R-C ได้จาก

$$F = 0.45 / RC$$



รูปที่ 4.12 วงจรสร้างไฟลอป

ในการคำนวณเราอาจเปลี่ยนแปลงค่าคาปาซิเตอร์ให้ได้ความถี่ที่ต้องการได้ โดยกำหนดค่ารีซิสเตอร์ $100\text{ k}\Omega$ เท่านั้น และที่ความถี่ 48 KHz จะได้ค่า C เท่ากับ 100 PF เรฟเฟอเรนซ์คาปาซิเตอร์ (C_{ref}) ที่ต่ออยู่ระหว่างขา 33 - 34 นั้น เราใช้ค่า 0.1 uF เป็นอย่างน้อย

อินทิเกรตริงรีซิสเตอร์ ($R_{int.}$) ซึ่งต่อที่ขา 28 นั้น จะต้องใช้ค่าที่เหมาะสม ขึ้นอยู่กับย่านวัดสูงสุดที่ต้องการ เช่นที่ย่านวัด 2 โวลท์ เราให้ค่า $R = 470\text{ K}$ และในวงจรของเราที่กำหนดย่านวัดสูงสุด 200 มิลลิโวลท์ จะได้ค่า R เท่ากับ $47\text{ K}\Omega$

อินทิเกรตคาปาซิเตอร์ (C_{int})

ในกรณีที่เราใช้ความถี่คล็อก 48 KHz . นั้นควรใช้ค่า 0.22 uF ออโตซีโรคาปาซิเตอร์ Autozero เป็นคาปาซิเตอร์ที่ทำหน้าที่ให้วงจรแสดงผลเป็นศูนย์ ในขณะที่ไม่มีสัญญาณอินพุท การกำหนดค่า C ขึ้นอยู่กับย่านวัด เช่น ย่านวัด 2 โวลท์ เราใช้ค่า 0.047 uF และที่ย่านวัด 200 มิลลิโวลท์ เราใช้ค่า 0.47 uF

เพาเวอร์ซัพพลาย

โดยปกติแรงไฟที่เลี้ยงวงจรประกอบด้วยไฟบวก 9V , ไฟลบ 9V และกราวนด์ โดยใช้แบตเตอรี่ แต่หากต้องการความสะดวกในการใช้งาน ก็อาจเปลี่ยนมาใช้แบตเตอรี่จ่ายไฟบวกให้กับวงจรเพียงด้านเดียว แล้วสร้างวงจรแปลงไฟลบขึ้นใหม่ได้ดังรูปที่ 4.12

การทำงานของวงจรสร้างไฟลบอย่างง่าย ๆ ก็คือ การนำเอาสัญญาณคล็อกจากขา 38 ของไอซีมาผ่านวงจรอินเวรเทอร์ และวงจรเรกติไฟร์แบบฮาล์ฟเวฟโวลเตจดับเบิลอร์ ได้เป็นไฟลบ ไปเลี้ยงไอซีที่ขา 26

$C_{X1}, C_{X2}, C_{Y1}, C_{Y2}$ ทำหน้าที่กรองแรงดันจากแบตเตอรี่ให้เรียบมากขึ้น

ในรูปที่ 4.13 เป็นวงจรดิจิทัลมิเตอร์ ที่ออกแบบสำหรับการทำงานจริง โดยกำหนดย่านวัดสูงสุดเท่ากับ 200 มิลลิโวลต์

การสร้าง

ให้ประกอบอุปกรณ์ตามวงจรในรูปที่ Fig 4.4 ให้ถูกต้องเรียบร้อย บ้อนไฟให้กับวงจรตรวจสอบจะต้องได้ไฟลบ 5 โวลต์ ที่ขา 26 ของไอซี ซึ่งแสดงว่าวงจรแอสซิลเลเตอร์ทำงานถูกต้องปรับ V_{R14} ให้แรงไฟที่ขา 36 เท่ากับ 100 มิลลิโวลต์ ทดลองต่อขา 37 เข้ากับไฟบวกตัวเลขจะแสดงผลเป็น 1888 แสดงว่าวงจรไอซีทำงานถูกต้อง ทดลองขอร์ทอินพุต ตัวเลขจะแสดงผลเป็น 000 หากไม่เป็นเช่นนี้แสดงว่าวงจรออสซิลเลเตอร์ทำงานไม่ถูกต้อง อาจต้องเพิ่มค่าคาปาซิเตอร์ให้สูงขึ้น

4.4.10 การทำงานของ LCD

ทำหน้าที่แปลงระดับสัญญาณดิจิทัลเป็นตัวเลขแบบ 7-Segment มี 3 หลักครึ่ง

- Dot มี 3 dot ถูกเลือกโดยสวิตช์ S_2 , ซึ่งทำหน้าที่ปรับ Range ของการวัดให้สัมพันธ์กับปริมาณสนามแม่เหล็กจากภายนอก Dot จะสว่างเมื่อถูกเลือกโดย $S_{2/3}$ จ่ายไฟเลี้ยง Logic High บ้อนให้แก่ Ic_8 เพื่อบ้อน Logic High ของ LCD แสดงเป็นจุดทศนิยม

- ขั้ว (-), (+) 1] จะแสดงผลค่าเป็นบวกเพื่ออาศัยจาก U_5 เป็นไฟบวก(ครึ่งบวก) มากกว่าแรงดัน V_{ref}

2] แสดงผลเป็นลบเมื่อระดับไฟจาก U_5 เป็นสัญญาณซีกลบ (ครึ่งลบ) น้อยกว่าระดับ V_{ref}

ICL 7106 for Delve LCD*

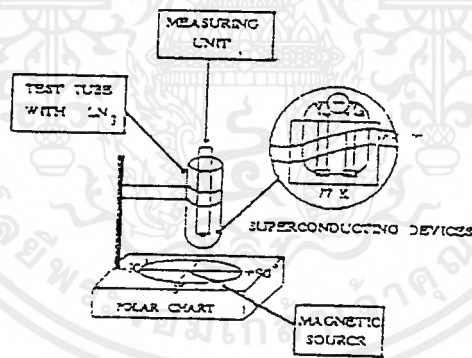
ICL 7107 for Delve LED

*3 หลัก ครึ่ง digital single chip, A/D converter

บทที่ 5

ผลการทดลอง

ในการศึกษาความสัมพันธ์ระหว่างแรงดันจากหัววัดสนามแม่เหล็กชนิดตัวนำไฟฟ้ายิ่งยวดกับทิศทางที่ผ่านมา แสดงให้เห็นว่าหัววัดสนามแม่เหล็กดังกล่าวมีคุณสมบัติไม่ขึ้นกับทิศทาง (isotropic property) ทำให้สามารถนำไปวัดสัญญาณสนามแม่เหล็ก โดยปราศจากความเพี้ยนและมีความสม่ำเสมอของสัญญาณเอาท์พุทไม่ว่าจะมีสนามแม่เหล็กมากระทำในทิศทางใด ซึ่งเป็นคุณสมบัติที่แตกต่างจากหัววัดสนามแม่เหล็กชนิดกึ่งตัวนำที่ใช้ปรากฏการณ์ฮอลล์ ซึ่งจะมีคุณสมบัติที่ขึ้นกับทิศทางกล่าวคือ ขนาดของสนามแม่เหล็กที่วัดได้จะสัมพันธ์กับทิศทางซึ่งจะมีข้อจำกัดคืออาจก่อให้เกิดความเพี้ยนและขนาดของเอาท์พุทที่ลดลงขึ้นได้ หากว่ามีมุมระหว่างระนาบของหัววัดกับสนามแม่เหล็กหรือมุมอะซิมุทที่ไม่ตั้งฉาก อย่างไรก็ตามหัววัดสนามแม่เหล็กชนิดตัวนำไฟฟ้ายิ่งยวดมีความเป็นไปได้ในการวัดทิศทางของสนามแม่เหล็ก โดยใช้โครงสร้างของหัววัดแบบคู่ ด้วยเหตุนี้ทางห้องปฏิบัติการตัวนำไฟฟ้ายิ่งยวดจึงได้คิดค้นอุปกรณ์ตรวจหาทิศทางของแหล่งจ่ายสนามแม่เหล็กชนิดตัวนำไฟฟ้ายิ่งยวดขึ้นมาเพื่อที่จะเป็นแนวทางการพัฒนาการประยุกต์ใช้งานของหัววัดสนามแม่เหล็กชนิดตัวนำไฟฟ้ายิ่งยวดให้ได้กว้างขวางขึ้น

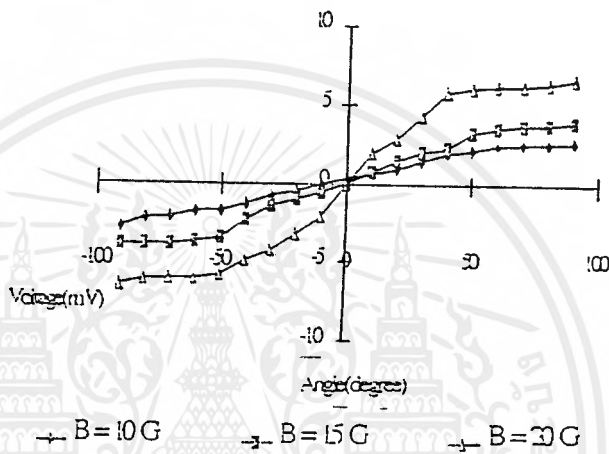


รูปที่ 5.1 ลักษณะการจัดวางหัววัด

การทดลอง

การทดลองเพื่อที่จะศึกษาคุณสมบัติในเชิงทิศทางของหัววัดสนามแม่เหล็กชนิดตัวนำไฟฟ้ายิ่งยวด สามารถแสดงได้ดังแผนภาพในรูปที่ 4.1.1 และรูปที่ 5.1 วงจรวัดสนามแม่เหล็กที่ใช้ในการทดลองในรูปที่ 4.1.1 ประกอบด้วยแหล่งกำเนิดกระแสตรงที่, หัววัดสนามแม่เหล็ก, สแกนเนอร์เข้า 2 ออก 1 แบบดิฟเฟอเรนเชียลและนาโนโวลต์มิเตอร์ ส่วนชุดเครื่องมือที่ใช้ทดลอง และโครงสร้างของหัววัดสนามแม่เหล็กแสดงดังรูปที่ 5.1 ในการทดลองนี้ใช้กระแสไบอัส 50 mA อุณหภูมิ 77 K ขนาดของชิ้นสาร A และ B เป็น $3 \times 6 \times 1 \text{ mm}^3$ โดยมีระยะห่างของขั้วของแรงดันเป็น 3 mm. และระยะห่างระหว่างชิ้นสารเป็น 11

mm. โดยวัดความแตกต่างของแรงดันตกคร่อมหัววัดสนามแม่เหล็กชั้น B เทียบกับชั้น A กับมุมระหว่างเส้นแบ่งครึ่งของหัววัดทั้งสองกับแหล่งจ่ายสนามแม่เหล็กจาก -90° ถึง $+90^\circ$ ที่ขนาดสนามแม่เหล็ก 1.0, 1.5 และ 2.0 mT ตามลำดับ สำหรับแต่ละค่าสนามแม่เหล็กที่ $\theta = 0^\circ$ พิจารณาให้เป็นแรงดันออฟเซทของหัววัดที่จะต้องปรับให้เป็นศูนย์ก่อนที่จะทำการวัดที่มุมต่าง ๆ จากนั้นนำค่าที่วัดได้มาเขียนกราฟโดยให้ความแตกต่างของแรงดันด้วยแกน Y และมุมของสนามแม่เหล็กแสดงด้วยแกน X โดยมีพารามิเตอร์คือ ขนาดสนามแม่เหล็ก 3 ค่าดังกล่าว



รูปที่ 5.2 แสดง VOLTAGE-ANGLE ของตัวนำไฟฟ้ายิ่งยวด

ผลที่ได้จากการทดลองหาความสัมพันธ์ระหว่างความแตกต่างของแรงดันของหัววัดทั้งสองกับมุมของสนามแม่เหล็กที่สนามแม่เหล็กค่าต่าง ๆ แสดงดังรูปที่ 5.2 และตารางแสดงค่าความไวของหัววัด (sensitivity) ความละเอียด (resolution) และค่าความกว้างของมุมการวัด (beam width) ที่สัมพันธ์กับค่าสนามแม่เหล็กแสดงในตารางที่ 1

B(mT) (at $\theta=0^\circ$)	Sensitivity (mV/deg.)	Resolution (deg.) (at $\Delta V=0.01\text{mV}$)	Beam Width (deg.) (at $\Delta V/\Delta\theta=0$)
1.0	0.04	0.25	180
1.5	0.07	0.14	140
2.0	0.12	0.08	100

ตารางที่ 1 ผลการทดลอง

การทดลองเพิ่มเติม

Isc = 80 mA					Isc = 100 mA				
B (mm)	ครั้งที่ 1 Vsc (mV)	ครั้งที่ 2 Vsc (mV)	ครั้งที่ 3 Vsc (mV)	ครั้งที่ 4 Vsc (mV)	B (mm)	ครั้งที่ 1 Vsc (mV)	ครั้งที่ 2 Vsc (mV)	ครั้งที่ 3 Vsc (mV)	ครั้งที่ 4 Vsc (mV)
10	0.4	0.42	0.41	0.43	10	0.7	0.71	0.72	0.71
20	0.8	0.80	0.81	0.83	20	1.0	1.10	1.10	1.10
40	0.9	0.91	0.90	0.91	40	1.3	1.30	1.31	1.30
60	0.9	0.91	0.91	0.91	60	1.4	1.41	1.40	1.41
80	0.9	0.90	0.91	0.91	80	1.45	1.45	1.46	1.45
100	0.9	0.91	0.91	0.92	100	1.45	1.45	1.46	1.46

Isc = 150 mA					Isc = 200 mA				
B (mm)	ครั้งที่ 1 Vsc (mV)	ครั้งที่ 2 Vsc (mV)	ครั้งที่ 3 Vsc (mV)	ครั้งที่ 4 Vsc (mV)	B (mm)	ครั้งที่ 1 Vsc (mV)	ครั้งที่ 2 Vsc (mV)	ครั้งที่ 3 Vsc (mV)	ครั้งที่ 4 Vsc (mV)
10	1.5	1.52	1.51	1.52	10	2.5	2.5	2.5	2.5
20	2.1	2.0	2.1	2.1	20	3.3	3.3	3.3	3.3
40	2.3	2.3	2.3	2.3	40	3.5	3.5	3.5	3.5
60	2.5	2.5	2.5	2.5	60	3.6	3.5	3.55	3.57
80	2.55	2.55	2.45	2.47	80	3.7	3.71	3.75	3.75
100	2.55	2.55	2.55	2.56	100	3.7	3.7	3.7	3.7

จากข้อมูลจากการพบว่า ช่วงลิเนียร์ของ Superconductor. ที่เหมาะสมที่ใช้งานคือ 0-10 mm

ตารางที่ 2 ผลการทดลอง B-V_{sc} เพื่อหาช่วงลิเนียร์ของ Superconductor

เอกสารนี้เป็นเอกสารที่สงวนไว้สำหรับการใช้งานเพื่อการศึกษาเท่านั้น ไม่อนุญาตให้นำไปใช้ประโยชน์ด้านการค้า
ไม่ว่ากรณีใดๆ ทั้งสิ้น อีกทั้งห้ามมิให้ดัดแปลงเนื้อหาและต้องอ้างอิงถึงเจ้าของเอกสารทุกครั้งที่มีการนำไปใช้

วิเคราะห์ผลการทดลอง

ในการตรวจจับสนามแม่เหล็กโดยใช้ตัวนำไฟฟ้าที่ยาว แรงดันตกคร่อมชิ้นสารที่ได้รับการไบอัสแล้ว จะแปรโดยตรงกับสนามแม่เหล็กภายนอกจนกว่าขนาดสนามแม่เหล็กจะเกินกว่าขนาดสนามแม่เหล็กวิกฤตซึ่งจะทำให้หัววัดอ้อมตัว และแรงดันเอาร์ทพุทจะมีขนาดสม่ำเสมอไม่ขึ้นกับทิศทางของสนามแม่เหล็ก ด้วยเหตุนี้หากใช้หัววัดสองชิ้นในการวัดขนาดสนามแม่เหล็กเพื่อให้ความแตกต่างของระยะทางจากแม่เหล็กไปยังหัววัดทั้งสองที่สัมพันธ์กับมุม ซึ่งก่อให้เกิดความแตกต่างของสนามแม่เหล็ก และแรงดันที่สัมพันธ์กับมุมของสนามแม่เหล็กด้วย โดยอาศัยหลักการดังกล่าว จึงได้ทำการศึกษาค้นคว้าหัววัดสนามแม่เหล็กแบบตัวนำไฟฟ้าที่ยาวที่มีโครงสร้างของหัววัดคู่ เพื่อตรวจหาทิศทางของสนามแม่เหล็กสามารถแสดงจากกราฟความสัมพันธ์ระหว่างความแตกต่างของแรงดันของหัววัดทั้งสองกับมุมของสนามแม่เหล็ก ที่สนามแม่เหล็กค่าต่าง ๆ ดังรูปที่ 5.2 พบว่า แรงดันจากหัววัดมีการเปลี่ยนแปลงกับมุมของสนามแม่เหล็กที่ชัดเจน กล่าวคือหัววัดสามารถจำแนกมุมของแม่เหล็กด้วยเครื่องหมายและขนาดของแรงดัน นอกจากนี้เมื่อพิจารณาจากกราฟดังกล่าวจะเห็นว่าขนาดสนามแม่เหล็กที่มุมศูนย์ของสามิผลต่อลักษณะสมบัติของหัววัดสนามแม่เหล็ก ที่พิจารณาได้แก่ ความไวของหัววัด (sensitivity) ความละเอียด (resolution) และความกว้างของมุมการวัด (beam width) ดังแสดงในตารางที่ 1

ความไวของหัววัด (Sensitivity ; S) เป็นปริมาณที่บอกถึงแรงดันที่เปลี่ยนแปลงเนื่องจากการตอบสนองของหัววัดเมื่อมุมเปลี่ยนแปลงไป 1 องศา

$$S = [\Delta V / \Delta \theta] \quad [mV/deg].....(1)$$

ความละเอียด (Resolution ; R) เป็นปริมาณที่บอกถึงมุมที่เล็กที่สุดที่หัววัดสามารถแสดงผลได้หาได้จากความชันของกราฟที่ตัดผ่านมุมศูนย์ของสามิหน่วยเป็นมิลลิโวลต์ต่อองศา

(mV / deg.) ความละเอียดหาได้จากส่วนกลับของความไวของหัววัดคูณกับค่าความละเอียดของเครื่องมือวัด ซึ่งมีหน่วยเป็นองศา (deg.)

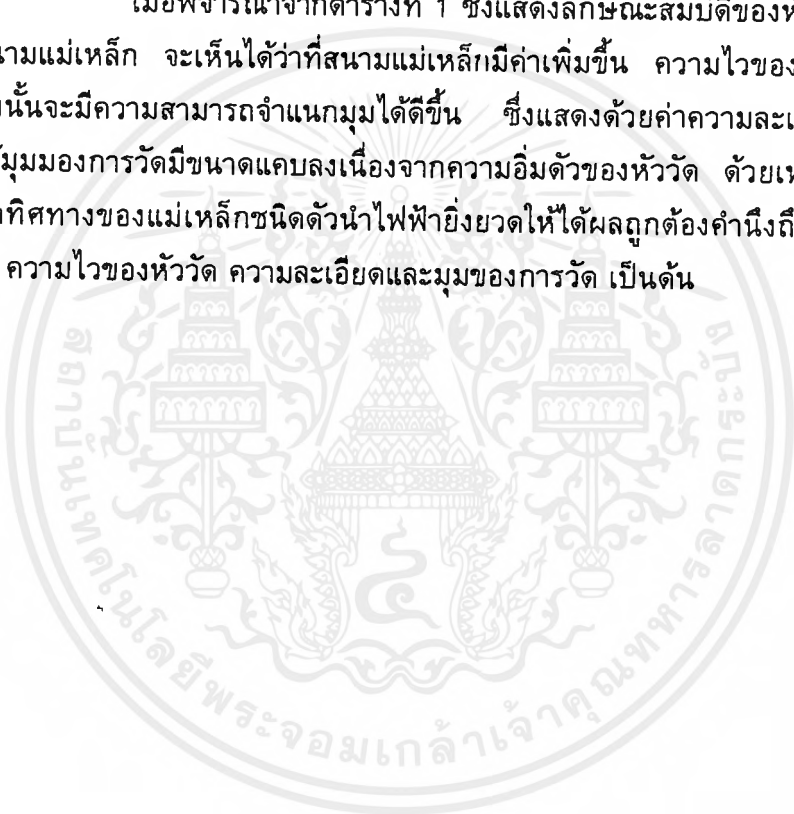
$$[RESOLUTION AT=0.01mV] = [0.01mV/S] \quad [deg].....(2)$$

ความกว้างของมุมการวัดเป็นปริมาณที่บอกถึงช่วงของมุมที่หัววัดสามารถตอบสนองได้ หาได้จากความแตกต่างของมุมของแม่เหล็กที่ทำให้หัววัดอิ่มตัวหรือที่แรงดันจากหัววัดไม่เปลี่ยนแปลงกับมุมมีหน่วยเป็นองศา (deg.)

$$\text{BEAM WIDTH} = 2\theta_{\text{SAT}}$$

$$\theta_{\text{SAT}} = \theta \text{ (at } \Delta V / \Delta \theta = 0 \text{) ; } 0 < \theta < 90^\circ \quad \text{.....(3)}$$

เมื่อพิจารณาจากตารางที่ 1 ซึ่งแสดงลักษณะสมบัติของหัววัดที่สัมพันธ์กับค่าสนามแม่เหล็ก จะเห็นได้ว่าที่สนามแม่เหล็กมีค่าเพิ่มขึ้น ความไวของหัววัดจะมีค่าเพิ่มขึ้นดังนั้นจะมีความสามารถจำแนกมุมได้ดีขึ้น ซึ่งแสดงด้วยค่าความละเอียดที่ลดลงแต่จะทำให้มุมมองการวัดมีขนาดแคบลงเนื่องจากความอิ่มตัวของหัววัด ด้วยเหตุนี้ในการใช้งานหัววัดทิศทางของแม่เหล็กชนิดตัวนำไฟฟ้ายิ่งยวดให้ได้ผลถูกต้องจำเป็นถึงค่าของสนามแม่เหล็ก ความไวของหัววัด ความละเอียดและมุมของการวัด เป็นต้น



บทที่ 6

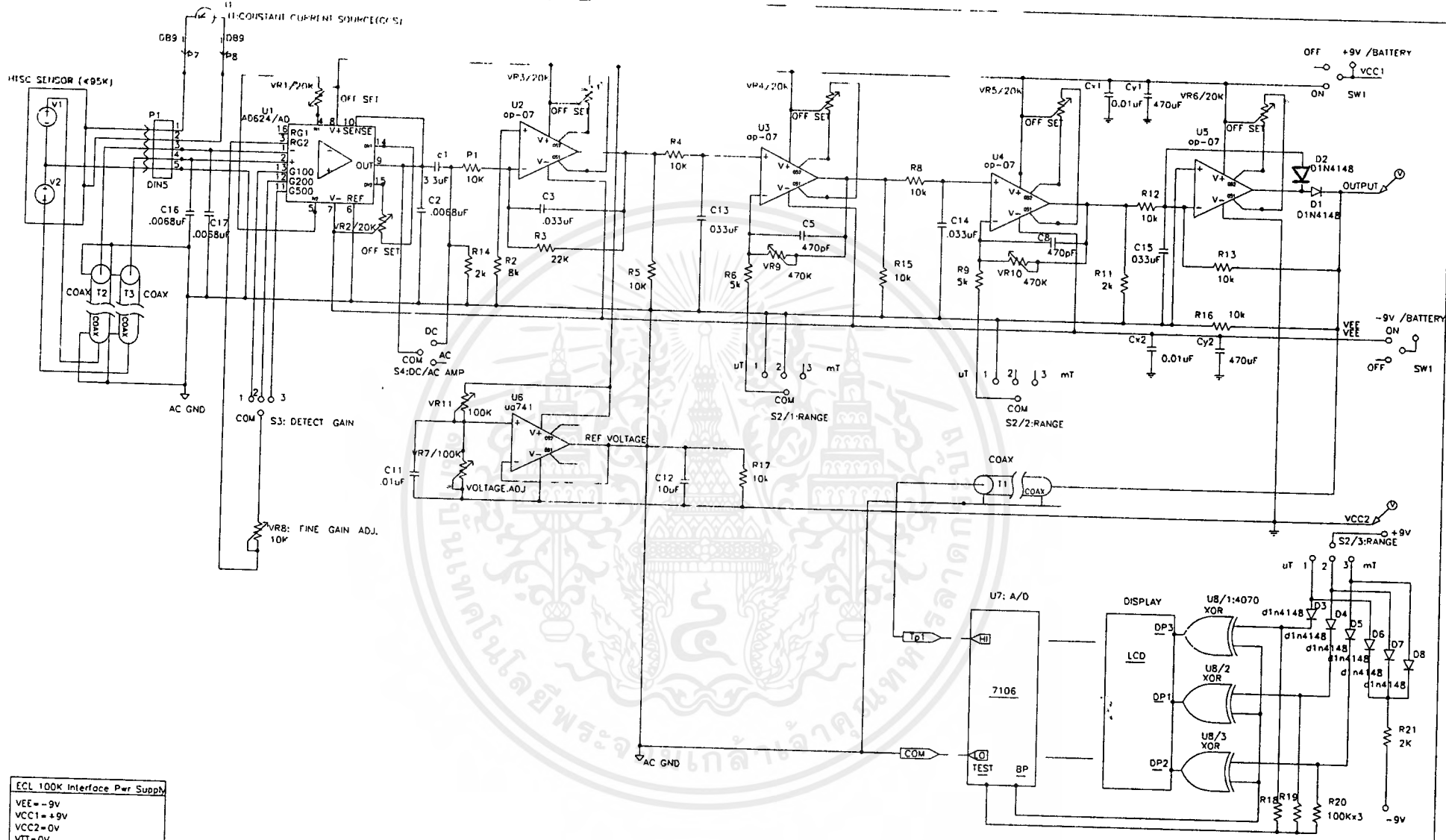
บทสรุป

ในโครงการนี้ได้กล่าวถึงการประยุกต์ใช้งานห้วัดสนามแม่เหล็กชนิดตัวนำไฟฟ้ายิ่งยวดแบบเซรามิก ในการวัดทิศทางของสนามแม่เหล็ก โดยใช้โครงสร้างห้วัดตัวนำไฟฟ้ายิ่งยวดแบบคู่ ซึ่งจะอาศัยคุณสมบัติที่ไม่ขึ้นกับทิศทางของสนามแม่เหล็กเพื่อใช้ในการตรวจวัดผลความแตกต่างของแรงดันจากห้วัด เนื่องจากมุมและขนาดของสนามแม่เหล็กที่มีค่าต่าง ๆ กัน พบว่ากระแสไบอัส 50 mA ความไวของห้วัดมีค่าระหว่าง 0.04 - 0.12 mV / deg โดยสนามที่ใช้วัดควรมีค่าน้อยกว่า 1.5 mT เพื่อไม่ให้ห้วัดเกิดการอิ่มตัว ส่วนความละเอียดของห้วัดมีค่าระหว่าง 0.08 - 0.25 องศา (ที่ความละเอียดของเครื่องมือเป็น 0.01 mV) และความกว้างของมุมการวัดมีค่าระหว่าง 100 - 180 องศา ผลจากการศึกษาดังกล่าวแสดงให้เห็นถึงความเป็นไปได้ในการประยุกต์ใช้งานตัวนำไฟฟ้ายิ่งยวด เพื่อใช้ตรวจหาทิศทางของแหล่งจ่ายสนามแม่เหล็ก อย่างไรก็ตามโครงการนี้ได้นำเสนอไปเป็นการศึกษาในแนวกว้างจึงจำเป็นที่จะต้องทำการศึกษาในรายละเอียดของการจัดโครงสร้างของห้วัดลักษณะสมบัติของห้วัด การจำลองแบบในทางคณิตศาสตร์เพื่อหาพารามิเตอร์ที่เหมาะสม รวมไปถึงการออกแบบสร้างอุปกรณ์วัดทิศทางที่มีความแม่นยำสูงต่อไป

ภาคผนวก



เอกสารนี้เป็นเอกสารที่สงวนไว้สำหรับการใช้งานเพื่อการศึกษาเท่านั้น ไม่อนุญาตให้นำไปใช้ประโยชน์ด้านการค้า
ไม่ว่ากรณีใดๆ ทั้งสิ้น อีกทั้งห้ามมิให้ดัดแปลงเนื้อหาและต้องอ้างอิงถึงเจ้าของเอกสารทุกครั้งที่มีการนำไปใช้

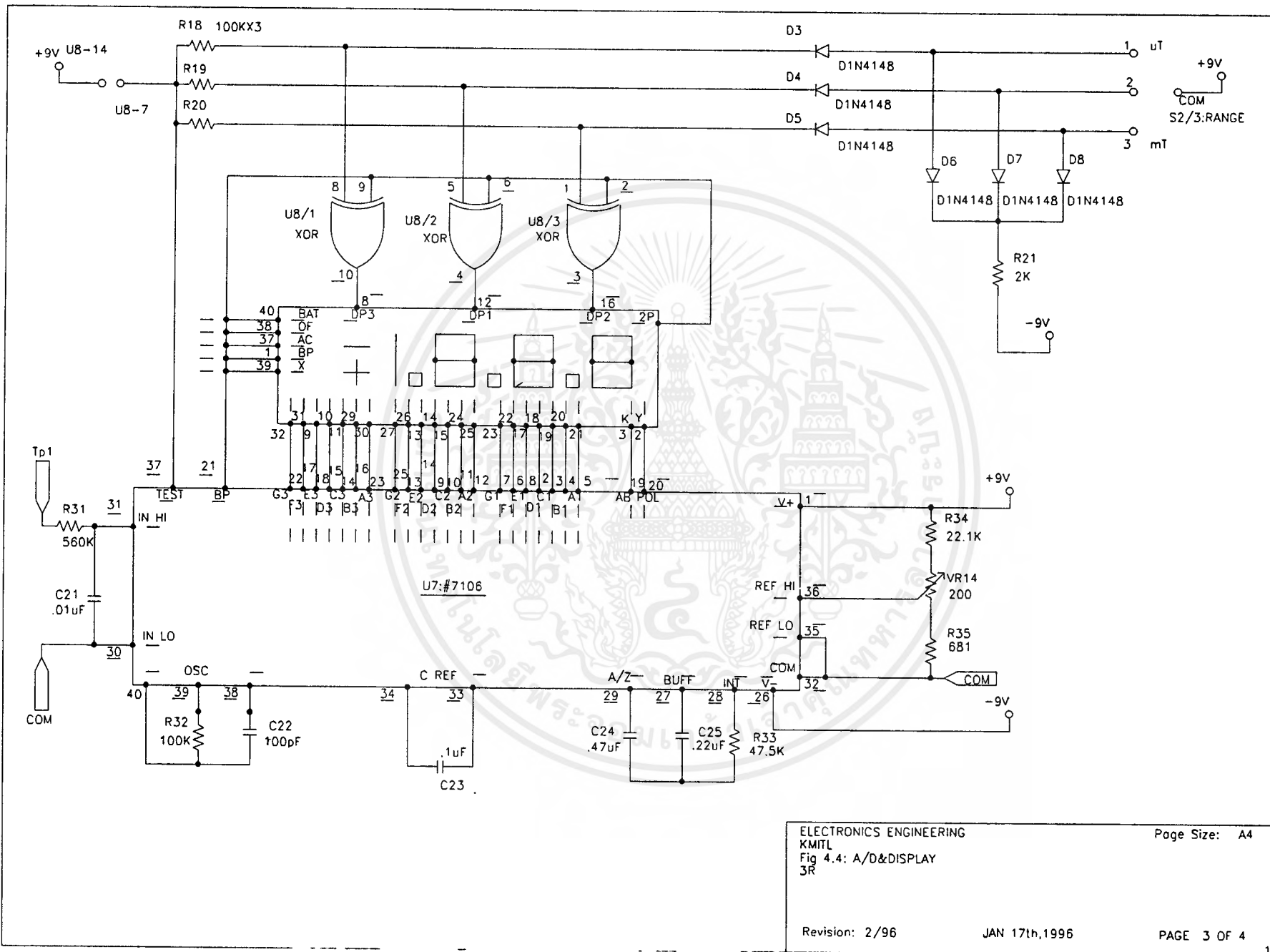


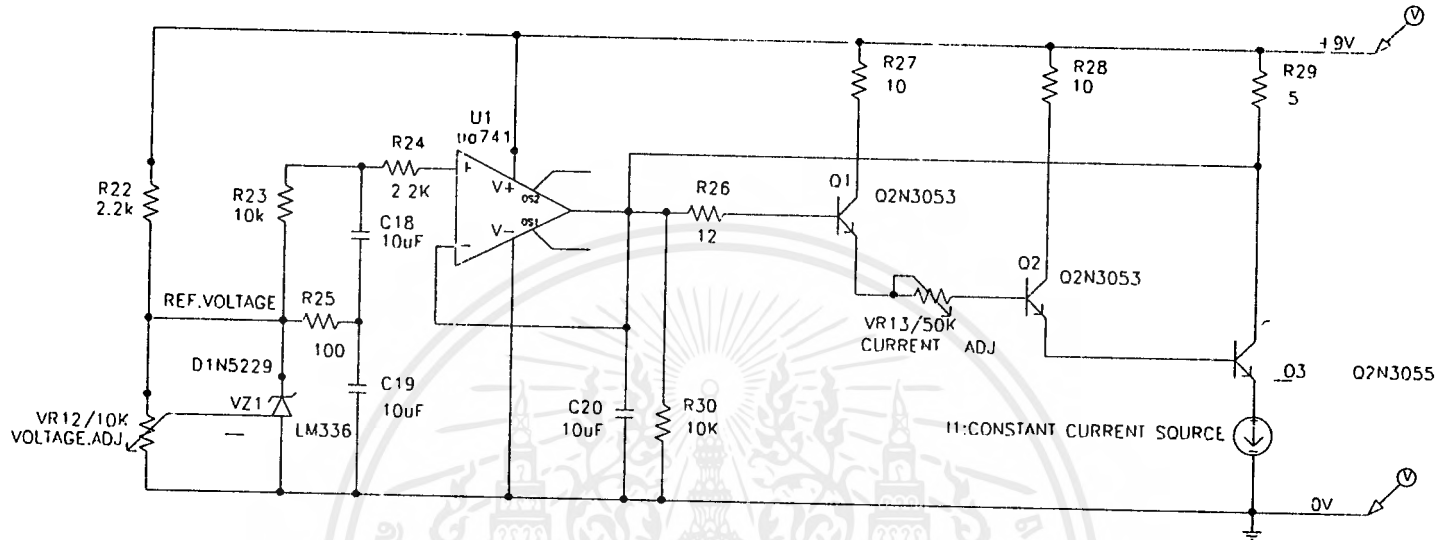
ECL 100K Interface Pwr Supply

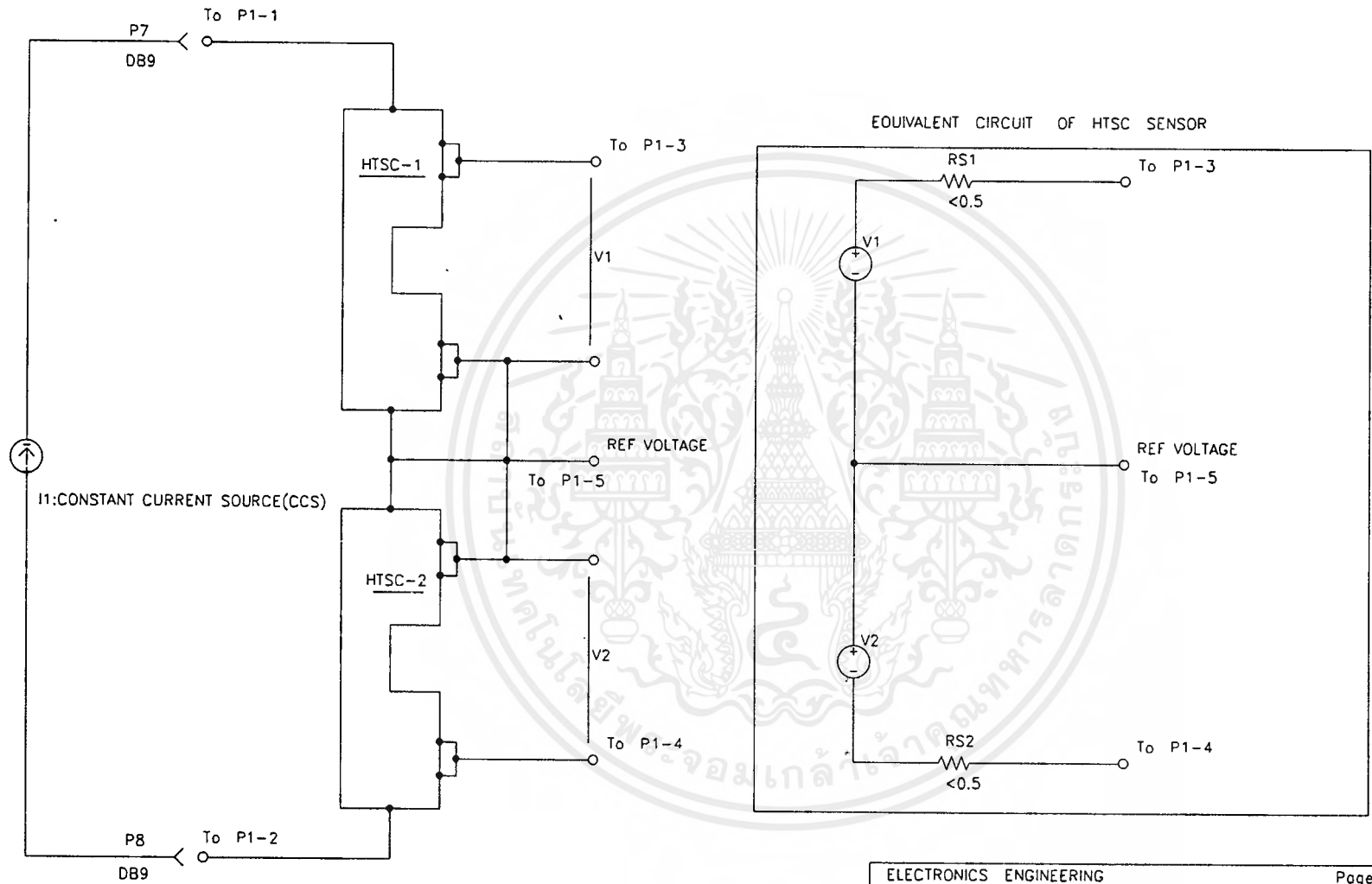
VEE = -9v
VCC1 = +9v
VCC2 = 0v
VIT = 0v

VEE_NODE = <VEE_Node>
VCC1_NODE = <VCC1_Node>
VCC2_NODE = <VCC2_Node>
VIT_NODE = <VIT_Node>

ECL_100K_PWR







ELECTRONICS ENGINEERING
 KMITL
 Fig 4.6: HTSC SENSOR
 3R

Page Size: A4

Revision: 2/96

JAN 17th, 1996

PAGE 4 OF 4

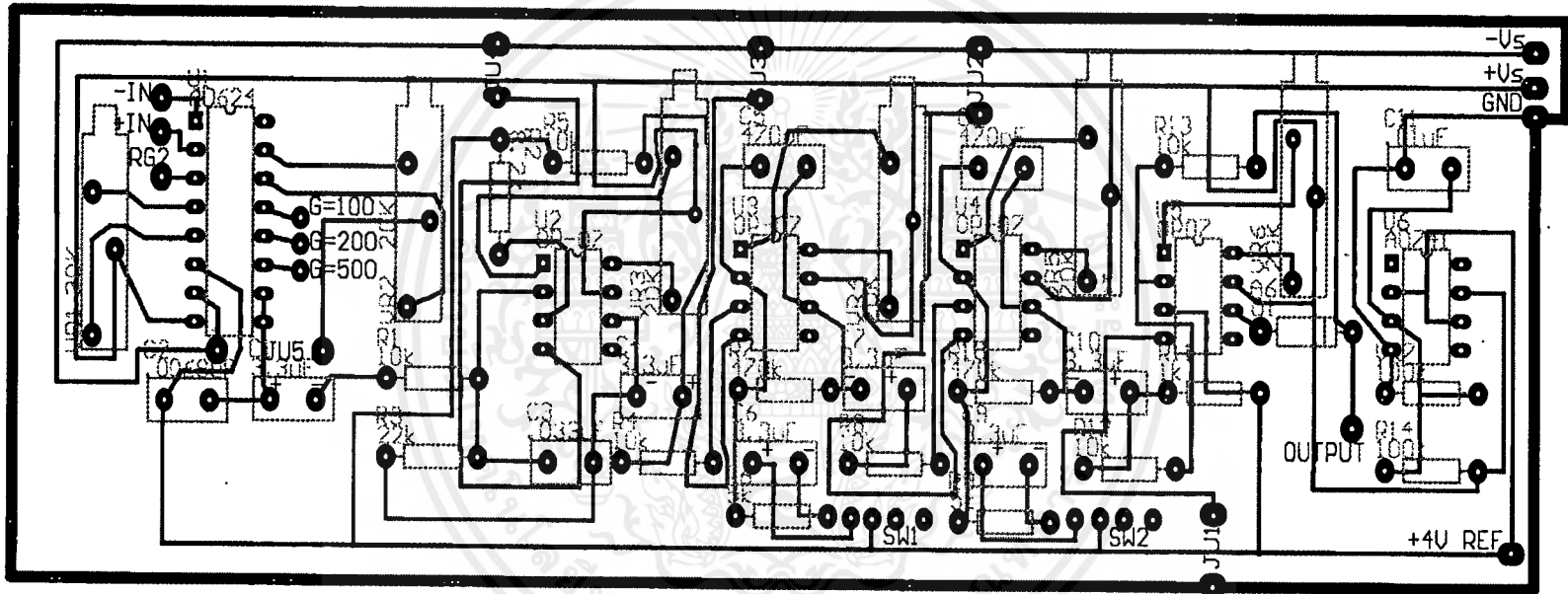


Fig. 4. 4: FLUX MEASUREMENT. COMPONE

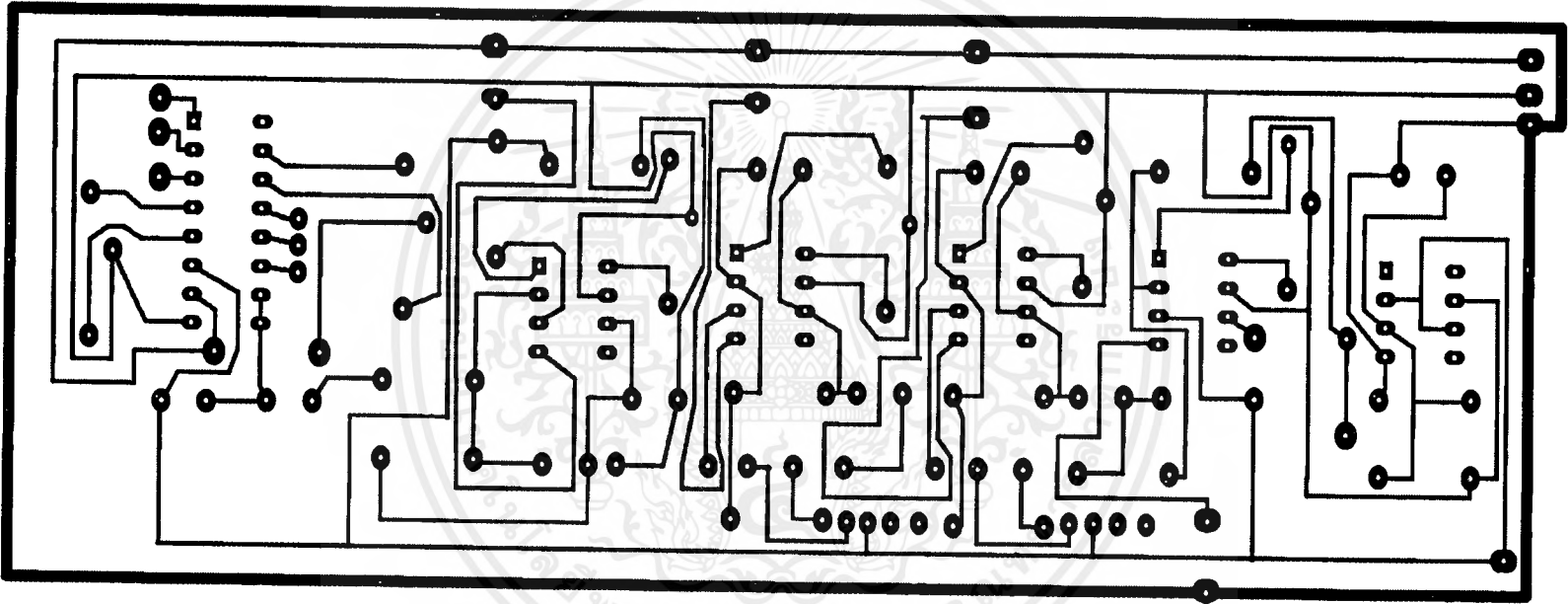
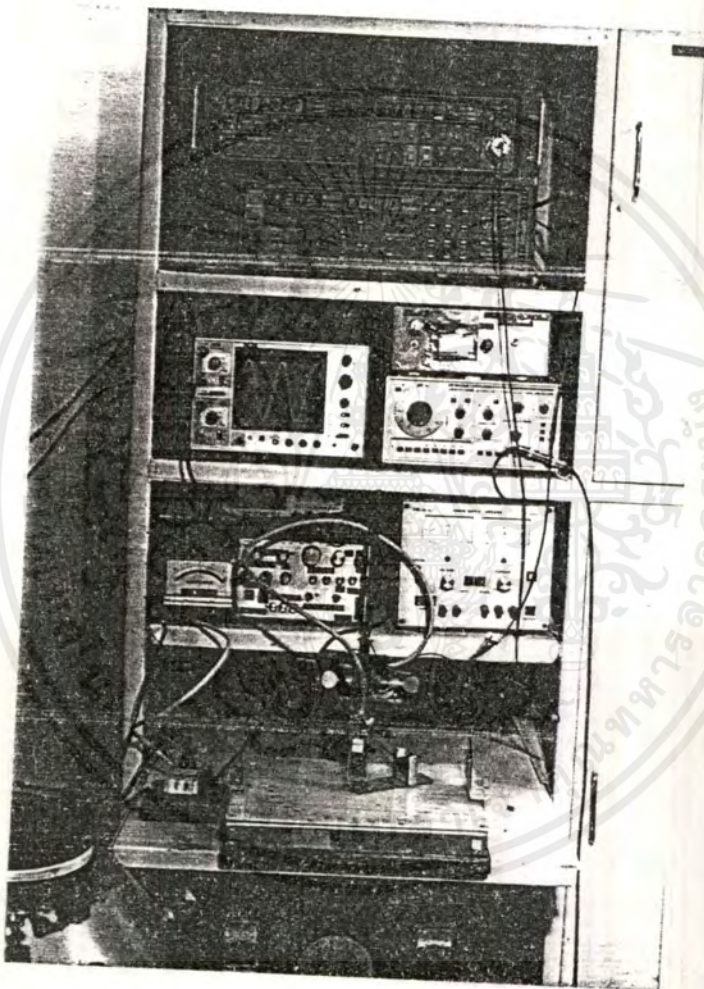
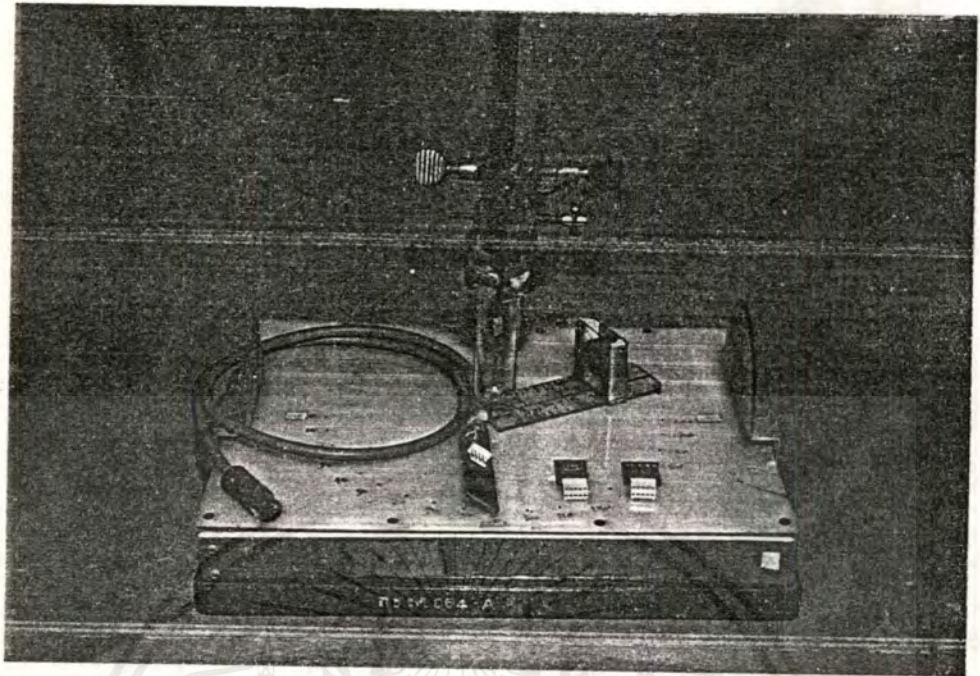


Fig. 4.5: FLUX MEASUREMENT.PCB

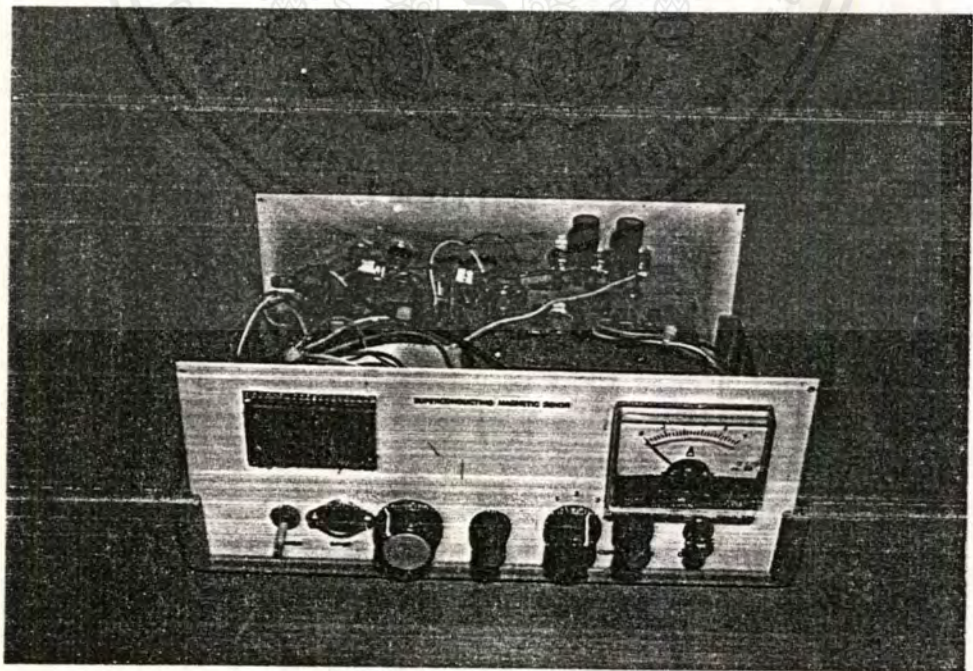


รูปที่ ก แสดงการวัดผลตัวนำไฟฟ้าเชิงขั้ว

เอกสารนี้เป็นเอกสารที่สงวนไว้สำหรับการใช้งานเพื่อการศึกษาเท่านั้น ไม่อนุญาตให้นำไปใช้ประโยชน์ด้านการค้า
ไม่ว่ากรณีใดๆ ทั้งสิ้น อีกทั้งห้ามมิให้ดัดแปลงเนื้อหาและต้องอ้างอิงถึงเจ้าของเอกสารทุกครั้งที่มีการนำไปใช้

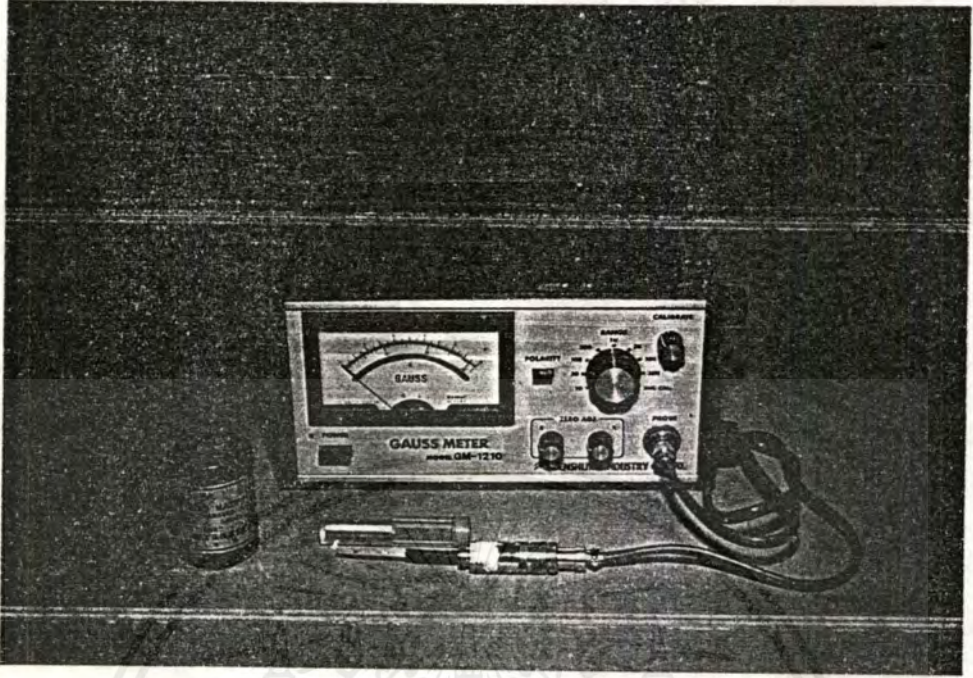


รูปที่ ข แสดงชุดอุปกรณ์ในการวัดผล

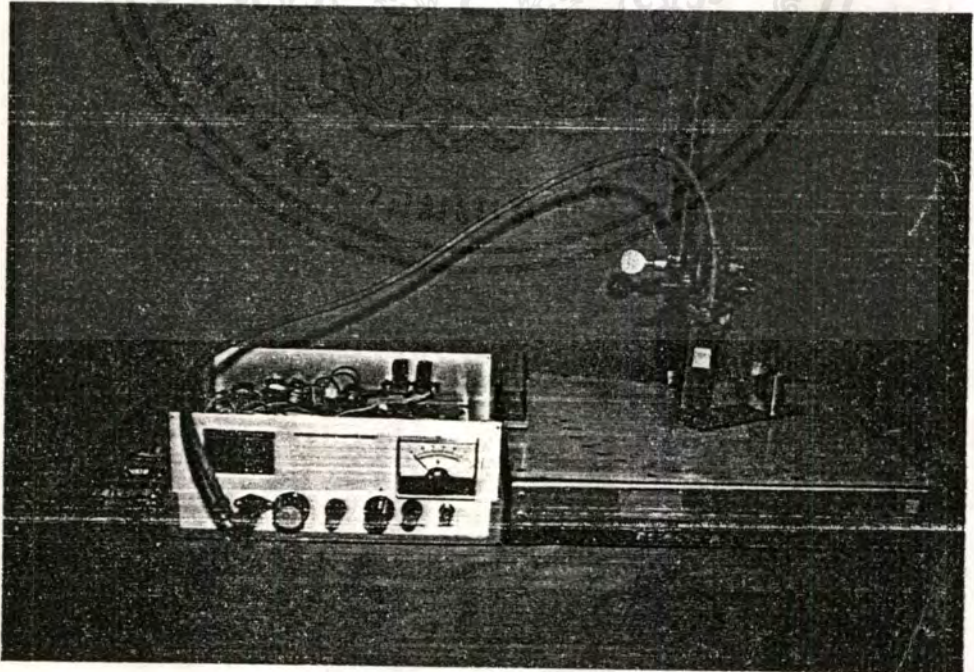


รูปที่ ค แสดงเครื่องมือวัดสนามแม่เหล็กที่ประกอบเสร็จแล้ว

เอกสารนี้เป็นเอกสารที่สงวนไว้สำหรับการใช้งานเพื่อการศึกษาเท่านั้น ไม่นิยมนำไปใช้ประโยชน์ด้านการค้า
ไม่ว่ากรณีใดๆ ทั้งสิ้น อีกทั้งห้ามมิให้ตัดแปลงเนื้อหาและต้องอ้างอิงถึงเจ้าของเอกสารทุกครั้งที่มีการนำไปใช้



รูปที่ ง แสดงเครื่องมือสำหรับ CALIBRATION



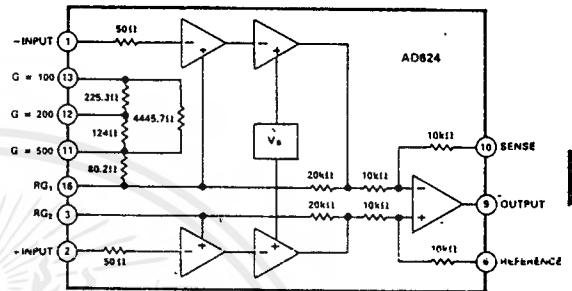
รูปที่ จ แสดงชุดประกอบการวัดสมบูรณ

เอกสารนี้เป็นเอกสารที่สงวนไว้สำหรับการใช้งานเพื่อการศึกษาเท่านั้น ไม่อนุญาตให้นำไปใช้ประโยชน์ด้านการค้า
ไม่ว่ากรณีใดๆ ทั้งสิ้น อีกทั้งห้ามมิให้ตัดแปลงเนื้อหาและต้องอ้างอิงถึงเจ้าของเอกสารทุกครั้งที่มีการนำไปใช้

FEATURES

- Low Noise: $0.2\mu\text{V}$ p-p 0.1Hz to 10Hz
- Low Gain TC: 5ppm max ($G = 1$)
- Low Nonlinearity: 0.001% max ($G = 1$ to 200)
- High CMRR: 130dB min ($G = 500$ to 1000)
- Low Input Offset Voltage: $25\mu\text{V}$, max
- Low Input Offset Voltage Drift: $0.25\mu\text{V}/^\circ\text{C}$ max
- Gain Bandwidth Product: 25MHz
- Pin Programmable Gains of 1, 100, 200, 500, 1000
- No External Components Required
- Internally Compensated

AD624 FUNCTIONAL BLOCK DIAGRAM



PRODUCT DESCRIPTION

The AD624 is a high precision low noise instrumentation amplifier designed primarily for use with low level transducers, including load cells, strain gauges and pressure transducers. An outstanding combination of low noise, high gain accuracy, low gain temperature coefficient and high linearity make the AD624 ideal for use in high resolution data acquisition systems.

The AD624C has an input offset voltage drift of less than $0.25\mu\text{V}/^\circ\text{C}$, output offset voltage drift of less than $10\mu\text{V}/^\circ\text{C}$, CMRR above 80dB at unity gain (130dB at $G = 500$) and a maximum nonlinearity of 0.001% at $G = 1$. In addition to these outstanding dc specifications the AD624 exhibits superior ac performance as well. A 25MHz gain bandwidth product, $5\text{V}/\mu\text{s}$ slew rate and $15\mu\text{s}$ settling time permit the use of the AD624 in high speed data acquisition applications.

The AD624 does not need any external components for pre-trimmed gains of 1, 100, 200, 500 and 1000. Additional gains such as 250 and 333 can be programmed within one percent accuracy with external jumpers. A single external resistor can also be used to set the 624's gain to any value in the range of 1 to 10,000.

PRODUCT HIGHLIGHTS

1. The AD624 offers outstanding noise performance. Input noise is typically less than $4\text{nV}/\sqrt{\text{Hz}}$ at 1kHz.
2. The AD624 is a functionally complete instrumentation amplifier. Pin programmable gains of 1, 100, 200, 500 and 1000 are provided on the chip. Other gains are achieved through the use of a single external resistor.
3. The offset voltage, offset voltage drift, gain accuracy and gain temperature coefficients are guaranteed for all pre-trimmed gains.
4. The AD624 provides totally independent input and output offset nulling terminals for high precision applications. This minimizes the effect of offset voltage in gain ranging applications.
5. A sense terminal is provided to enable the user to minimize the errors induced through long leads. A reference terminal is also provided to permit level shifting at the output.

SPECIFICATIONS (@ $V_S = \pm 15V$, $R_L = 2k\Omega$ and $T_A = +25^\circ C$ unless otherwise specified)

Model	AD624A			AD624B			AD624C			AD624S			Units
	Min	Typ	Max	Min	Typ	Max	Min	Typ	Max	Min	Typ	Max	
GAIN													
Gain Equation (External Resistor Gain Programming)	$\left[\frac{40,000}{R_G} + 1 \right] = 20\%$			$\left[\frac{40,000}{R_G} + 1 \right] = 20\%$			$\left[\frac{40,000}{R_G} + 1 \right] = 20\%$			$\left[\frac{40,000}{R_G} + 1 \right] = 20\%$			
Gain Range (Pin Programmable)	1 to 1000			1 to 1000			1 to 1000			1 to 1000			
Gain Error													
G = 1			± 0.05			± 0.03			± 0.02			± 0.05	%
G = 100			± 0.25			± 0.15			± 0.1			± 0.25	%
G = 200, 500			± 0.5			± 0.35			± 0.25			± 0.5	%
G = 1000			± 1.0			± 1.0			± 1.0			± 1.0	%
Nonlinearity													
G = 1			± 0.005			± 0.003			± 0.001			± 0.005	%
G = 100, 200			± 0.005			± 0.003			± 0.001			± 0.005	%
G = 500, 1000			± 0.005			± 0.005			± 0.005			± 0.005	%
Gain vs. Temperature													
G = 1			5			5			5			5	ppm/°C
G = 100, 200			10			10			10			10	ppm/°C
G = 500, 1000			25			15			15			15	ppm/°C
VOLTAGE OFFSET (May be Nulled)													
Input Offset Voltage vs. Temperature			200			75			25			75	μV
Output Offset Voltage vs. Temperature			2			0.5			0.25			2.0	$\mu V/^\circ C$
Offset Referred to the Input vs. Supply			5			3			2			3	mV
G = 1			50			25			10			50	$\mu V/^\circ C$
G = 100, 200	70			75			80			75			dB
G = 500, 1000	95			105			110			105			dB
G = 500, 1000	100			110			115			110			dB
INPUT CURRENT													
Input Bias Current vs. Temperature			± 50			± 25			± 15			± 50	nA
Input Offset Current vs. Temperature			± 35			± 15			± 10			± 35	pA/°C
INPUT													
Input Impedance													
Differential Resistance			10^9			10^9			10^9			10^9	Ω
Differential Capacitance			10			10			10			10	pF
Common-Mode Resistance			10^9			10^9			10^9			10^9	Ω
Common-Mode Capacitance			10			10			10			10	pF
Input Voltage Range													
Max Differ. Input Linear (V_D)			± 10			± 10			± 10			± 10	V
Max Common-Mode Linear (V_{CM})			$12V - \left(\frac{G}{2} \times V_D \right)$			$12V - \left(\frac{G}{2} \times V_D \right)$			$12V - \left(\frac{G}{2} \times V_D \right)$			$12V - \left(\frac{G}{2} \times V_D \right)$	V
Common-Mode Rejection dc to 60Hz with 1k Ω Source Imbalance													
G = 1			70			75			80			70	dB
G = 100, 200			100			105			110			100	dB
G = 500, 1000			110			120			130			110	dB
OUTPUT RATING													
$V_{OUT}, R_L = 2k\Omega$			± 10			± 10			± 10			± 10	V
DYNAMIC RESPONSE													
Small Signal - 3dB													
G = 1			1			1			1			1	MHz
G = 100			150			150			150			150	kHz
G = 200			100			100			100			100	kHz
G = 500			50			50			50			50	kHz
G = 1000			25			25			25			25	kHz

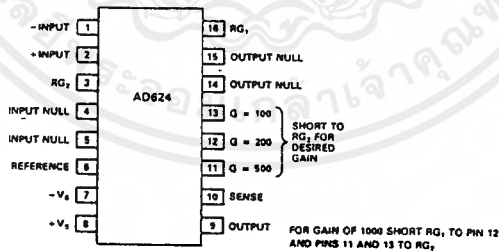
เอกสารนี้เป็นเอกสารที่สงวนไว้สำหรับการใช้งานเพื่อการศึกษาเท่านั้น ไม่อนุญาตให้นำไปใช้ประโยชน์ด้านการค้า
ไม่ว่ากรณีใดๆ ทั้งสิ้น อีกทั้งห้ามมิให้ตัดแปลงเนื้อหาและต้องอ้างอิงถึงเจ้าของเอกสารทุกครั้งที่มีการนำไปใช้

Model	AD624A			AD624B			AD624C			AD624S			Units	
	Min	Typ	Max	Min	Typ	Max	Min	Typ	Max	Min	Typ	Max		
Slew Rate	5.0			5.0			5.0			5.0			V/ μ s	
Settling Time to 0.01%, 20V Step	15			15			15			15			μ s	
G = 1 to 200	35			35			35			35			μ s	
G = 500	75			75			75			75			μ s	
G = 1000														
NOISE														
Voltage Noise, 1kHz	4			4			4			4			nV/ $\sqrt{\text{Hz}}$	
R.T.I.	75			75			75			75			nV/ $\sqrt{\text{Hz}}$	
R.T.O.														
R.T.I., 0.1 to 10Hz	10			10			10			10			μ V p-p	
G = 1	0.3			0.3			0.3			0.3			μ V p-p	
G = 100	0.2			0.2			0.2			0.2			μ V p-p	
G = 200, 500, 1000														
Current Noise	60			60			60			60			pA p-p	
0.1Hz to 10Hz														
SENSE INPUT														
R _{IN}	8	10	12	8	10	12	8	10	12	8	10	12	k Ω	
I _{IN}	= 10			= 10			= 10			= 10			μ A	
Voltage Range	1			1			1			1			V	
Gain to Output													%	
REFERENCE INPUT														
R _{IN}	16	20	24	16	20	24	16	20	24	16	20	24	k Ω	
I _{IN}	= 10			= 10			= 10			= 10			μ A	
Voltage Range	1			1			1			1			V	
Gain to Output													%	
TEMPERATURE RANGE														
Specified Performance	-25	+85		-25	+85		-25	+85		-55	+125		$^{\circ}$ C	
Storage	-65	+150		-65	+150		-65	+150		-65	+150		$^{\circ}$ C	
POWER SUPPLY														
Power Supply Range	\pm 6	\pm 15	\pm 18	\pm 6	\pm 15	\pm 18	\pm 6	\pm 15	\pm 18	\pm 6	\pm 15	\pm 18	V	
Quiescent Current	3.5			3.5			3.5			3.5			5	mA
PACKAGE¹														
Ceramic(D-16)	AD624A			AD624B			AD624C			AD624S				

NOTES
¹See Section 16 for package outline information.
 Specifications subject to change without notice.

Specifications shown in boldface are tested on all production units at final electrical test. Results from those tests are used to calculate outgoing quality levels. All min and max specifications are guaranteed, although only those shown in boldface are tested on all production units.

PIN CONFIGURATION



Typical Characteristics

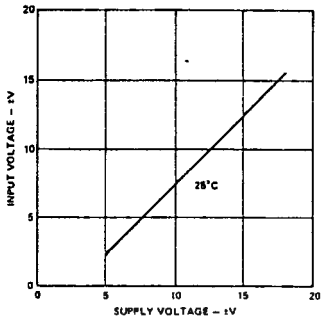


Figure 1. Input Voltage Range vs. Supply Voltage, $G = 1$

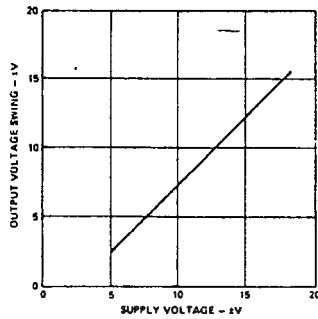


Figure 2. Output Voltage Swing vs. Supply Voltage

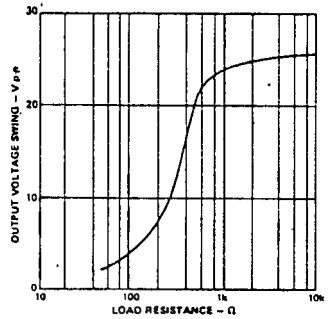


Figure 3. Output Voltage Swing vs. Resistive Load

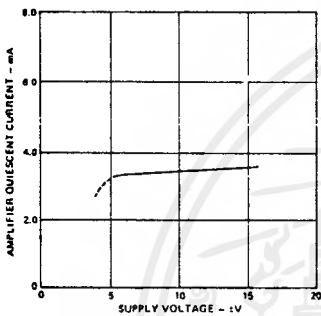


Figure 4. Quiescent Current vs. Supply Voltage

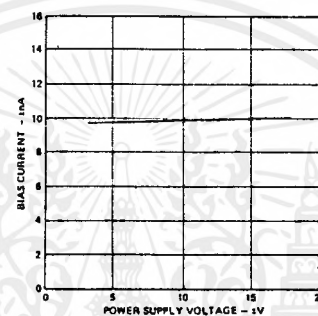


Figure 5. Input Bias Current vs. Supply Voltage

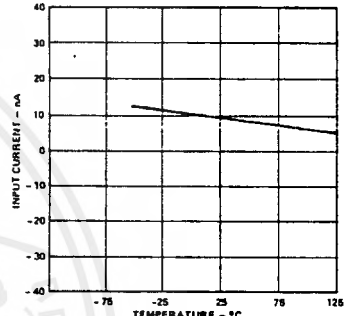


Figure 6. Input Bias Current vs. Temperature

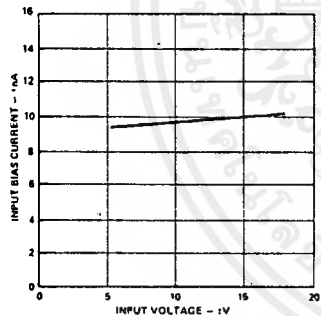


Figure 7. Input Bias Current vs. CMV



Figure 8. Offset Voltage, RTI, Turn On Drift

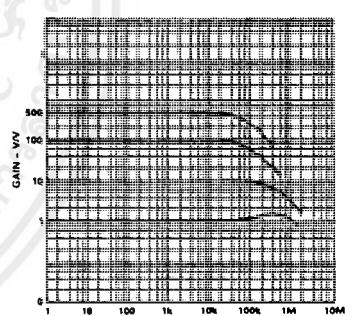


Figure 9. Gain vs. Frequency

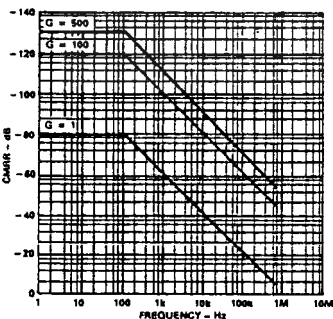


Figure 10. CMRR vs. Frequency RTI, Zero to 1k Source Imbalance

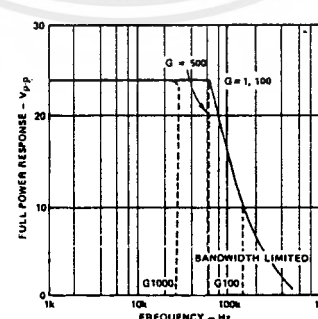


Figure 11. Large Signal Frequency Response

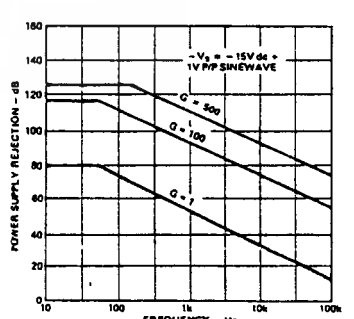


Figure 12. Positive PSRR vs. Frequency

เอกสารนี้เป็นเอกสารที่สงวนไว้สำหรับการใช้งานเพื่อการศึกษาเท่านั้น ไม่อนุญาตให้นำไปใช้ประโยชน์ด้านการค้า ไม่ว่าจะกรณีใดๆ ทั้งสิ้น อีกทั้งห้ามมิให้ดัดแปลงเนื้อหาและต้องอ้างอิงถึงเจ้าของเอกสารทุกครั้งที่มีการนำไปใช้

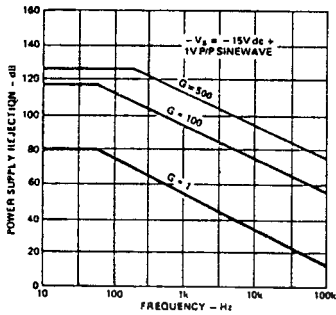


Figure 13. Negative PSRR vs. Frequency

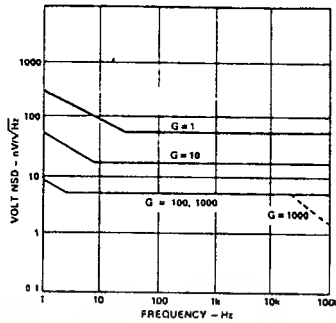


Figure 14. RTI Noise Spectral Density vs. Gain

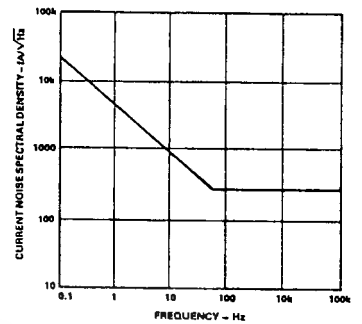


Figure 15. Input Current Noise

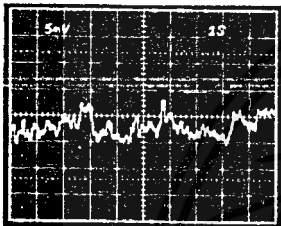


Figure 16. Low Frequency Voltage Noise - $G = 1$ (System Gain = 1000)

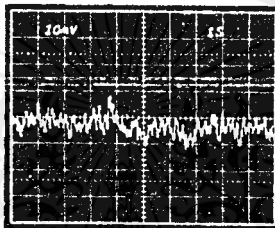


Figure 17. Low Frequency Voltage Noise - $G = 1000$ (System Gain = 100,000)

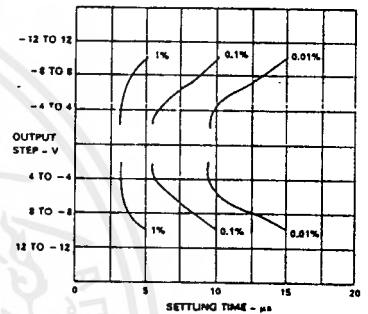


Figure 18. Settling Time Gain = 1

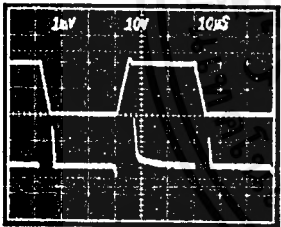


Figure 19. Large Signal Pulse Response and Settling Time - $G = 1$

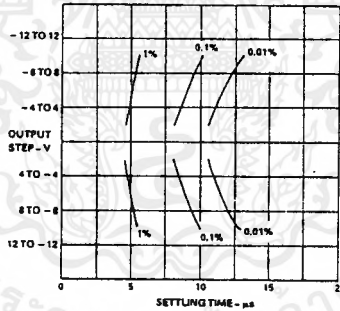


Figure 20. Settling Time Gain = 100

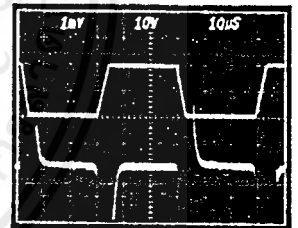


Figure 21. Large Signal Pulse Response and Settling Time $G = 100$

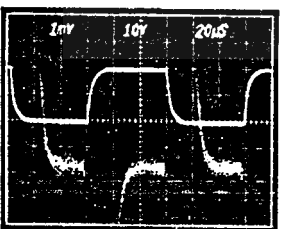


Figure 22. Range Signal Pulse Response and Settling Time $G = 500$

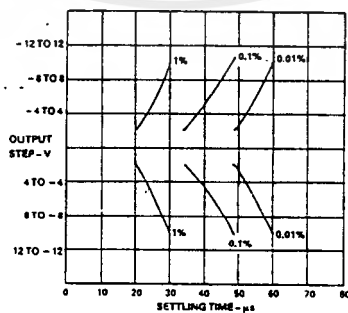


Figure 23. Settling Time Gain = 1000

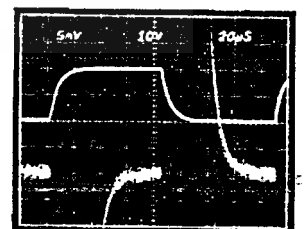


Figure 24. Large Signal Pulse Response and Settling Time $G = 1000$

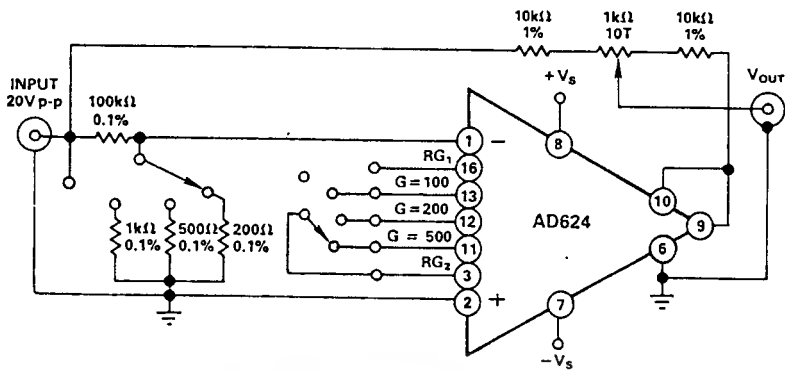


Figure 25. Settling Time Test Circuit

Theory of Operation

The AD624 is a monolithic instrumentation amplifier based on a modification of the classic three-op-amp instrumentation amplifier. Monolithic construction and laser-wafer-trimming allow the tight matching and tracking of circuit components and the high level of performance that this circuit architecture is capable of.

A preamp section (Q1-Q4) develops the programmed gain by the use of feedback concepts. Feedback from the outputs of A1 and A2 forces the collector currents of Q1-Q4 to be constant thereby impressing the input voltage across R_G .

The gain is set by choosing the value of R_G from the equation, $\text{Gain} = \frac{40k}{R_G} + 1$. The value of R_G also sets the transconductance of the input preamp stage increasing it asymptotically to the transconductance of the input transistors as R_G is reduced for larger gains. This has three important advantages. First, this approach allows the circuit to achieve a very high open loop gain of 3×10^8 at a programmed gain of 1000 thus reducing gain related errors to a negligible 3ppm. Second, the gain bandwidth product which is determined by C3 or C4 and the input transconductance, reaches 25MHz. Third, the input voltage noise reduces to a value determined by the collector current of the input transistors for an RTI noise of $4nV/\sqrt{Hz}$ at $G \geq 500$.

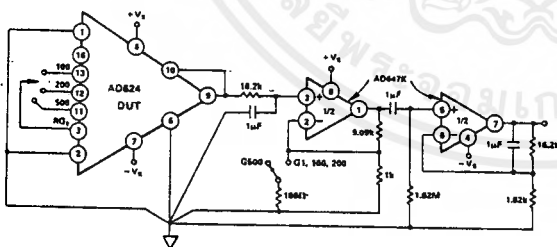


Figure 26. Noise Test Circuit

INPUT CONSIDERATIONS

Under input overload conditions the user will see $R_G + 100\Omega$ and two diode drops ($\sim 1.2V$) between the plus and minus inputs, in either direction. If safe overload current under all conditions is assumed to be 10mA, the maximum overload voltage is $\sim \pm 2.5V$. While the AD624 can withstand this continuously, momentary overloads of $\pm 10V$ will not harm the device. On the other hand the inputs should never exceed the supply voltage.

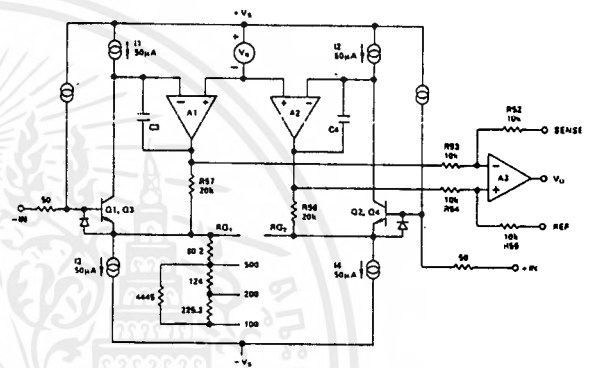


Figure 27. Simplified Circuit of Amplifier; Gain is Defined as $(R56 + R57)/R_G + 1$. For a Gain of 1, R_G is an Open Circuit.

The ADS24 should be considered in applications that require protection from severe input overload. If this is not possible, external protection resistors can be put in series with the inputs of the AD624 to augment the internal (50Ω) protection resistors. This will most seriously degrade the noise performance. For this reason the value of these resistors should be chosen to be as low as possible and still provide 10mA of current limiting under maximum continuous overload conditions. In selecting the value of these resistors, the internal gain setting resistor and the 1.2 volt drop need to be considered. For example, to protect the device from a continuous differential overload of 20V at a gain of 100, $1.9k\Omega$ of resistance is required. The internal gain resistor is 404Ω ; the internal protect resistor is 100Ω . There is a 1.2V drop across D1 or D2 and the base-emitter junction of either Q1 and Q3 or Q2 and Q4 as shown in Figure 27, 1400Ω of external resistance would be required (700Ω in series with each input). The RTI noise in this case would be $\sqrt{4KTR_{ext} + (4nV/\sqrt{Hz})^2} = 6.2nV/\sqrt{Hz}$.

INPUT OFFSET AND OUTPUT OFFSET

Voltage offset specifications are often considered a figure of merit for instrumentation amplifiers. While initial offset may be adjusted to zero, shifts in offset voltage due to temperature variations will cause errors. Intelligent systems can often correct for this factor with an auto-zero cycle, but there are many small-signal high-gain applications that don't have this capability.

Voltage offset and offset drift each have two components; input and output. Input offset is that component of offset that is

Applying the AD624

directly proportional to gain i.e., input offset as measured at the output at $G = 100$ is 100 times greater than at $G = 1$. Output offset is independent of gain. At low gains, output offset drift is dominant, while at high gains input offset drift dominates. Therefore, the output offset voltage drift is normally specified as drift at $G = 1$ (where input effects are insignificant), while input offset voltage drift is given by drift specification at a high gain (where output offset effects are negligible). All input-related numbers are referred to the input (RTI) which is to say that the effect on the output is "G" times larger. Voltage offset vs. power supply is also specified at one or more gain settings and is also RTI.

By separating these errors, one can evaluate the total error independent of the gain setting used. In a given gain configuration both errors can be combined to give a total error referred to the input (R.T.I.) or output (R.T.O.) by the following formula:

$$\text{Total Error R.T.I.} = \text{input error} + (\text{output error}/\text{gain})$$

$$\text{Total Error R.T.O.} = (\text{Gain} \times \text{input error}) + \text{output error}$$

As an illustration, a typical AD624 might have a $+250\mu\text{V}$ output offset and a $-50\mu\text{V}$ input offset. In a unity gain configuration, the total output offset would be $200\mu\text{V}$ or the sum of the two. At a gain of 100, the output offset would be -4.75mV or: $+250\mu\text{V} + 100(-50\mu\text{V}) = -4.75\text{mV}$.

The AD624 provides for both input and output offset adjustment. This optimizes nulling in very high precision applications and minimizes offset voltage effects in switched gain applications. In such applications the input offset is adjusted first at the highest programmed gain, then the output offset is adjusted at $G = 1$.

GAIN

The AD624 includes high accuracy pre-trimmed internal gain resistors. These allow for single connection programming of gains of 1, 100, 200 and 500. Additionally, a variety of gains including a pre-trimmed gain of 1000 can be achieved through series and parallel combinations of the internal resistors. Table I shows the available gains and the appropriate pin connections and gain temperature coefficients.

The gain values achieved via the combination of internal resistors are extremely useful. The temperature coefficient of the gain is dependent primarily on the mismatch of the temperature coefficients of the various internal resistors. Tracking of these resistors is extremely tight resulting in the low gain TC's shown in Table I.

If the desired value of gain is not attainable using the internal resistors, a single external resistor can be used to achieve any gain between 1 and 10,000. This resistor connected between

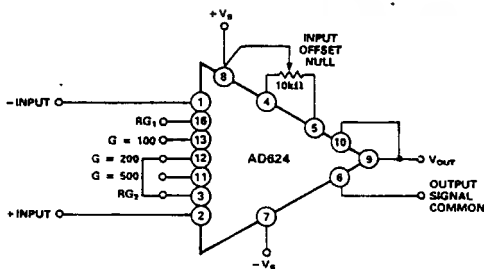


Figure 28. Operating Connections for $G = 200$

Gain (Nominal)	Temperature Coefficient (Nominal)	Pin 3 to Pin	Connect Pins
1	-1.5ppm/°C	-	-
100	-1.5ppm/°C	13	-
125	-5ppm/°C	13	11 to 16.
137	-5.5ppm/°C	13	11 to 12
186.5	-6.5ppm/°C	13	11 to 12 to 16
200	-3.5ppm/°C	12	-
250	-5.5ppm/°C	12	11 to 13
333	-15ppm/°C	12	11 to 16
375	-0.5ppm/°C	12	13 to 16
500	-10ppm/°C	11	-
624	-5ppm/°C	11	13 to 16
688	-1.5ppm/°C	11	11 to 12; 13 to 16
831	+4ppm/°C	11	16 to 12
1000	0ppm/°C	11	16 to 12; 13 to 11

Table I.

pins 3 and 16 programs the gain according to the formula

$R_G = \frac{40k}{G-1}$ (see Figure 29). For best results R_G should be a precision resistor with a low temperature coefficient. An external R_G affects both gain accuracy and gain drift due to the mismatch between it and the internal thin-film resistors R_{56} and R_{57} . Gain accuracy is determined by the tolerance of the external R_G and the absolute accuracy of the internal resistors ($\pm 20\%$). Gain drift is determined by the mismatch of the temperature coefficient of R_G and the temperature coefficient of the internal resistors ($-15\text{ppm}/^\circ\text{C}$ typ), and the temperature coefficient of the internal interconnections.

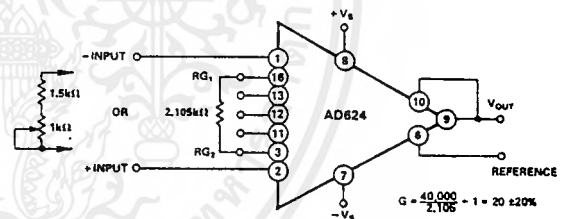


Figure 29. Operating Connections for $G = 20$

The AD624 may also be configured to provide gain in the output stage. Figure 30 shows an H pad attenuator connected to the reference and sense lines of the AD624. The values of R_1 , R_2 and R_3 should be selected to be as low as possible to minimize the gain variation and reduction of CMRR. Varying R_2 will precisely set the gain without affecting CMRR. CMRR is determined by the match of R_1 and R_3 .

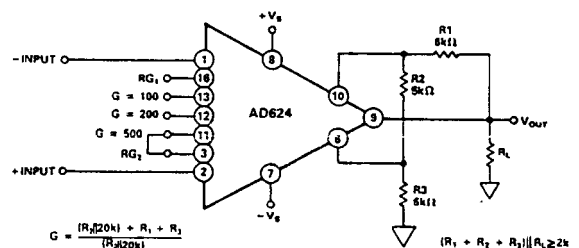


Figure 30. Gain of 2500

NOISE

The AD624 is designed to provide noise performance near the theoretical noise floor. This is an extremely important design criteria as the front end noise of an instrumentation amplifier is the ultimate limitation on the resolution of the data acquisition system it is being used in. There are two sources of noise in an instrument amplifier, the input noise, predominantly generated by the differential input stage, and the output noise, generated by the output amplifier. Both of these components are present at the input (and output) of the instrumentation amplifier. At the input, the input noise will appear unaltered; the output noise will be attenuated by the closed loop gain (at the output, the output noise will be unaltered; the input noise will be amplified by the closed loop gain). Those two noise sources must be root sum squared to determine the total noise level expected at the input (or output).

The low frequency (0.1 to 10Hz) voltage noise due to the output stage is $10\mu\text{V p-p}$, the contribution of the input stage is $0.2\mu\text{V p-p}$. At a gain of 10, the RTI voltage noise would be $1\mu\text{V p-p}$, $\sqrt{\left(\frac{10}{G}\right)^2 + (0.2)^2}$. The RTO voltage noise would be $10.2\mu\text{V p-p}$, $\sqrt{10^2 + (0.2(G))^2}$. These calculations hold for applications using either internal or external gain resistors.

INPUT BIAS CURRENTS

Input bias currents are those currents necessary to bias the input transistors of a dc amplifier. Bias currents are an additional source of input error and must be considered in a total error budget. The bias currents when multiplied by the source resistance imbalance appear as an additional offset voltage. (What is of concern in calculating bias current errors is the change in bias current with respect to signal voltage and temperature.) Input offset current is the difference between the two input bias currents. The effect of offset current is an input offset voltage whose magnitude is the offset current times the source resistance.

Although instrumentation amplifiers have differential inputs, there must be a return path for the bias currents. If this is not provided, those currents will charge stray capacitances, causing the output to drift uncontrollably or to saturate. Therefore, when amplifying "floating" input sources such as transformers and thermocouples, as well as ac-coupled sources, there must still be a dc path from each input to ground, (see Figure 31).

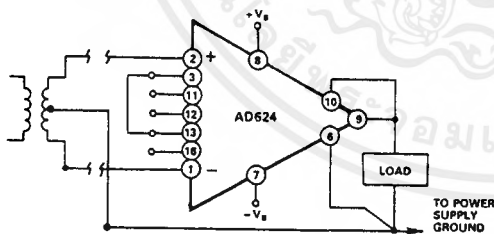


Figure 31a. Transformer Coupled

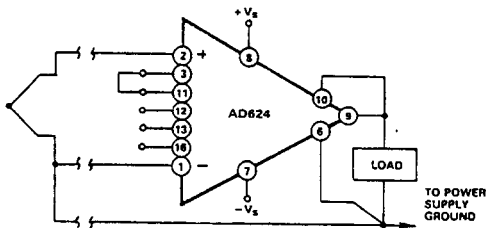


Figure 31b. Thermocouple

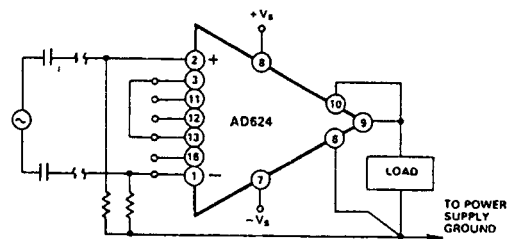


Figure 31c. AC Coupled

Figure 31. Indirect Ground Returns for Bias Currents

COMMON-MODE REJECTION

Common-mode rejection is a measure of the change in output voltage when both inputs are changed by equal amounts. These specifications are usually given for a full-range input voltage change and a specified source imbalance. "Common-Mode Rejection Ratio" (CMRR) is a ratio expression while "Common-Mode Rejection" (CMR) is the logarithm of that ratio. For example, a CMRR of 10,000 corresponds to a CMR of 80dB.

In an instrumentation amplifier, ac common-mode rejection is only as good as the differential phase shift. Degradation of ac common-mode rejection is caused by unequal drops across differing track resistances and a differential phase shift due to varied stray capacitances or cable capacitances. In many applications shielded cables are used to minimize noise. This technique can create common-mode rejection errors unless the shield is properly driven. Figures 32 and 33 shows active data guards which are configured to improve ac common-mode rejection by "bootstrapping" the capacitances of the input cabling, thus minimizing differential phase shift.

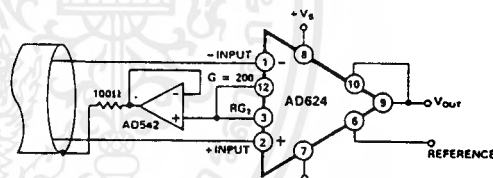


Figure 32. Shield Driver, $G \geq 100$

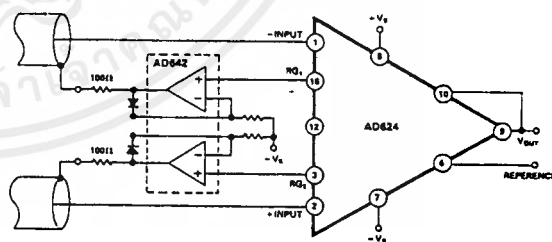


Figure 33. Differential Shield Driver

GROUNDING

Many data-acquisition components have two or more ground pins which are not connected together within the device. These grounds must be tied together at one point, usually at the system power supply ground. Ideally, a single solid ground would be desirable. However, since current flows through the ground wires and etch stripes of the circuit cards, and since these paths have resistance and inductance, hundreds of millivolts can be generated between the system ground point and the data acquisition components. Separate ground returns should be provided to

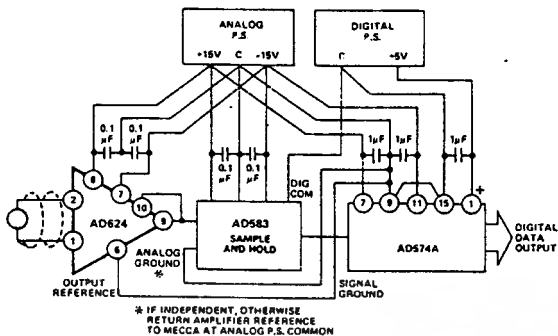


Figure 34. Basic Grounding Practice

minimize the current flow in the path from the most sensitive points to the system ground point. In this way supply currents and logic-gate return currents are not summed into the same return path as analog signals where they would cause measurement errors (see Figure 34).

Since the output voltage is developed with respect to the potential on the reference terminal an instrumentation amplifier can solve many grounding problems.

SENSE TERMINAL

The sense terminal is the feedback point for the instrument amplifier's output amplifier. Normally it is connected to the instrument amplifier output. If heavy load currents are to be drawn through long leads, voltage drops due to current flowing through lead resistance can cause errors. The sense terminal can be wired to the instrument amplifier at the load thus putting the $I_x R$ drops "inside the loop" and virtually eliminating this error source.

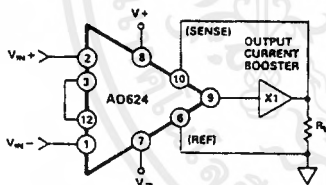


Figure 35. AD624 Instrumentation Amplifier with Output Current Booster

Typically, IC instrumentation amplifiers are rated for a full ± 10 volt output swing into $2k\Omega$. In some applications, however, the need exists to drive more current into heavier loads. Figure 35 shows how a current booster may be connected "inside the loop" of an instrumentation amplifier to provide the required current without significantly degrading overall performance. The effects of nonlinearities, offset and gain inaccuracies of the buffer are reduced by the loop gain of the IA output amplifier. Offset drift of the buffer is similarly reduced.

REFERENCE TERMINAL

The reference terminal may be used to offset the output by up to $\pm 10V$. This is useful when the load is "floating" or does not share a ground with the rest of the system. It also provides a direct means of injecting a precise offset. It must be remembered that the total output swing is ± 10 volts, from ground, to be shared between signal and reference offset.

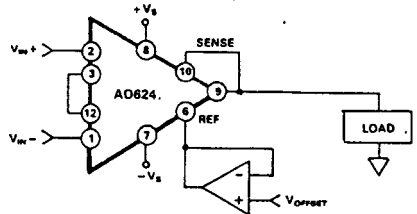


Figure 36. Use of Reference Terminal to Provide Output Offset

When the IA is of the three-amplifier configuration it is necessary that nearly zero impedance be presented to the reference terminal. Any significant resistance, including those caused by PC layouts or other connection techniques, which appears between the reference pin and ground will increase the gain of the noninverting signal path, thereby upsetting the common-mode rejection of the IA. Inadvertent thermocouple connections created in the sense and reference lines should also be avoided as they will directly affect the output offset voltage and output offset voltage drift.

In the AD624 a reference source resistance will unbalance the CMR trim by the ratio of $10k\Omega/R_{REF}$. For example, if the reference source impedance is 1Ω , CMR will be reduced to $80dB$ ($10k\Omega/1\Omega = 80dB$). An operational amplifier may be used to provide that low impedance reference point as shown in Figure 36. The input offset voltage characteristics of that amplifier will add directly to the output offset voltage performance of the instrumentation amplifier.

An instrumentation amplifier can be turned into a voltage-to-current converter by taking advantage of the sense and reference terminals as shown in Figure 37.

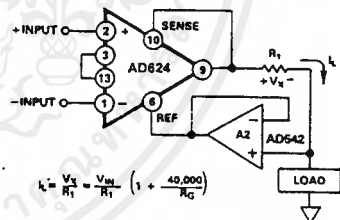


Figure 37. Voltage-to-Current Converter

By establishing a reference at the "low" side of a current setting resistor, an output current may be defined as a function of input voltage, gain and the value of that resistor. Since only a small current is demanded at the input of the buffer amplifier A_2 , the forced current I_L will largely flow through the load. Offset and drift specifications of A_2 must be added to the output offset and drift specifications of the IA.

PROGRAMMABLE GAIN

Figure 38 shows the AD624 being used as a software programmable gain amplifier. Gain switching can be accomplished with mechanical switches such as DIP switches or reed relays. It should be noted that the "on" resistance of the switch in series with the internal gain resistor becomes part of the gain equation and will have an effect on gain accuracy.

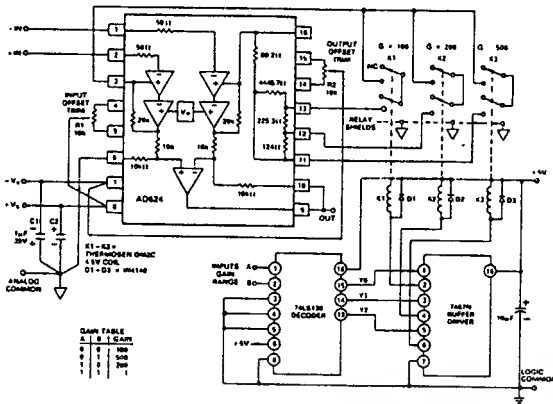


Figure 38. Gain Programmable Amplifier

A significant advantage in using the internal gain resistors in a programmable gain configuration is the minimization of thermocouple signals which are often present in multiplexed data acquisition systems.

If the full performance of the AD624 is to be achieved, the user must be extremely careful in designing and laying out his circuit to minimize the remaining thermocouple signals.

The AD624 can also be connected for gain in the output stage. Figure 39 shows an AD547 used as an active attenuator in the output amplifier's feedback loop. The active attenuation presents a very low impedance to the feedback resistors therefore minimizing the common-mode rejection ratio degradation.

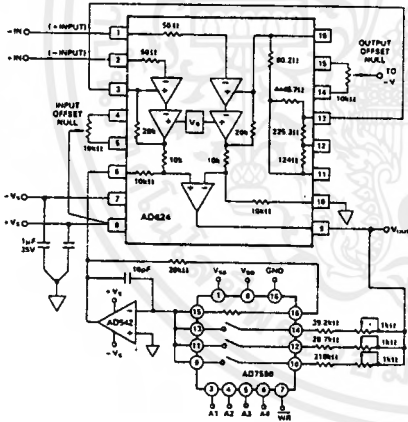


Figure 39. Programmable Output Gain

Another method for developing the switching scheme is to use a DAC. The AD7528 dual DAC which acts essentially as a pair of switched resistive attenuators having high analog linearity and symmetrical bipolar transmission is ideal in this application. The multiplying DAC's advantage is that it can handle inputs of either polarity or zero without affecting the programmed gain. The circuit shown uses an AD7528 to set the gain (DAC A) and to perform a fine adjustment (DAC B).

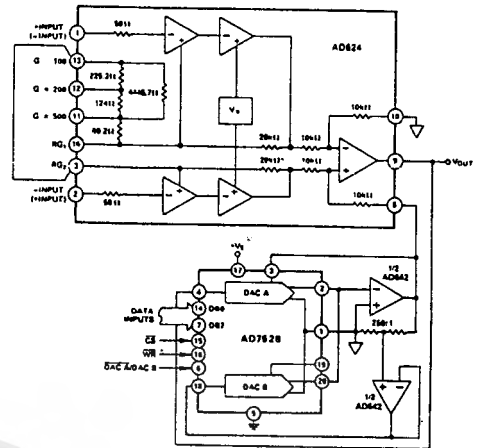


Figure 40. Programmable Output Gain Using a DAC

AUTO-ZERO CIRCUITS

In many applications it is necessary to provide very accurate data in high gain configurations. At room temperature the offset effects can be nulled by the use of offset trimmings. Over the operating temperature range, however, offset nulling becomes a problem. The circuit of Figure 41 shows a CMOS DAC operating in the bipolar mode and connected to the reference terminal to provide software controllable offset adjustments.

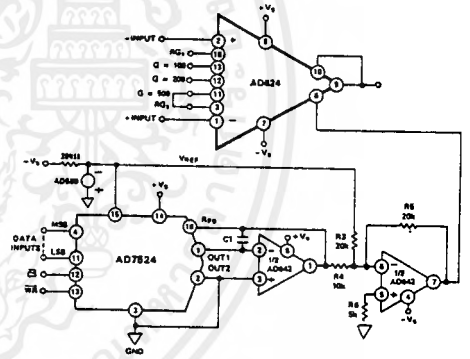


Figure 41. Software Controllable Offset

In many applications complex software algorithms for auto-zero applications are not available. For these applications Figure 42 provides a hardware solution.

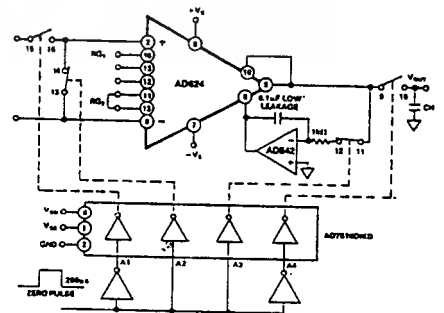


Figure 42. Auto-Zero Circuit

The microprocessor controlled data acquisition system shown in Figure 43 includes both auto-zero and auto-gain capability. By dedicating two of the differential inputs, one to ground and one to the A/D reference, the proper program calibration cycles can eliminate both initial accuracy errors and accuracy errors over temperature. The auto-zero cycle, in this application, converts a number that appears to be ground and then writes that same number (8 bit) to the AD7524 which eliminates the zero error since its output has an inverted scale. The auto-gain cycle converts the A/D reference and compares it with full scale. A multiplicative correction factor is then computed and applied to subsequent readings.

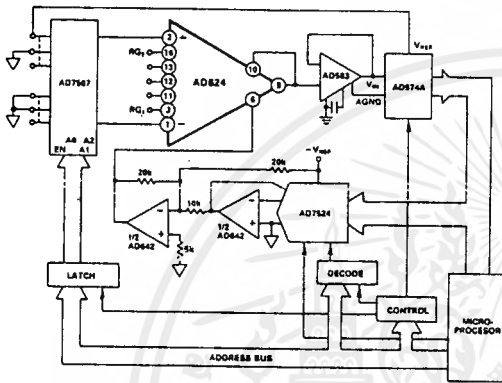


Figure 43. Microprocessor Controlled Data Acquisition System

WEIGH SCALE

Figure 44 shows an example of how an AD624 can be used to condition the differential output voltage from a load cell. The 10% reference voltage adjustment range is required to accommodate the 10% transducer sensitivity tolerance. The high linearity and low noise of the AD624 make it ideal for use in applications of this type particularly where it is desirable to measure small changes in weight as opposed to the absolute value. The addition of an auto gain/auto tare cycle will enable the system to remove offsets, gain errors, and drifts making possible true 14-bit performance.

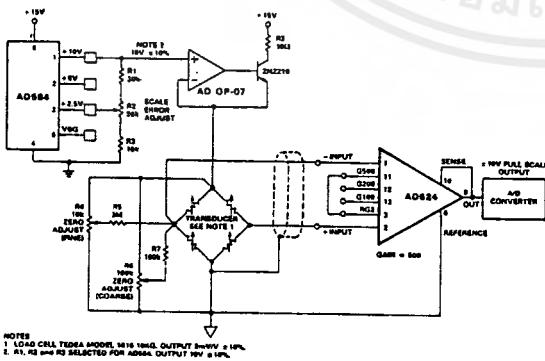


Figure 44. AD624 Weigh Scale Application

AC BRIDGE

Bridge circuits which use dc excitation are often plagued by errors caused by thermocouple effects, 1/f noise, dc drifts in the electronics, and line noise pick-up. One way to get around these problems is to excite the bridge with an ac waveform, amplify the bridge output with an ac amplifier, and synchronously demodulate the resulting signal. The ac phase and amplitude information from the bridge is recovered as a dc signal at the output of the synchronous demodulator. The low frequency system noise, dc drifts, and demodulator noise all get mixed to the carrier frequency and can be removed by means of a low pass filter. Dynamic response of the bridge must be traded off against the amount of attenuation required to adequately suppress these residual carrier components in the selection of the filter.

Figure 45 is an example of an ac bridge system with the AD630 used as a synchronous demodulator. The oscilloscope photograph shows the results of a 0.05% bridge imbalance caused by the 1Meg resistor in parallel with one leg of the bridge. The top trace represents the bridge excitation, the upper middle trace is the amplified bridge output, the lower-middle trace is the output of the synchronous demodulator and the bottom trace is the filtered dc system output.

This system can easily resolve a 0.5ppm change in bridge impedance. Such a change will produce a 6.3mV change in the low pass filtered dc output, well above the RTO drifts and noise.

The AC-CMRR of the AD624 decreases with the frequency of the input signal. This is due mainly to the package-pin capacitance associated with the AD624's internal gain resistors. If AC-CMRR is not sufficient for a given application, it can be trimmed by using a variable capacitor connected to the amplifier's RG₂ pin as shown in Figure 45.

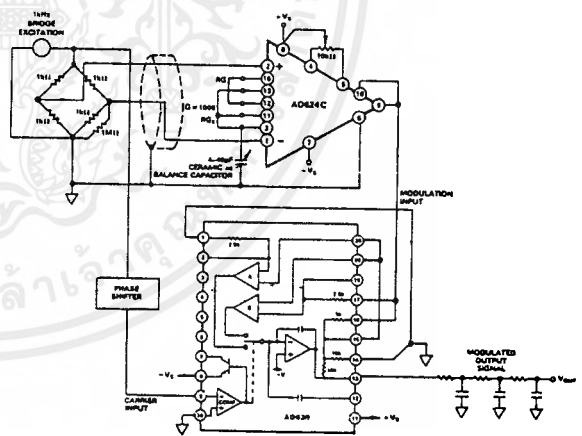


Figure 45. AC Bridge

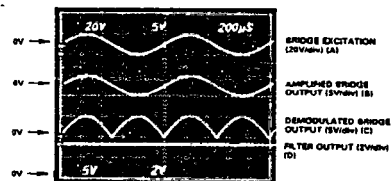


Figure 46. AC Bridge Waveforms

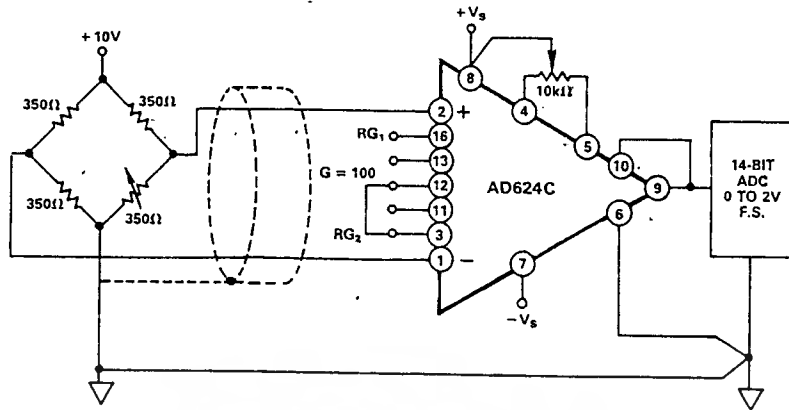


Figure 47. Typical Bridge Application

ERROR BUDGET ANALYSIS

To illustrate how instrumentation amplifier specifications are applied, we will now examine a typical case where an AD624 is required to amplify the output of an unbalanced transducer. Figure 47 shows a differential transducer, unbalanced by $\approx 5\Omega$, supplying a 0 to 20mV signal to an AD624. The output of the IA feeds a 14-bit A to D converter with a 0 to 2 volt input voltage range. The operating temperature range is -25°C to $+85^\circ\text{C}$. Therefore, the largest change in temperature ΔT within the operating range is from ambient to $+85^\circ\text{C}$ ($85^\circ\text{C} - 25^\circ\text{C} = 60^\circ\text{C}$).

In many applications, differential linearity and resolution are of prime importance. This would be so in cases where the absolute value of a variable is less important than changes in value. In these applications, only the irreducible errors ($20\text{ppm} = 0.002\%$) are significant. Furthermore, if a system has an intelligent processor monitoring the A to D output, the addition of an auto-gain/auto-zero cycle will remove all reducible errors and may eliminate the requirement for initial calibration. This will also reduce errors to 0.002%.

Error Source	AD624C Specifications	Calculation	Effect on Absolute Accuracy at $T_A = 25^\circ\text{C}$	Effect on Absolute Accuracy at $T_A = 85^\circ\text{C}$	Effect on Resolution
Gain Error	$\pm 0.1\%$	$\pm 0.1\% = 1000\text{ppm}$	1000ppm	1000ppm	-
Gain Instability	10ppm	$(10\text{ppm}/^\circ\text{C})(60^\circ\text{C}) = 600\text{ppm}$	-	600ppm	-
Gain Nonlinearity	$\pm 0.001\%$	$\pm 0.001\% = 10\text{ppm}$	-	-	10ppm
Input Offset Voltage	$\pm 25\mu\text{V}$, RTI	$\pm 25\mu\text{V}/20\text{mV} = \pm 1250\text{ppm}$	1250ppm	1250ppm	-
Input Offset Voltage Drift	$\pm 0.25\mu\text{V}/^\circ\text{C}$	$(\pm 0.25\mu\text{V}/^\circ\text{C})(60^\circ\text{C}) = 15\mu\text{V}$ $15\mu\text{V}/20\text{mV} = 750\text{ppm}$	-	750ppm	-
Output Offset Voltage ¹	$\pm 2.0\text{mV}$	$\pm 2.0\text{mV}/20\text{mV} = 1000\text{ppm}$	1000ppm	1000ppm	-
Output Offset Voltage Drift ¹	$\pm 10\mu\text{V}/^\circ\text{C}$	$(\pm 10\mu\text{V}/^\circ\text{C})(60^\circ\text{C}) = 600\mu\text{V}$ $600\mu\text{V}/20\text{mV} = 300\text{ppm}$	-	300ppm	-
Bias Current – Source Imbalance Error	$\pm 15\text{nA}$	$(\pm 15\text{nA})(5\Omega) = 0.075\mu\text{V}$ $0.075\mu\text{V}/20\text{mV} = 3.75\text{ppm}$	3.75ppm	3.75ppm	-
Offset Current – Source Imbalance Error	$\pm 10\text{nA}$	$0.050\mu\text{V}/20\text{mV} = 2.5\text{ppm}$	2.5ppm	2.5ppm	-
Offset Current – Source Resistance – Error	$\pm 10\text{nA}$	$(10\text{nA})(175\Omega) = 3.5\mu\text{V}$ $3.5\mu\text{V}/20\text{mV} = 87.5\text{ppm}$	87.5ppm	87.5ppm	-
Offset Current – Source Resistance – Drift	$\pm 100\text{pA}/^\circ\text{C}$	$(100\text{pA}/^\circ\text{C})(175\Omega)(60^\circ\text{C}) = 1\mu\text{V}$ $1\mu\text{V}/20\text{mV} = 50\text{ppm}$	-	50ppm	-
Common Mode Rejection 5V dc	115dB	$115\text{dB} = 1.8\text{ppm} \times 5\text{V} = 9\mu\text{V}$ $9\mu\text{V}/20\text{mV} = 444\text{ppm}$	450ppm	450ppm	-
Noise, RTI (0.1–10Hz)	0.22μV p-p	$0.22\mu\text{V p-p}/20\text{mV} = 10\text{ppm}$	-	-	10ppm
Total Error			3793.75ppm	5493.75ppm	20ppm

¹Output offset voltage and output offset voltage drift are given as RTI figures.

Table II. Error Budget Analysis of AD624CD in Bridge Application

AD741 SERIES

FEATURES

Precision Input Characteristics

- Low V_{OS} : 0.5mV max (L)
- Low V_{OS} Drift: $5\mu V/^\circ C$ max (L)
- Low I_B : 50nA max (L)
- Low I_{OS} : 5nA max (L)
- High CMRR: 90dB min (K, L)

High Output Capability

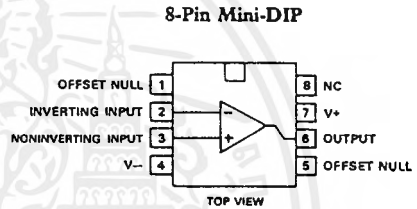
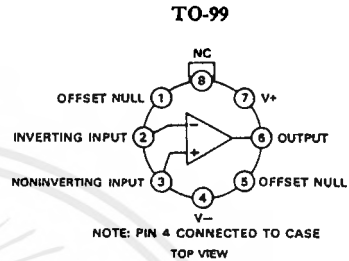
- $A_{ol} = 25,000$ min, 1k Ω load (J, S)
- T_{min} to T_{max}
- $V_o = \pm 10V$ min, 1k Ω load (J, S)

GENERAL DESCRIPTION

The Analog Devices AD741 series are high performance monolithic operational amplifiers. All the devices feature full short circuit protection and internal compensation.

The Analog Devices AD741J, AD741K, AD741L and AD741S are specially tested and selected versions of the standard AD741 operational amplifier. Improved processing and additional electrical testing guarantee the user precision performance at a very low cost. The AD741J, K and L substantially increase overall accuracy over the standard AD741C by providing maximum limits on offset voltage drift and significantly reducing the errors due to offset voltage, bias current, offset current, voltage gain, power supply rejection, and common mode rejection. For example, the AD741L features maximum offset voltage drift of $5\mu V/^\circ C$, offset voltage of 0.5mV max, offset current of 5nA max, bias current of 50nA max, and a CMRR of 90dB min. The AD741S offers guaranteed performance over the extended temperature range of $-55^\circ C$ to $+125^\circ C$, with max offset voltage drift of $15\mu V/^\circ C$, max offset voltage of 4mV, max offset current of 25nA, and a minimum CMRR of 80dB.

AD741 SERIES FUNCTIONAL DIAGRAMS



HIGH OUTPUT CAPABILITY

Both the AD741J and AD741S offer the user the additional advantages of high guaranteed output current and gain at low values of load impedance. The AD741J guarantees a minimum gain of 25,000 swinging $\pm 10V$ into a 1k Ω load from 0 to $+70^\circ C$. The AD741S guarantees a minimum gain of 25,000 swinging $\pm 10V$ into a 1k Ω load from $-55^\circ C$ to $+125^\circ C$.

All devices feature full short circuit protection, high gain, high common mode range, and internal compensation. The AD741J, K and L are specified for operation from 0 to $+70^\circ C$, and are available in both the TO-99 and mini-DIP packages. The AD741S is specified for operation from $-55^\circ C$ to $+125^\circ C$, and is available in the TO-99 package.

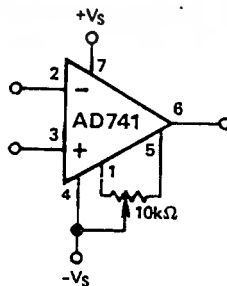
SPECIFICATIONS (typical @ +25°C and ±15V dc, unless otherwise specified)

Model	AD741C		AD741		AD741J		Units
	Min	Typ	Min	Typ	Min	Typ	
OPEN LOOP GAIN $R_L = 1k\Omega, V_O = \pm 10V$ $R_L = 2k\Omega, V_O = \pm 10V$ $T_A = \text{min to max } R_L = 2k\Omega$	20,000 15,000	200,000	50,000 25,000	200,000	50,000 25,000	200,000	V/V V/V V/V
OUTPUT CHARACTERISTICS Voltage @ $R_L = 1k\Omega, T_A = \text{min to max}$ Voltage @ $R_L = 2k\Omega, T_A = \text{min to max}$ Short Circuit Current	±10	±13 25	±10	±13 25	±10	±13	V V mA
FREQUENCY RESPONSE Unity Gain, Small Signal Full Power Response Slew Rate Transient-Response (Unity Gain) Rise Time $C_L \leq 10V$ p-p Overshoot		1 10 0.5 0.3 5.0		1 10 0.5 0.3 5.0		1 10 0.5 0.3 5.0	MHz kHz V/ μ s μ s %
INPUT OFFSET VOLTAGE Initial, $R_S \leq 10k\Omega$, Adj. to Zero $T_A = \text{min to max}$ Average vs. Temperature (Untrimmed) vs. Supply, $T_A = \text{min to max}$		1.0 1.0	6.0 7.5	1.0 1.0	5.0 6.0	1.0 3.0 4.0 20 100	mV mV μ V/ $^{\circ}$ C μ V/V
INPUT OFFSET CURRENT Initial $T_A = \text{min to max}$ Average vs. Temperature		20 40	200 300	20 85	200 500	5 50 100	nA nA nA/ $^{\circ}$ C
INPUT BIAS CURRENT Initial $T_A = \text{min to max}$ Average vs. Temperature		80 120	500 800	80 300	500 1,500	40 200 400	nA nA nA/ $^{\circ}$ C
INPUT IMPEDANCE DIFFERENTIAL	0.3	2.0	0.3	2.0	0.3	2.0	M Ω
INPUT VOLTAGE RANGE¹ Differential, max Safe Common Mode, max Safe Common Mode Rejection, $R_S \leq 10k\Omega, T_A = \text{min to max},$ $V_{IN} = \pm 12V$		±12 70	±13 90	±12 70	±13 90	±15 80 90	V V dB
POWER SUPPLY Rated Performance Operating Power Supply Rejection Ratio Quiescent Current Power Consumption $T_A = \text{min}$ $T_A = \text{max}$		±15 30 1.7 50	150 2.8 85	±15 30 1.7 50 60 45	150 2.8 85 100 75	±15 ±5 2.2 50	V V μ V/V mA mW mW
TEMPERATURE RANGE Operating Rated Performance Storage	0 -65	+70 +150	-55 -65	+125 +150	0 -65	+70 +150	$^{\circ}$ C $^{\circ}$ C

NOTES

¹ For supply voltages less than ±15V, the absolute maximum input voltage is equal to the supply voltage.
Specifications subject to change without notice.

Specifications shown in boldface are tested on all production units at final electrical test. Results from those tests are used to calculate outgoing quality levels. All min and max specifications are guaranteed, although only those shown in boldface are tested on all production units.



Standard Nulling Offset Circuit

Model	AD741K		AD741L		AD741S		Units		
	Min	Typ	Max	Min	Typ	Max			
OPEN LOOP GAIN R _L = 1kΩ, V _O = ±10V R _L = 2kΩ, V _O = ±10V T _A = min to max R _L = 2kΩ	50,000	200,000		50,000	200,000	50,000	200,000	V/V V/V V/V	
OUTPUT CHARACTERISTICS Voltage @ R _L = 1kΩ, T _A = min to max Voltage @ R _L = 2kΩ, T _A = min to max Short Circuit Current	±10	±13 25		±10	±13 25	±10	±13 25	V V mA	
FREQUENCY RESPONSE Unity Gain, Small Signal Full Power Response Slew Rate Transient Response (Unity Gain) Rise Time Overshoot		1 10 0.5 0.3 5.0		1 10 0.5 0.3 5.0		1 10 0.5 0.3 5.0		MHz kHz V/μs μs %	
INPUT OFFSET VOLTAGE Initial, R _S ≤ 10kΩ, Adj. to Zero T _A = min to max Average vs. Temperature (Untrimmed) vs. Supply, T _A = min to max		0.5 6.0 5	2.0 3.0 15.0		0.2 2.0 5	0.5 1.0 5.0 15.0		mV mV μV/°C μV/V	
INPUT OFFSET CURRENT Initial T _A = min to max Average vs. Temperature		2 0.02	10 15 0.2		2 0.02	5 10 0.1		nA nA nA/°C	
INPUT BIAS CURRENT Initial T _A = min to max Average vs. Temperature		30 0.6	75 120 1.5		-30 0.6	50 100 1.0		nA nA nA/°C	
INPUT IMPEDANCE DIFFERENTIAL		2			2			MΩ	
INPUT VOLTAGE RANGE¹ Differential, max Safe Common Mode max Safe Common Mode Rejection, R _S ≤ 10kΩ, T _A = min to max V _{IN} = ±12V		±30 ±15 90		±30 ±15 90		±30 ±15 100		V V dB	
POWER SUPPLY Rated Performance Operating Power Supply Rejection Ratio Quiescent Current Power Consumption T _A = min T _A = max		±5 1.7 50	±15 2.8 85		±5 1.7 50	±15 2.8 85	±22 2.0 60 75	±22 2.8 100 115	V V μV/V mA mW mW mW
TEMPERATURE RANGE Operating Rated Performance Storage		0 -65	+70 +150		0 -65	+70 +150	-55 -65	+125 +150	°C °C

NOTES

¹ For supply voltages less than ±15V, the absolute maximum input voltage is equal to the supply voltage. Specifications subject to change without notice.

Specifications shown in boldface are tested on all production units at final electrical test. Results from those tests are used to calculate outgoing quality levels. All min and max specifications are guaranteed, although only those shown in boldface are tested on all production units.

ORDERING GUIDE

Model	Temperature Range	Package Options*	Initial Off-Set Voltage
AD741CN	0 to +70°C	Mini-DIP (N-8)	6.0mV
AD741CH	0 to +70°C	TO-99 (H-08A)	6.0mV
AD741JN	0 to +70°C	Mini-DIP (N-8)	3.0mV
AD741JH	0 to +70°C	TO-99 (H-08A)	3.0mV
AD741KN	0 to +70°C	Mini-DIP (N-8)	2.0mV
AD741KH	0 to +70°C	TO-99 (H-08A)	2.0mV
AD741LN	0 to +70°C	Mini-DIP (N-8)	0.5mV
AD741LH	0 to +70°C	TO-99 (H-08A)	0.5mV
AD741H	-55°C to +125°C	TO-99 (H-08A)	5.0mV
AD741SH	-55°C to +125°C	TO-99 (H-08A)	2.0mV

*See Section 16 for package outline information.

ABSOLUTE MAXIMUM RATINGS

Absolute Maximum Ratings	AD741, J, K, L, S	AD741C
Supply Voltage	±22V	±18V
Internal Power Dissipation	500mW ¹	500mW
Differential Input Voltage	±30V	±30V
Input Voltage	±15V	±15V
Storage Temperature Range	-65°C to +150°C	-65°C to +150°C
Lead Temperature (soldering, 60 seconds)	300°C	300°C
Output Short Circuit Duration	Indefinite ²	Indefinite

NOTES

¹ Rating applies for case temperature to +125°C. Derate TO-99 linearity at 6.5mW/°C for ambient temperatures above +70°C.

² Rating applies for shorts to ground or either supply at case temperatures to +125°C or ambient temperatures to +75°C.

เอกสารนี้เป็นเอกสารที่สงวนไว้สำหรับการใช้งานเพื่อการศึกษาเท่านั้น ไม่อนุญาตให้นำไปใช้ประโยชน์ด้านการค้า
ไม่ว่ากรณีใดๆ ทั้งสิ้น อีกทั้งห้ามมิให้ดัดแปลงเนื้อหาและต้องอ้างอิงถึงเจ้าของเอกสารทุกครั้งที่มีการนำไปใช้

Typical Performance Curves

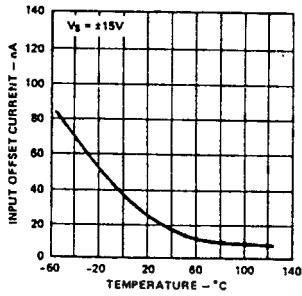


Figure 1. Offset Current vs. Temperature

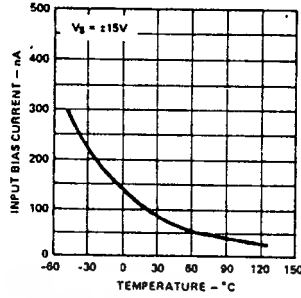


Figure 2. Bias Current vs. Temperature

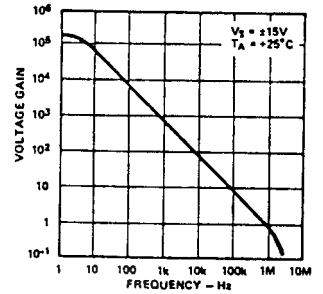


Figure 3. Open Loop Gain vs. Frequency

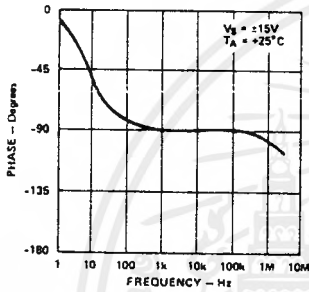


Figure 4. Open Loop Phase Response vs. Frequency

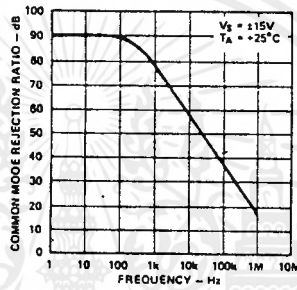


Figure 5. Common Mode Rejection vs. Frequency

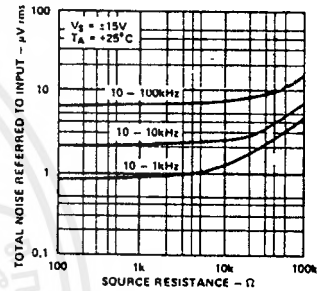


Figure 6. Broad Band Noise vs. Source Resistance

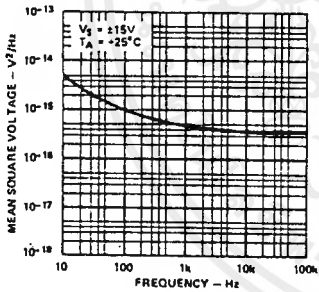


Figure 7. Input Noise Voltage vs. Frequency

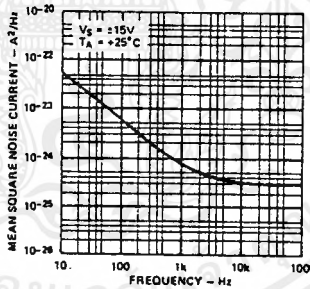


Figure 8. Input Noise Current vs. Frequency

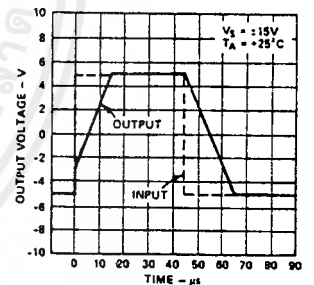


Figure 9. Voltage Follower Large Signal Pulse Response

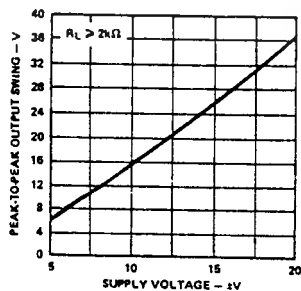


Figure 10. Output Voltage Swing vs. Supply Voltage

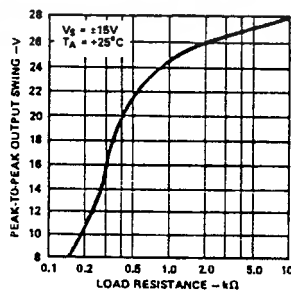


Figure 11. Output Voltage Swing vs. Load Resistance

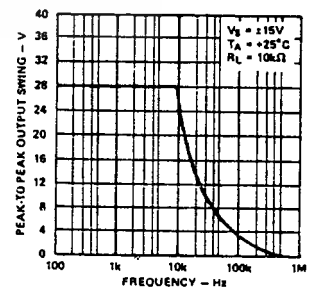


Figure 12. Output Voltage Swing vs. Frequency

FEATURES

Ten Times More Gain than Other OP-07 Devices (3.0M min)

Ultralow Offset Voltage: 10 μ V

Ultralow Offset Voltage Drift: 0.2 μ V/ $^{\circ}$ C

Ultrastable vs. Time: 0.2 μ V/ $^{\circ}$ C

Ultralow Noise: 0.35 μ V p-p

No External Components Required

Monolithic Construction

High Common-Mode Input Range: \pm 14.0V

Wide Power Supply Voltage Range: \pm 3V to \pm 18V

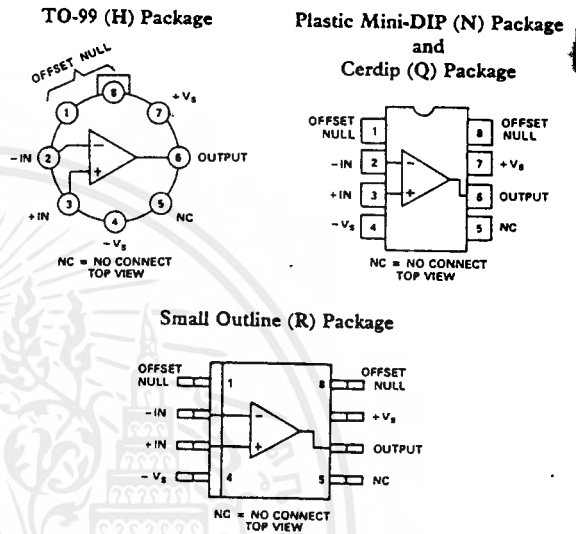
Fits 725, 108A/308A Sockets

Military Parts and Plus Parts Available

8-Pin Plastic Mini-DIP, Cerdip, Small Outline or TO-99 Hermetic Metal Can

Available in Wafer-Trimmed Chip Form

AD OP-07 CONNECTION DIAGRAMS



PRODUCT DESCRIPTION

The AD OP-07 is an improved version of the industry-standard OP-07 precision operational amplifier. A guaranteed minimum open-loop voltage gain of 3,000,000 (AD OP-07A) represents an order of magnitude improvement over older designs; this affords increased accuracy in high closed-loop gain applications. Typical input offset voltages as low as 10 μ V, typical bias currents of 0.7nA, internal compensation and device protection eliminate the need for external components and adjustments. An input offset voltage temperature coefficient of 0.2 μ V/ $^{\circ}$ C (typ) and long-term stability of 0.2 μ V/month (typ) eliminate recalibration or loss of initial accuracy.

A true differential operational amplifier, the AD OP-07 has a high common-mode input voltage range (\pm 13V, min) common-mode rejection ratio (typically up to 126dB) and high differential input impedance (50M Ω typ); these features combine to assure high accuracy in noninverting configurations. Such applications include instrumentation amplifiers, where the increased open-loop gain maintains high linearity at high closed-loop gains.

The AD OP-07 is available in five performance grades. The AD OP-07E, AD OP-07C and AD OP-07D are specified for operation over the 0 to +70 $^{\circ}$ C temperature range, while the AD OP-07A and AD OP-07 are specified for -55 $^{\circ}$ C to +125 $^{\circ}$ C operation. All devices are available in either the TO-99 hermetically sealed metal cans or the hermetically sealed cerdip packages, while the industrial grades are also available in plastic 8-pin mini-DIPs and small outline packages.

PRODUCT HIGHLIGHTS

1. Increased open-loop voltage gain (3.0 million, min) results in better accuracy and linearity in high closed-loop gain applications.
2. Ultralow offset voltage and offset voltage drift, combined with low input bias currents, allow the AD OP-07 to maintain high accuracy over the entire operating temperature range.
3. Internal frequency compensation, ultralow input offset voltage and full device protection eliminate the need for additional components. This reduces circuit size and complexity and increases reliability.
4. High input impedances, large common mode input voltage range and high common mode rejection ratio make the AD OP-07 ideal for noninverting and differential instrumentation applications.
5. Monolithic construction along with advanced circuit design and processing techniques result in low cost.
6. The input offset voltage is trimmed at the wafer stage. Unmounted chips are available for hybrid circuit applications.

SPECIFICATIONS ($T_A = +25^\circ\text{C}$, $V_S = \pm 15\text{V}$, unless otherwise specified)

Model		AD OP-07E			AD OP-07C			AD OP-07D		
Parameter	Symbol	Min	Typ	Max	Min	Typ	Max	Min	Typ	Max
OPEN LOOP GAIN	A_{VO}	2,000 1,800 300	5,000 4,500 1,000		1,200 1,000 300	4,000 4,000 1,000		1,200 1,000 300	4,000 4,000 1,000	
OUTPUT CHARACTERISTICS										
Maximum Output Swing	V_{OM}	± 12.5 ± 12.0 ± 10.5 ± 12.0	± 13.0 ± 12.8 ± 12.0 ± 12.6		± 12.0 ± 11.5 ± 12.8 ± 12.0 ± 11.0	± 13.0 ± 12.8 ± 12.0 ± 12.6 ± 12.6		± 12.0 ± 11.5 ± 12.8 ± 12.0 ± 11.0	± 13.0 ± 12.8 ± 12.0 ± 12.6 ± 12.6	
Open-Loop Output Resistance	R_{OL}		60			60			60	
FREQUENCY RESPONSE										
Closed Loop Bandwidth	BW		0.6			0.6			0.6	
Slew Rate	SR		0.17			0.17			0.17	
INPUT OFFSET VOLTAGE										
Initial	V_{OS}		30 45 ± 4	75 130		60 150 ± 4			60 150 ± 4	
Adjustment Range										
Average Drift										
No External Trim	TCV_{OS}		0.3	1.3		0.5	1.8		0.7	2.5
With External Trim	TCV_{OSN}		0.3	1.3		0.4	1.6		0.7	2.5
Long Term Stability	$V_{I, \Delta}/\text{Time}$		0.3	1.5		0.4	2.0		0.5	3.0
INPUT OFFSET CURRENT										
Initial	I_{OS}		0.5 0.9	3.8 5.3		0.8 1.6	6.0 8.0		0.8 1.6	6.0 8.0
Average Drift	TCI_{OS}		8	35		12	50		12	50
INPUT BIAS CURRENT										
Initial	I_B		± 1.2 ± 1.5	± 4.0 ± 5.5		± 1.8 ± 2.2	± 7.0 ± 9.0		± 2.0 ± 3.0	± 12 ± 14
Average Drift	TCI_B		13	35		18	50		18	50
INPUT RESISTANCE										
Differential	R_{IN}	15	50		8	33		7	31	
Common Mode	R_{INGM}		160			120			120	
INPUT NOISE										
Voltage	e_n p-p		0.35	0.6		0.38	0.65		0.38	0.65
Voltage Density	e_n		10.3	18.0		10.5	20.0		10.5	20.0
			10.0	13.0		10.2	13.5		10.2	13.5
			9.6	11.0		9.8	11.5		9.8	11.5
Current	i_n p-p		14	30		15	35		15	35
Current Density	i_n		0.32	0.80		0.35	0.90		0.35	0.90
			0.14	0.23		0.15	0.27		0.15	0.27
			0.12	0.17		0.13	0.18		0.13	0.18
INPUT VOLTAGE RANGE										
Common Mode	CMVR	± 13.0 ± 13.0	± 14.0 ± 13.5		± 13.0 ± 13.0	± 14.0 ± 13.5		± 13.0 ± 13.0	± 14.0 ± 13.5	
Common-Mode Rejection Ratio	CMRR	106 103	123 123		100 97	120 120		94 94	110 106	
POWER SUPPLY										
Current, Quiescent	I_Q		3.0	4.0		3.5	5.0		3.5	5.0
Power Consumption	P_{ID}		90	120		105	150		105	150
			6.0	9.0		6.0	9.0		6.0	9.0
Rejection Ratio	PSRR ¹	94 90	107 104		90 86	104 100		90 86	104 100	
OPERATING TEMPERATURE RANGE	T_{min}, T_{max}	0		+70	0		+70	0		+70
PACKAGE OPTIONS ²										
Small Outline (R-8)										
Plastic Mini-DIP (N-8)										
Cerdip (Q-8)										
TO-99 (H-08A)										
			AD OP-07EN AD OP-07EQ AD OP-07EH			AD OP-07CR AD OP-07CN AD OP-07CQ AD OP-07CH			AD OP-07DN AD OP-07DQ AD OP-07DH	

NOTES

¹Input Offset Voltage measurements are performed by automated test equipment approximately 0.5 seconds after application of power. Additionally, the AD OP-07A offset voltage is guaranteed fully warmed up.

²Long-Term Input Offset Voltage Stability refers to the averaged trend line of V_{OS} vs. Time over extended periods of time and is extrapolated from high temperature test data. Excluding the initial hour of operation, changes in V_{OS} during the first 30 operating days are typically $2.5\mu\text{V}$ - Parameter is not 100% tested: 90% of units meet this specification.

³See Section 16 for package outline information.

AD OP-07A			AD OP-07			Test Conditions	Units
Min	Typ	Max	Min	Typ	Max		
3,000	5,000		2,000	5,000		$R_L \geq 2k\Omega, V_O = \pm 10V$	V/mV
2,000	4,000		1,500	4,000		$R_L \geq 2k\Omega, V_O = \pm 10V, T_{min} \text{ to } T_{max}$	V/mV
300	1,000		300	1,000		$R_L = 500\Omega, V_O = \pm 0.5V, V_S = \pm 3V$	V/mV
± 12.5	± 13.0		± 12.5	± 13.0		$R_L \geq 10k\Omega$	V
± 12.0	± 12.8		± 12.0	± 12.8		$R_L \geq 2k\Omega$	V
± 10.5	± 12.0		± 10.5	± 12.0		$R_L \geq 1k\Omega$	V
± 12.0	± 12.6		± 12.0	± 12.6		$R_L \geq 2k\Omega, T_{min} \text{ to } T_{max}$	V
60			60			$V_O = 0, I_O = 0$	Ω
0.6			0.6			$A_{vCL} = +1.0$	MHz
0.17			0.17			$R_L \geq 2k$	V/ μs
10	25		30	75		Note 1	μV
25	60 ¹		60	200 ¹		$T_{min} \text{ to } T_{max}$	μV
± 4			± 4			$R_p = 20k\Omega$	mV
0.2	0.6		0.3	1.3		$T_{min} \text{ to } T_{max}$	$\mu V/^\circ C$
0.2	0.6		0.3	1.3		$R_p = 20k\Omega, T_{min} \text{ to } T_{max}$	$\mu V/^\circ C$
0.2	1.0		0.2	1.0		Note 2	$\mu V/\text{Month}$
0.3	2.0		0.4	2.8		$T_{min} \text{ to } T_{max}$	nA
0.8	4.0		1.2	5.6		$T_{min} \text{ to } T_{max}$	nA
5	25		8	50		$T_{min} \text{ to } T_{max}$	pA/°C
± 0.7	± 2.0		± 1.0	± 3.0		$T_{min} \text{ to } T_{max}$	nA
± 1.0	± 4.0		± 2.0	± 6.0		$T_{min} \text{ to } T_{max}$	nA
8	25		13	50		$T_{min} \text{ to } T_{max}$	pA/°C
30	80		20	60			M Ω
	200			200			G Ω
0.35	0.6		0.35	0.6		0.1Hz to 10Hz	$\mu V \text{ p-p}$
10.3	18.0		10.3	18.0		$f_O = 10\text{Hz}$	nV/ $\sqrt{\text{Hz}}$
10.0	13.0		10.0	13.0		$f_O = 100\text{Hz}$	nV/ $\sqrt{\text{Hz}}$
9.6	11.0		9.6	11.0		$f_O = 1\text{kHz}$	nV/ $\sqrt{\text{Hz}}$
14	30		14	30		0.1Hz to 10Hz	pA p-p
0.32	0.80		0.32	0.80		$f_O = 10\text{Hz}$	pA/ $\sqrt{\text{Hz}}$
0.14	0.23		0.14	0.23		$f_O = 100\text{Hz}$	pA/ $\sqrt{\text{Hz}}$
0.12	0.17		0.12	0.17		$f_O = 1\text{kHz}$	pA/ $\sqrt{\text{Hz}}$
± 13.0	± 14.0		± 13.0	± 14.0		$T_{min} \text{ to } T_{max}$	V
± 13.0	± 13.5		± 13.0	± 13.5			V
110	126		110	126		$V_{CM} = \pm \text{CMVR}$	dB
106	123		106	123		$V_{CM} = \pm \text{CMVR}, T_{min} \text{ to } T_{max}$	dB
3.0	4.0		30	4.0		$V_S = \pm 15V$	mA
90	120		90	120		$V_S = \pm 15V$	mW
6.0	8.4		6.0	8.4		$V_S = \pm 3V$	mW
100	110		100	110		$V_S = \pm 3V \text{ to } \pm 18V$	dB
94	106		94	106		$V_S = \pm 3V \text{ to } \pm 18V, T_{min} \text{ to } T_{max}$	dB
-55	+125		-55	+125			°C
ADOP-07AQ ADOP-07AH			ADOP-07Q ADOP-07H				

Specifications subject to change without notice.

Specifications shown in boldface are tested on all production units at final electrical test. Results from those tests are used to calculate outgoing quality levels. All min and max specifications are guaranteed, although only those shown in boldface are tested on all production units.

ABSOLUTE MAXIMUM RATINGS

- Supply Voltage ± 22V
- Internal Power Dissipation (Note 1) 500mW
- Differential Input Voltage ± 30V
- Input Voltage ± V_S
- Output Short Circuit Duration Indefinite
- Storage Temperature Range - 65°C to + 150°C
- Operating Temperature Range
 - AD OP-07A, AD OP-07 - 55°C to + 125°C
 - AD OP-07E, AD OP-07C, AD OP-07D 0 to + 70°C
- Lead Temperature Range (Soldering 60sec) + 300°C

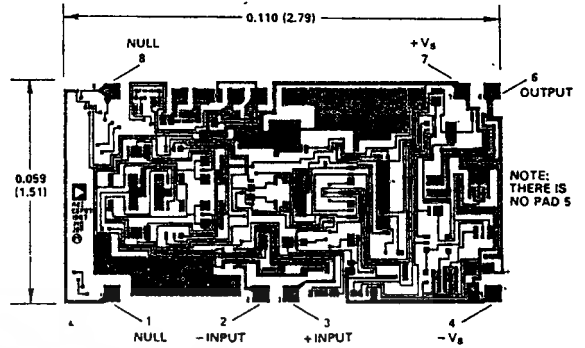
NOTES

Note 1: Maximum package power dissipation vs. ambient temperature.

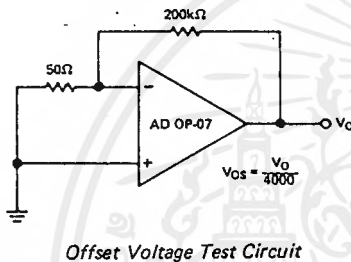
Package Type	Maximum Ambient Temperature for Rating	Derate Above Maximum Ambient Temperature
TO-99 (H)	80°C	7.1mW/°C
Mini-DIP (N)	36°C	5.6mW/°C
Cerdip (Q)	75°C	6.7mW/°C

CHIP DIMENSIONS AND BONDING DIAGRAM

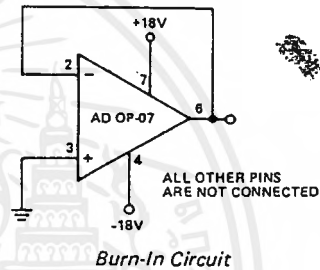
Dimensions shown in inches and (mm).



THE AD OP-07 IS AVAILABLE IN WAFER-TRIMMED CHIP FORM FOR PRECISION HYBRIDS. CONSULT THE FACTORY FOR DETAILS.



Offset Voltage Test Circuit



Burn-In Circuit

AD OP-07 ORDERING GUIDE

Model	Package Option	Temperature Range (°C)	Max Initial Offset (μV)	Max Offset Drift (μV/°C)
AD OP-07EH	TO-99	0 to + 70	75	1.3
AD OP-07EN	Mini-DIP	0 to + 70	75	1.3
AD OP-07EQ	Cerdip	0 to + 70	75	1.3
AD OP-07CH	TO-99	0 to + 70	150	1.8
AD OP-07CN	Mini-DIP	0 to + 70	150	1.8
AD OP-07CQ	Cerdip	0 to + 70	150	1.8
AD OP-07CR	Small Outline	0 to + 70	150	1.8
AD OP-07DH	TO-99	0 to + 70	150	2.5
AD OP-07DN	Mini-DIP	0 to + 70	150	2.5
AD OP-07DQ	Cerdip	0 to + 70	150	2.5
AD OP-07AH	TO-99	- 55 to + 125	25	0.6
AD OP-07AQ	Cerdip	- 55 to + 125	25	0.6
AD OP-07H	TO-99	- 55 to + 125	75	1.3
AD OP-07Q	Cerdip	- 55 to + 125	75	1.3

เอกสารนี้เป็นเอกสารที่สงวนไว้สำหรับการใช้งานเพื่อการศึกษาเท่านั้น ไม่อนุญาตให้นำไปใช้ประโยชน์ด้านการค้า ไม่ว่ากรณีใดๆ ทั้งสิ้น อีกทั้งห้ามมิให้ดัดแปลงเนื้อหาและต้องอ้างอิงถึงเจ้าของเอกสารทุกครั้งที่มีการนำไปใช้

Applying the AD OP-07

The AD OP-07 may be directly substituted for other OP-07's as well as 725, 108/208/308, 108A/208A/308A, 714, OP-05 or LM11 devices, with or without removal of external frequency compensation or offset nulling components. If used to replace 741 devices, offset nulling components must be re-

moved (or referenced to $+V_S$). Input offset voltage of the AD OP-07 is very low, but if additional nulling is required, the circuit shown in Figure 1 is recommended.

The AD OP-07 provides stable operation with load capacitances up to 500pF and $\pm 10V$ swings; larger capacitances should be decoupled with 50 Ω resistor.

Stray thermoelectric voltages generated by dissimilar metals (thermocouples) at the contacts to the input terminals can prevent realization of the drift performance indicated. Best operation will be obtained when both input contacts are maintained at the same temperature, preferably close to the temperature of the device's package.

Although the AD OP-07 features high power supply rejection, the effects of noise on the power supplies may be minimized by bypassing the power supplies as close to pins 4 and 7 of the AD OP-07 as possible, to load ground with a good-quality 0.01 μF ceramic capacitor as shown in Figure 1:

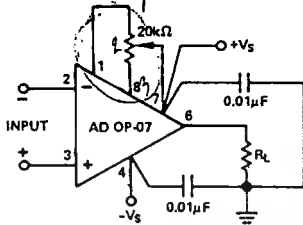
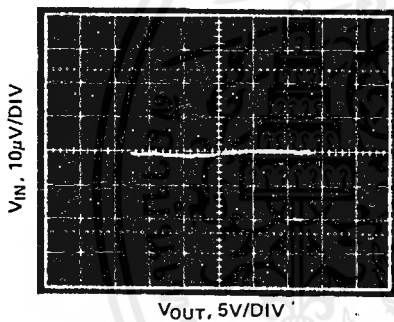
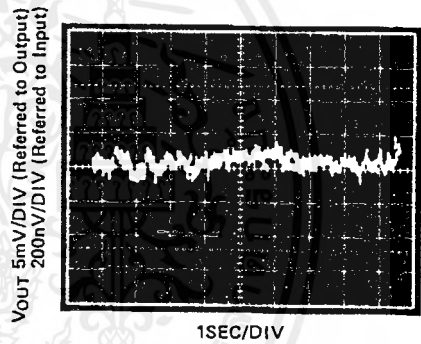


Figure 1. Optional Offset Nulling Circuit and Power Supply Bypassing

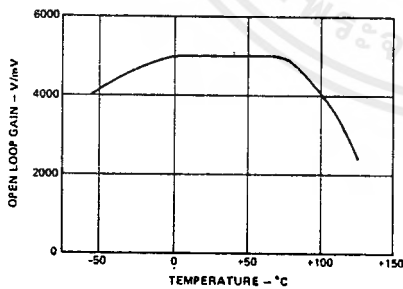
Performance Curves (typical @ $T_A = +25^\circ C$, $V_S = \pm 15V$, AD OP-07 Grade Device unless otherwise noted)



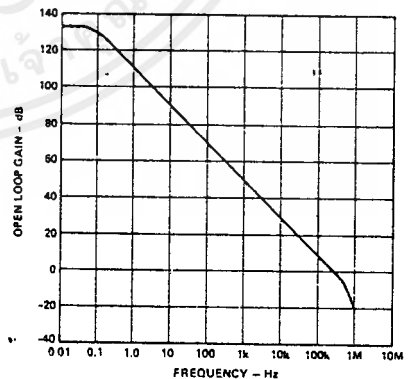
AD OP-07 Open Loop Gain Curve



AD OP-07 Low Frequency Noise (See Test Circuit, on the Previous Page)



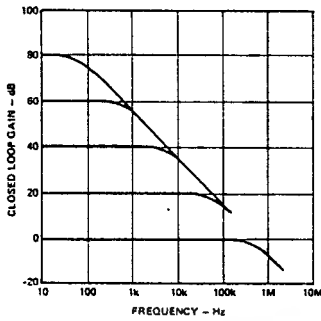
Open Loop Gain vs. Temperature



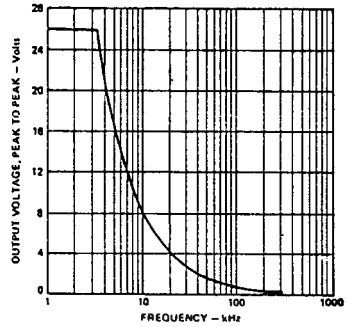
Open Loop Frequency Response

เอกสารนี้เป็นเอกสารที่สงวนไว้สำหรับการใช้งานเพื่อการศึกษาเท่านั้น ไม่อนุญาตให้นำไปใช้ประโยชน์ด้านการค้า
ไม่ว่ากรณีใดๆ ทั้งสิ้น อีกทั้งห้ามมิให้คัดแปลงเนื้อหาและต้องอ้างอิงถึงเจ้าของเอกสารทุกครั้งที่มีการนำไปใช้

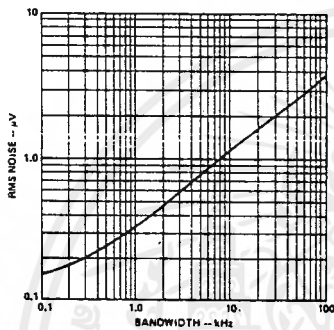
Typical Performance Curves



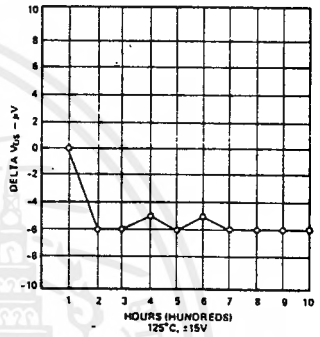
Closed Loop Response for Various Gain Configurations



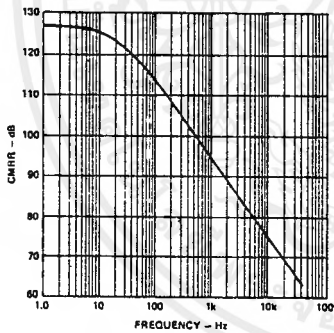
Maximum Undistorted Output vs. Frequency



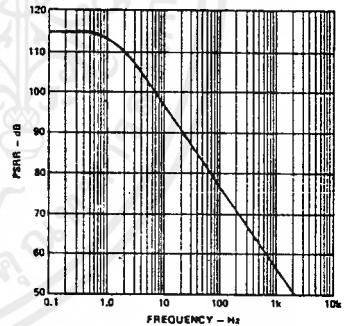
Input Wideband Noise vs. Bandwidth (0.1kHz to Frequency Indicated)



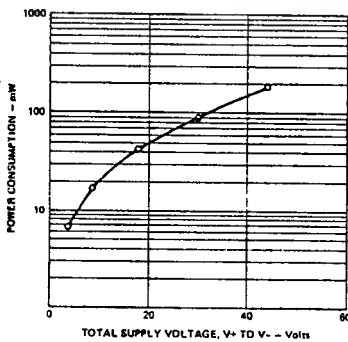
Offset Voltage vs. Time



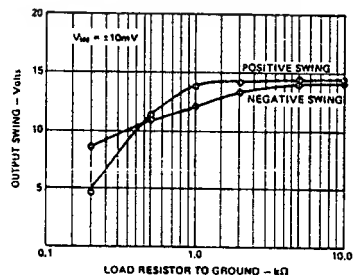
CMRR vs. Frequency



PSRR vs. Frequency



Power Consumption vs. Power Supply



Output Voltage vs. Load Resistance

เอกสารนี้เป็นเอกสารที่สงวนไว้สำหรับการใช้งานเพื่อการศึกษาเท่านั้น ไม่อนุญาตให้นำไปใช้ประโยชน์ด้านการค้า ไม่ว่ากรณีใดๆ ทั้งสิ้น อีกทั้งห้ามมิให้ดัดแปลงเนื้อหาและต้องอ้างอิงถึงเจ้าของเอกสารทุกครั้งที่มีการนำไปใช้

INTERSil

ICL7106, 7107 3 1/2 Digit Single Chip A/D Converter

FEATURES

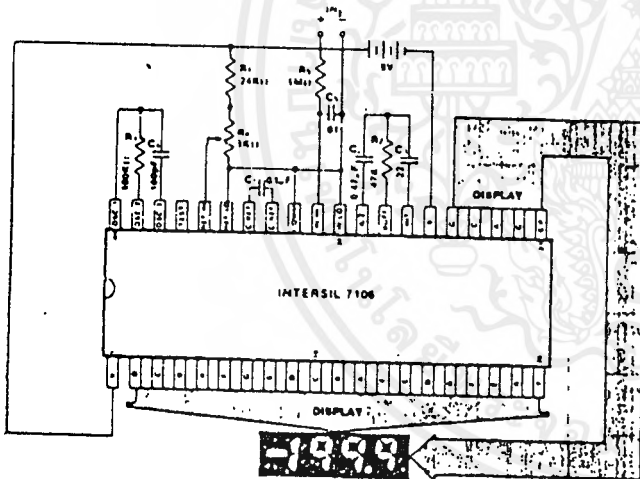
- Guaranteed zero reading for 0 volts input on all scales.
- True polarity at zero for precise null detection.
- 1 pA Input current typical.
- True differential input and reference.
- Direct display drive - no external components required. — LCD ICL7106
— LED ICL7107
- Low noise - less than 15µV pk-pk.
- On-chip clock and reference.
- Low power dissipation - typically less than 10mW.
- No additional active circuits required.
- Evaluation Kit available.

GENERAL DESCRIPTION

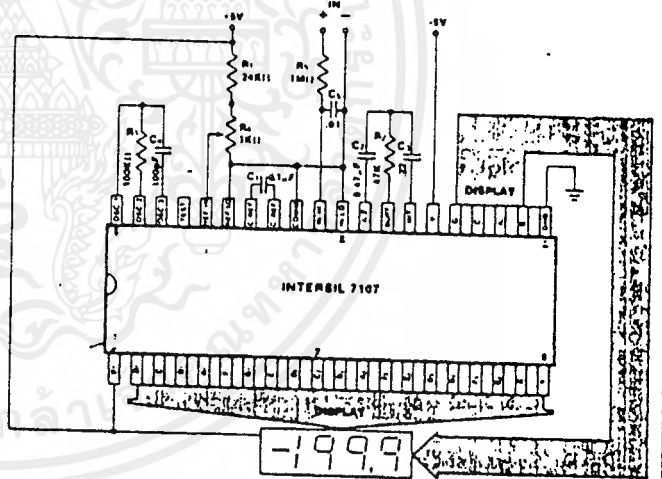
The Intersil ICL7106 and 7107 are high performance, low power 3-1/2 digit A/D converters. All the necessary active devices are contained on a single CMOS I.C., including seven segment decoders, display drivers, reference, and a clock. The 7106 is designed to interface with a liquid crystal display (LCD) and includes a backplane drive; the 7107 will directly drive an instrument-size light emitting diode (LED) display.

The 7106 and 7107 bring together an unprecedented combination of high accuracy, versatility, and true economy. High accuracy like auto-zero, zero drift of less than 1µV/°C, input bias current of 10 pA max., and roll-over error of less than one count. The versatility of true differential input and reference is useful in all systems, but gives the designer an uncommon advantage when measuring load cells, strain gauges and other bridge-type transducers. And finally the true economy of single power supply operation (7106), enabling a high performance panel meter to be built with the addition of only 7 passive components and a display.

TYPICAL CONNECTION DIAGRAMS



ICL7106 with Liquid Crystal Display

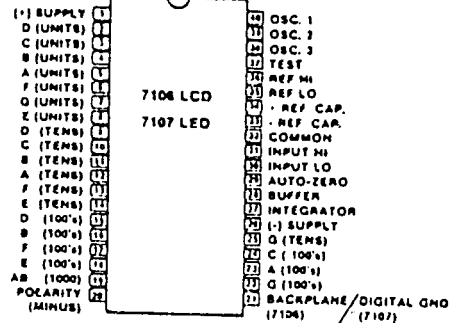


ICL7107 with LED Display

ORDERING INFORMATION

Part	Package	Temp. Range	Order Part #
7106	40 pin ceramic DIP	0°C to +70°C	ICL7106CDL
7106	40 pin plastic DIP	0°C to +70°C	ICL7106CPL
7107	40 pin ceramic DIP	0°C to +70°C	ICL7107CDL
7107	40 pin plastic DIP	0°C to +70°C	ICL7107CPL
7106 Kit	Evaluation kits contain IC, display, circuit board, passive components and hardware.		ICL7106EV/Kit
7107 Kit			ICL7107EV/Kit

PIN CONFIGURATION



INTERSil, INC., 10710 N. TANTAU AVE., CUPERTINO, CA 95014
Printed in U.S.A.

(408) 996-5000 TWX: 910-338-0171

ICL7106, 7107 3 1/2 Digit Single Chip A/D Converter Data Acquisition

เอกสารนี้เป็นเอกสารที่สงวนไว้สำหรับการใช้งานเพื่อการศึกษาเท่านั้น ไม่นอนุญาตให้นำไปใช้ประโยชน์ด้านการค้า
ไม่ว่ากรณีใดๆ ทั้งสิ้น อีกทั้งห้ามมิให้คัดลอกเนื้อหาและต้องอ้างอิงถึงเจ้าของเอกสารทุกครั้งที่มีการนำไปใช้

ICL7106/ICL7107

ABSOLUTE MAXIMUM RATINGS

ICL 7106

Supply Voltage (V+ to V-)	15V
Analog Input Voltage (either input) (Note 1)	V+ to V-
Reference Input Voltage (either input)	V+ to V-
Clock Input	Test to V+
Power Dissipation (Note 2)	
Ceramic Package	1000 mW
Plastic Package	800 mW
Operating Temperature	0°C to +70°C
Storage Temperature	-65°C to +160°C
Lead Temperature (Soldering, 60 sec)	300°C

Note 1: Input voltages may exceed the supply voltages provided the input current is limited to $\pm 100\mu\text{A}$.

Note 2: Dissipation rating assumes device is mounted with all leads soldered to printed circuit board.

ICL 7107

Supply Voltage V+	+6V
V-	-9V
Analog Input Voltage (either input) (Note 1)	V+ to V-
Reference Input Voltage (either input)	V+ to V-
Clock Input	Gnd to V+
Power Dissipation (Note 1)	
Ceramic Package	1000 mW
Plastic Package	800 mW
Operating Temperature	0°C to +70°C
Storage Temperature	-65°C to +160°C
Lead Temperature (Soldering, 60 sec)	300°C

ELECTRICAL CHARACTERISTICS (Note 3)

CHARACTERISTICS	CONDITIONS	MIN	TYP	MAX	UNITS
Zero Input Reading	Vin = 0.0V Full Scale = 200.0 mV	-000.0	± 000.0	+000.0	Digital Reading
Ratiometric Reading	Vin = Vref Vref = 100 mV	999	999/1000	1000	Digital Reading
Rollover Error (Difference in reading for equal positive and negative reading near Full Scale)	-Vin = +Vin = 200.0mV	-1	± 2	+1	Counts
Linearity (Max. deviation from best straight line fit)	Full scale = 200mV or full scale = 2.000V	-1	± 2	+1	Counts
Common Mode Rejection Ratio (Note 4)	Vcm = $\pm 1\text{V}$, Vin = 0V. Full Scale = 200.0mV.		50		$\mu\text{V/V}$
Noise (Pk - Pk value not exceeded 95% of time)	Vin = 0V Full Scale = 200.0mV		15		μV
Leakage Current @ Input	Vin = 0V		1	10	μA
Zero Reading Drift	Vin = 0 0° < TA < 70°C		0.2	1	$\mu\text{V}/^\circ\text{C}$
Scale Factor Temperature Coefficient	Vin = 199.0mV 0 < TA < 70°C (Ext. Ref. 0ppm/°C)		1	5	ppm/°C
Supply Current (Does not include LED current for 7107)	Vin = 0		0.8	1.8	mA
Analog Common Voltage (With respect to pos. supply)	25K Ω between Common & pos. Supply	2.4	2.8	3.2	Volts
Temp. Coeff. of Analog Common (with respect to pos. Supply)	25K Ω between Common & pos. Supply		80		ppm/°C
7106 ONLY Pk-Pk Segment Drive Voltage (Note 5)	V Supply = 9V	4	5	6	Volts
7106 ONLY Pk-Pk Backplane Drive Voltage (Note 5)	V Supply = 9V	4	5	6	Volts
7107 ONLY Segment Sinking Current (Except Pin 19)	+Supply = 5.0V Segment voltage = 3V	5	8.0		mA
7107 ONLY Segment Sinking Current (Pin 19 only)	+Supply = 5.0V Segment voltage = 3V	10	16		mA

Note 3: Unless otherwise noted, specifications apply to both the 7106 and 7107 at TA = 25°C, fclock = 48kHz. 7106 is tested in the circuit of Figure 1. 7107 is tested in the circuit of Figure 2.

Note 4: Refer to "Differential Input" discussion on page 4.

Note 5: Back plane drive is in phase with segment drive for 'off' segment, 180° out of phase for 'on' segment. Frequency is 20 times conversion rate. Average DC component is less than 50mV.

หนังสืออ้างอิง

- 1.คุณขวัญ จอมทอง, “การศึกษาและการสร้างตัวนำไฟฟ้ายิ่งยวดอุณหภูมิสูง แบบ $YBa_2Cu_3O_{7-x}$ ” ปี2514
- 2.ผศ.ดำรงศักดิ์ มณีพงษ์สวัสดิ์, “ฟิสิกส์ของแข็ง 2”,PH422,ปี2523
- 3.รศ.กฤษดา วิสวธีรานนท์, “ไอซีดีจิตอล”, ปี2521
- 4.นางสาว ชบา ชมภูพงษ์, “การศึกษาผลของสนามแม่เหล็กที่มีต่อตัวนำไฟฟ้ายิ่งยวดอุณหภูมิสูง ชนิดเซรามิก”,ปี 2538
- 5.”การใช้งานออบแอมป์และลิเนียร์ไอซี”,ROBERT F. COFLIN,FREDERIC F. DRISCAL,เรียบเรียง โดย วิโรจน์ อัครรังสี , ชัชวาลย์ เต็มฤทธิวงศ์ , กรชูลี ไซส์ถิตย์
- 6.TERRY. P. ORLANDO AND KEVIN A.OELIN, “FOUNDATION OF APPLIED SUPERCONDUCTIVITY”, 1991
- 7.V.DANIEL HUNT, “SUPERCONDUCTIVITY SOURCEBOOK”,1989

กิติกรรมประกาศ

คณะผู้ทำโครงการขอขอบคุณ ผศ.ดร. วิสุทธิ์ ฐิติรุ่งเรือง อาจารย์ที่ปรึกษา ที่ได้ช่วยเหลือ ให้คำแนะนำแนวทางในการทำโครงการนี้ให้สำเร็จลุล่วงไปด้วยดี รวมทั้งอาจารย์ ประภากร สุวรรณ หัวหน้าภาคอิเล็กทรอนิกส์ที่ได้ชี้แนวทางในการแก้ปัญหาภายในวงจรต่างๆและที่ปริญาโททุกๆท่าน โดยเฉพาะอย่างยิ่งที่ สมศักดิ์ ยิ่งยง ศักดิ์วัฒนา และที่ สัตยญา คุณขาว ที่เป็นพี่เลี้ยงคอยควบคุมทุกขั้นตอนการสร้างตัวนำไฟฟ้ายิ่งยวดและการวัดผลการทดลองต่างๆให้สำเร็จไปด้วยดี

คณะผู้ทำโครงการ
มีนาคม 2540



เอกสารนี้เป็นเอกสารที่สงวนไว้สำหรับการใช้งานเพื่อการศึกษาเท่านั้น ไม่อนุญาตให้นำไปใช้ประโยชน์ด้านการค้า ไม่ว่ากรณีใดๆ ทั้งสิ้น อีกทั้งห้ามมิให้ตัดแปลงเนื้อหาและต้องอ้างอิงถึงเจ้าของเอกสารทุกครั้งที่มีการนำไปใช้